

# INTRODUÇÃO à MECÂNICA QUÂNTICA

Aplicações



Bandas em cristais

Ocupação das bandas

Aplicações - Sistemas semicondutores

Prof. Marcelo Maialle – FCA-UNICAMP/Limeira

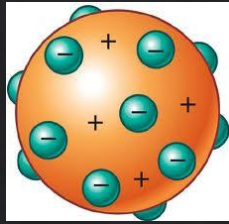
Graduação/mestrado – USP-São Carlos  
Doutorado – Univ. California San Diego

# MECÂNICA QUÂNTICA ↔ MODELOS ATÔMICOS



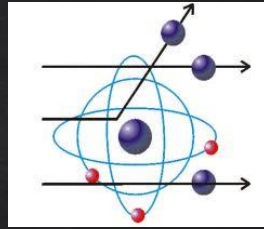
1808

Dalton



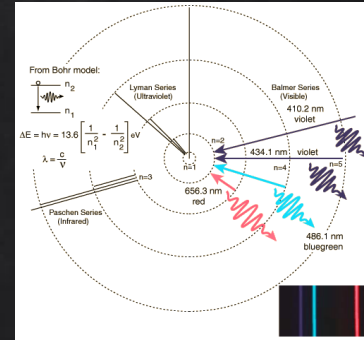
1887

Thomson



1911

Rutherford

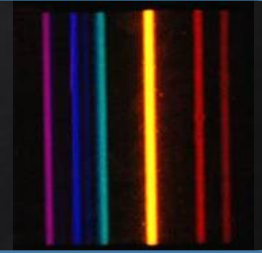
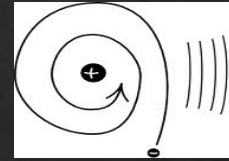
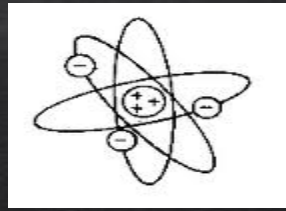


1920

Bohr

Surgimento da Mecânica Quântica

# Precisava reconciliar:



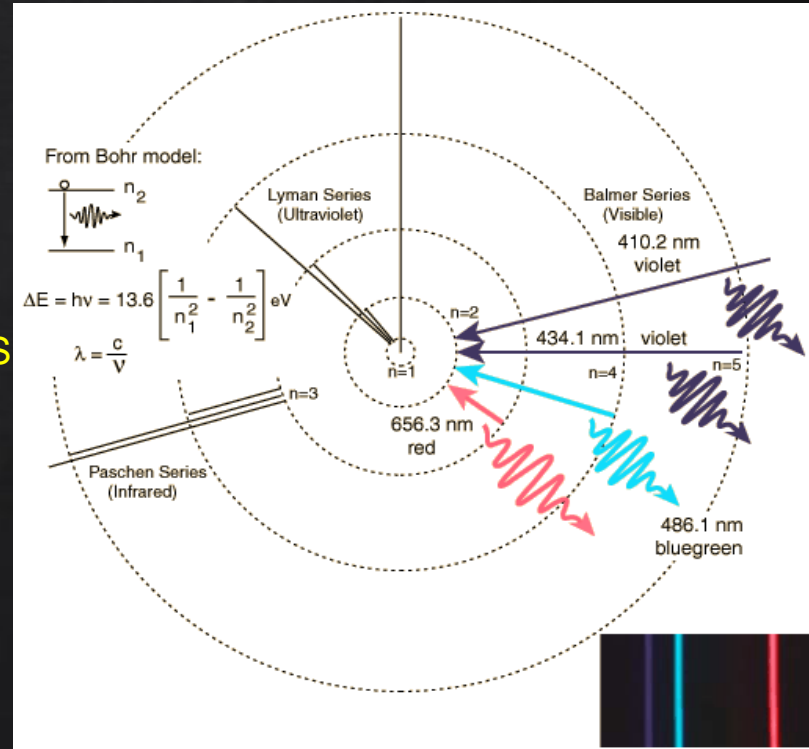
## Novo Modelo Atômico (1913)

Estados ESTACIONÁRIOS

Energias DISCRETAS

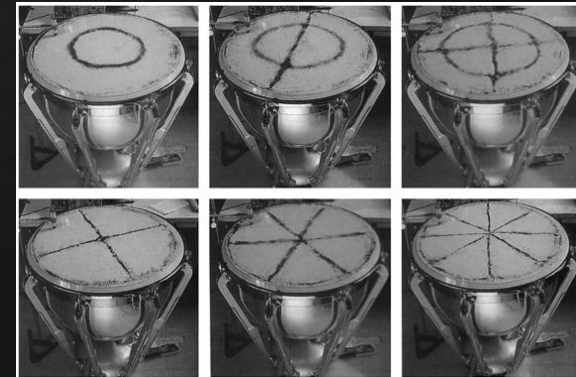
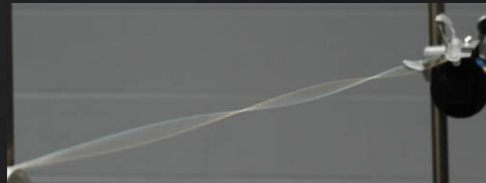
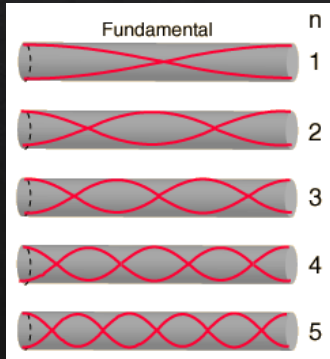
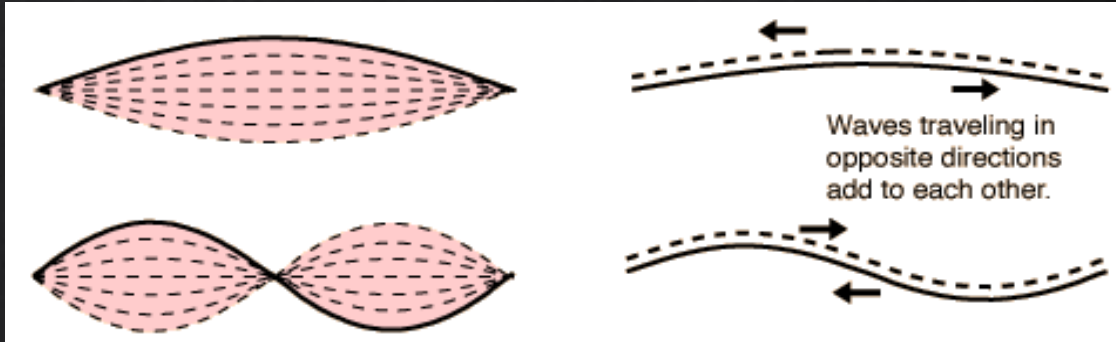
## Niels Bohr

(1885 -1962, Nobel.1922)



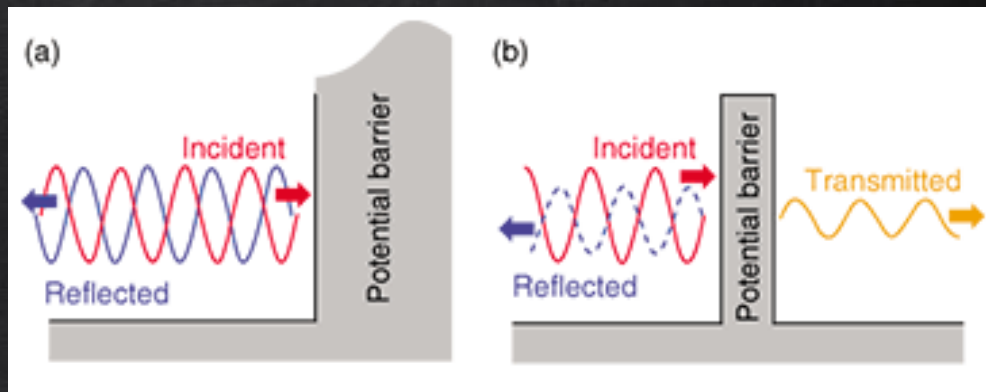
# Ondas estacionárias

-- Frequências discretas (harmônicos)



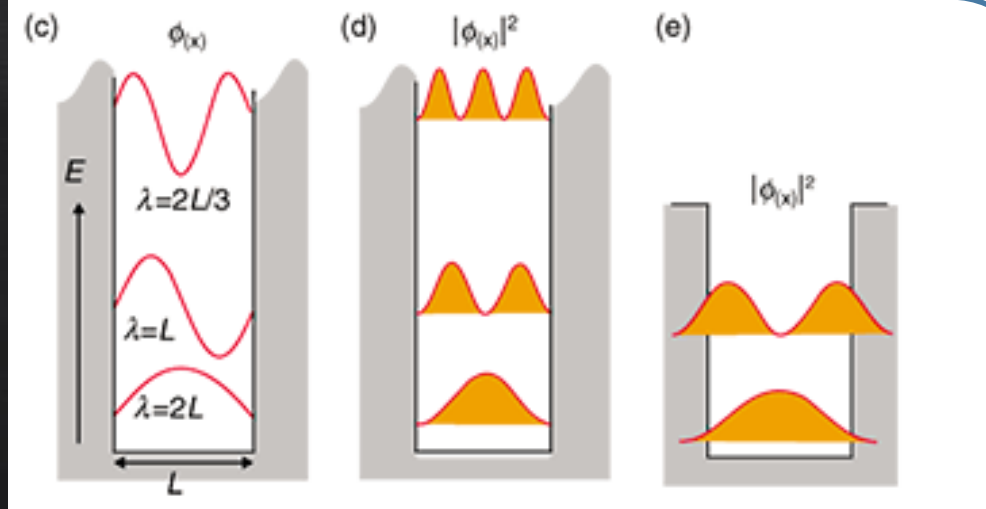
# Natureza Ondulatória do elétron

Reflete / refrata (tunelamento)



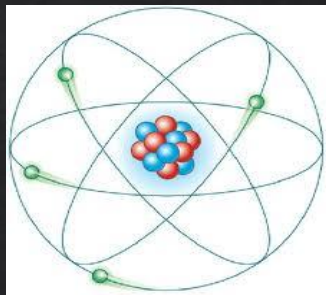
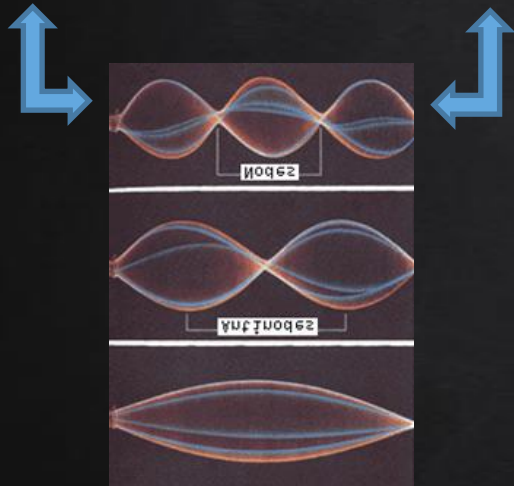
## Confinamento

- Níveis discretos
- Ondas estacionárias



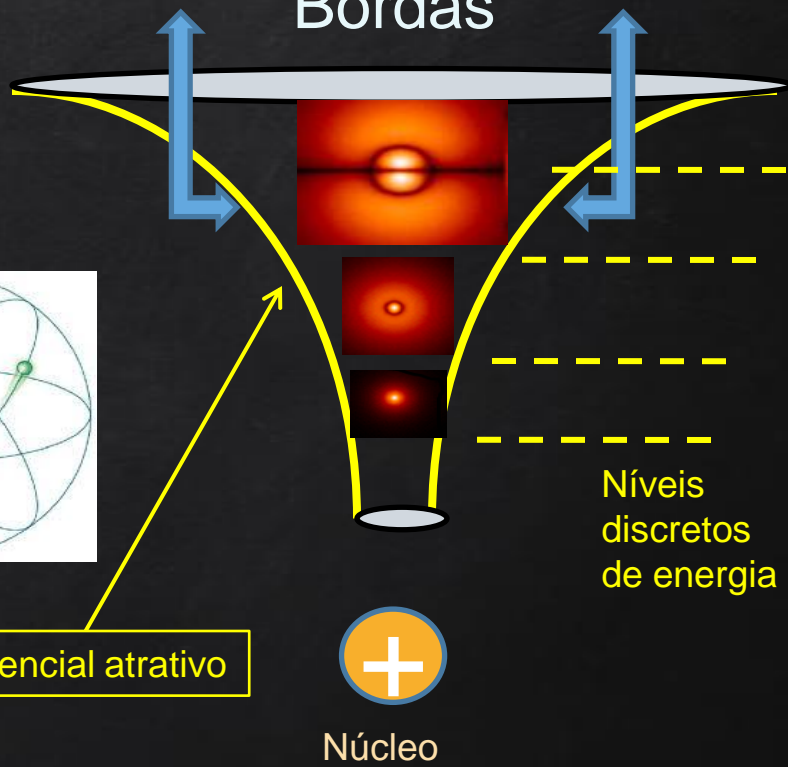
# Elétron num átomo (Orbitais)

Bordas FIXAS



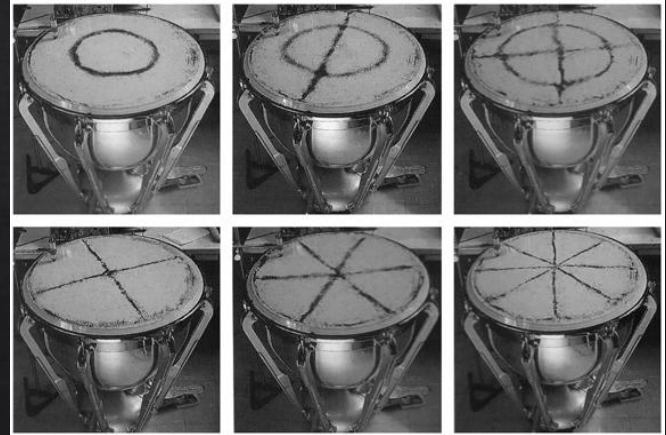
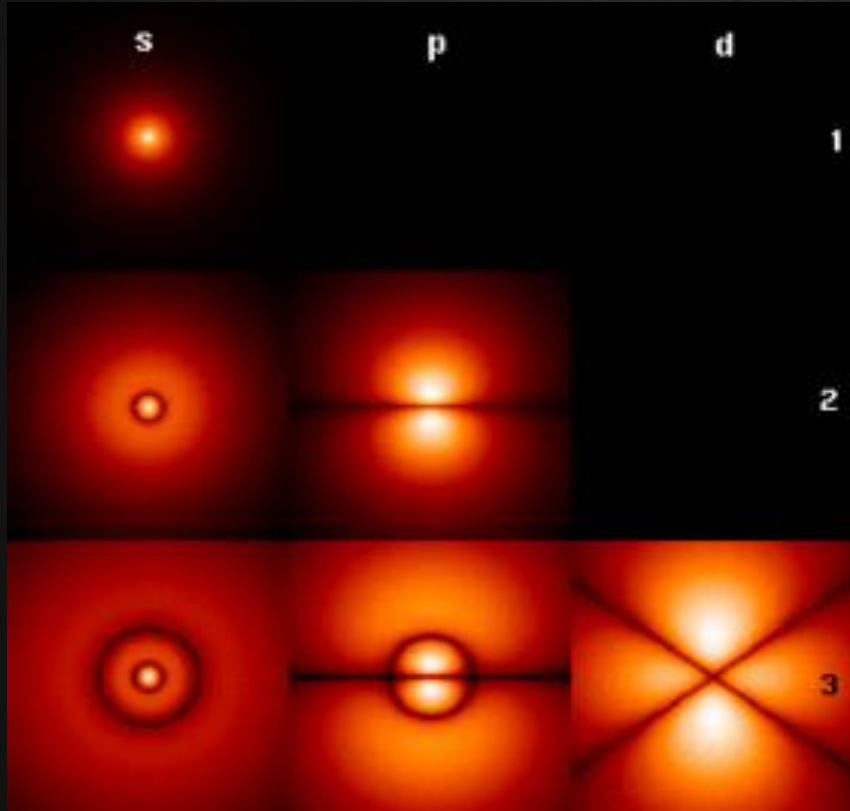
Potencial atrativo

“Bordas”



# Elétron num átomo

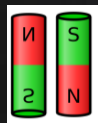
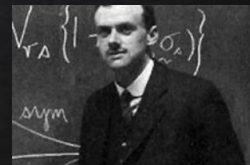
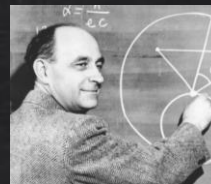
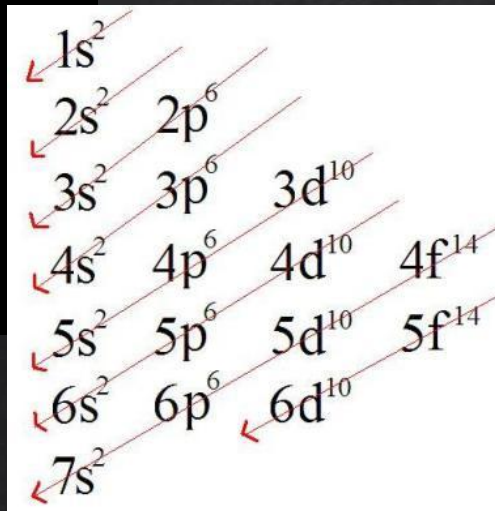
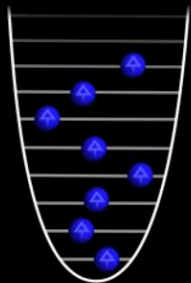
Orbitais  $\leftrightarrow$  ondas estacionárias em 3D



# Preenchimento dos níveis: FÉRMIONS - Estatísticas de Fermi-Dirac

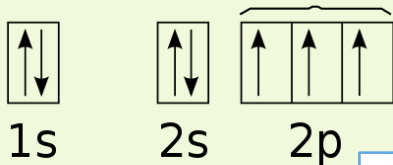
Fermions

Social distancing:  
Safe,  
Potential well  
Non-degenerate



Lei de Hund do preenchimento eletrônico dos níveis atômicos

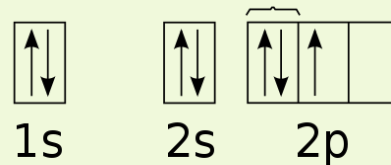
no electron-electron repulsion  
equals lower energy



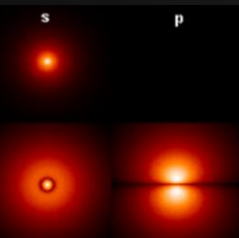
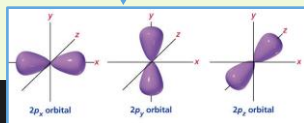
correct

or

electron-electron repulsion  
equals higher energy

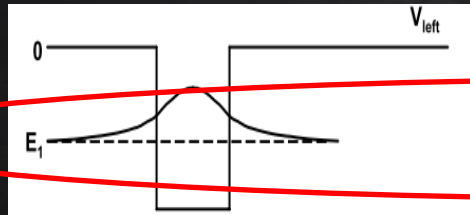
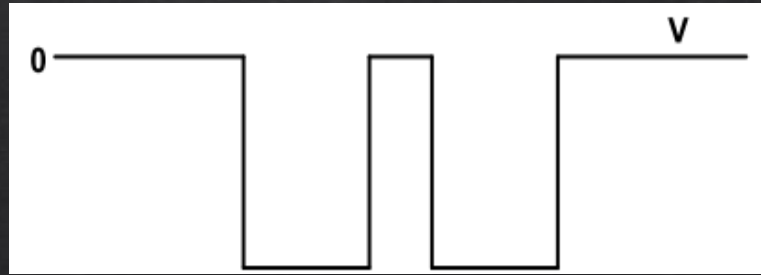


incorrect

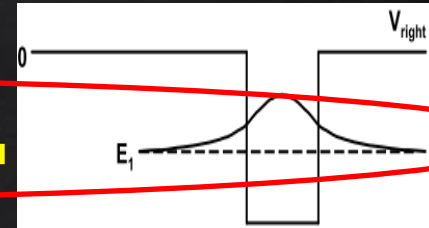




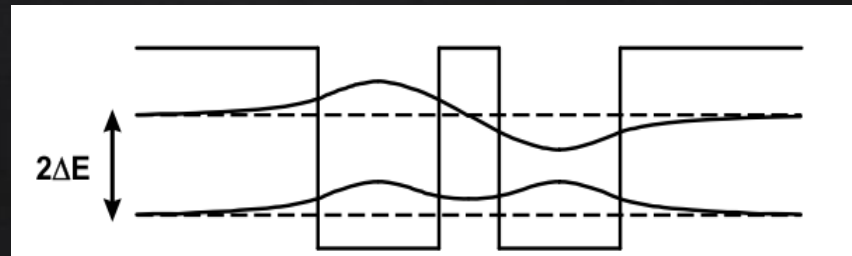
# Poço-duplo



Energias degeneradas (iguais)



Splitting energético



# Dubleto

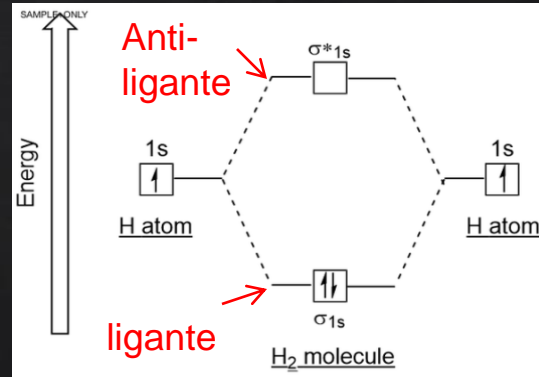
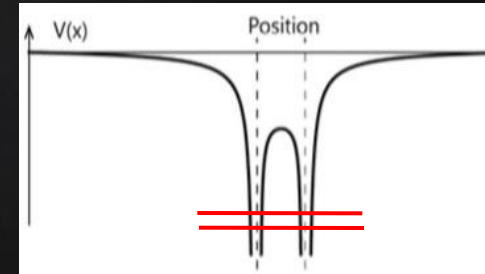
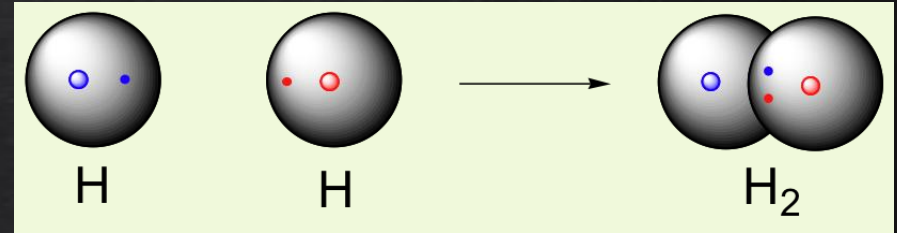
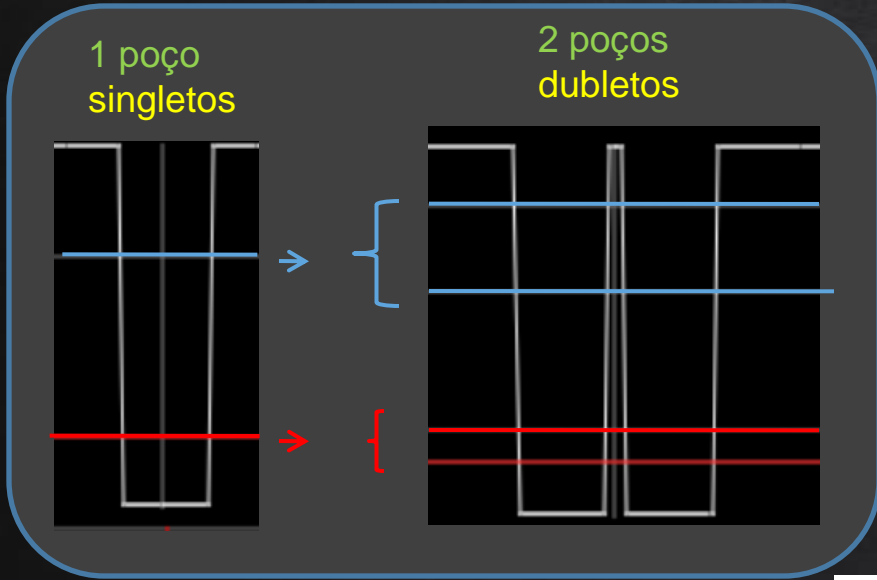
Solução ASSIMÉTRICA (anti-ligante)

**ungerade**

**gerade**

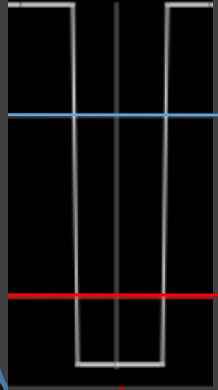
Solução SIMÉTRICA (ligante)

# Molécula de hidrogênio $H_2$

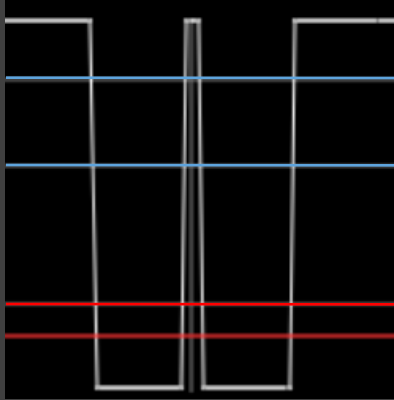


# Múltiplos poços (super-redes)

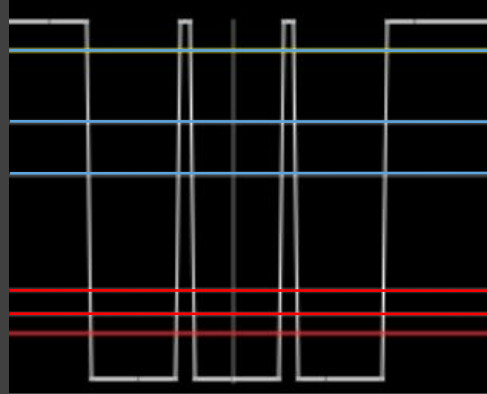
1 poço  
singletos



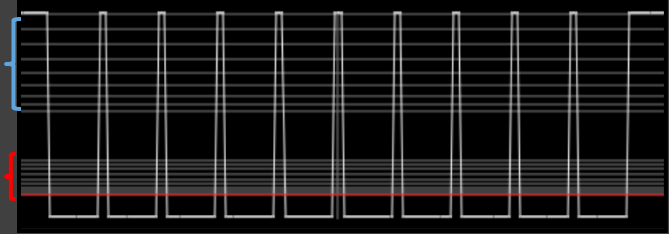
2 poços  
dubletos



3 poços  
tripletos

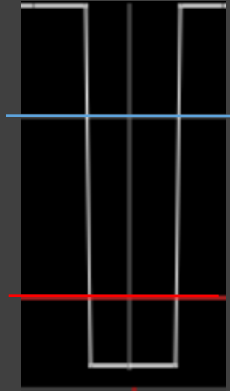


Múltiplos poços  
Multipletos

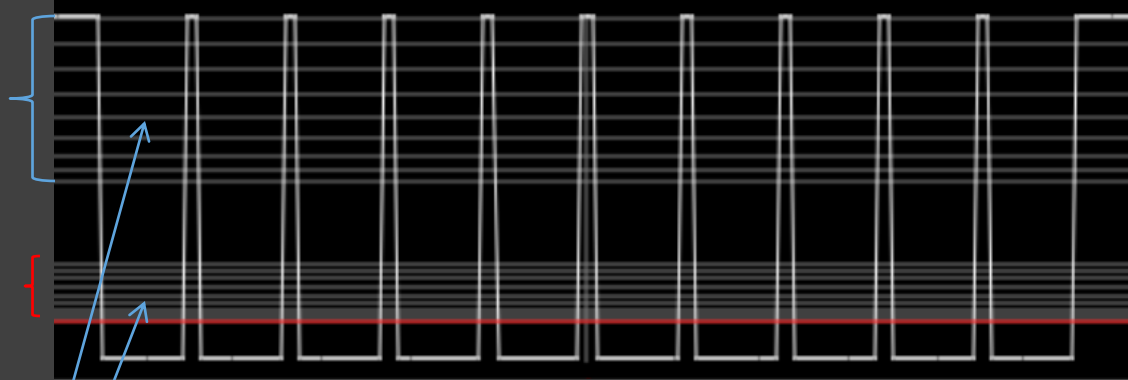


# Múltiplos poços (super-redes)

1 poço  
singletos



Múltiplos poços  
Multipletos



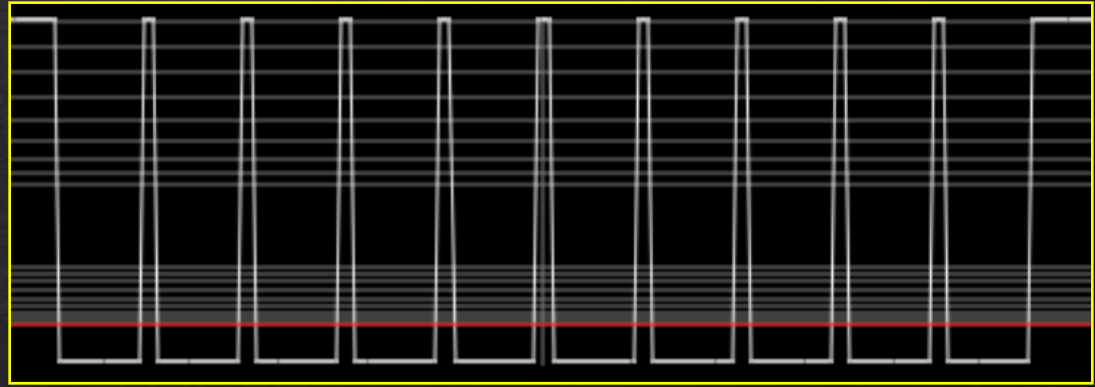
Gaps de  
energias  
(energias não  
permitidas)

## Bandas de energias

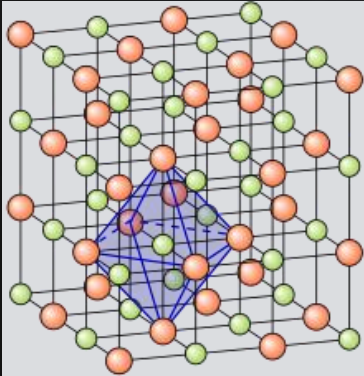
Formam um contínuo de energias permitidas  
- Estados deslocalizados – “em todos os poços”

<https://www.falstad.com/qm1d/>

# Múltiplos poços (super-redes)

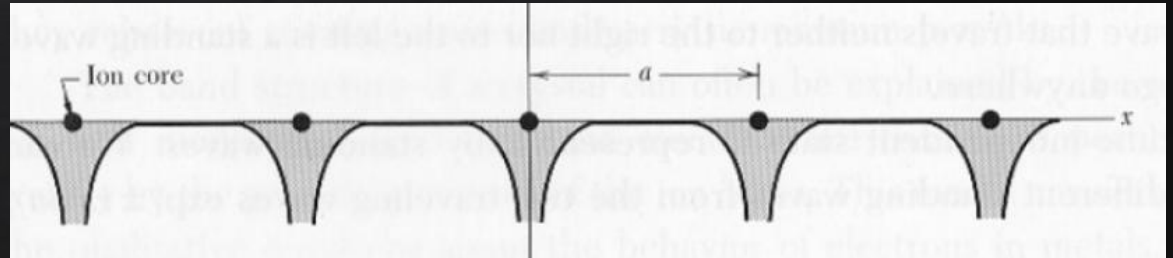


# Rede cristalina (elétron num sólido)



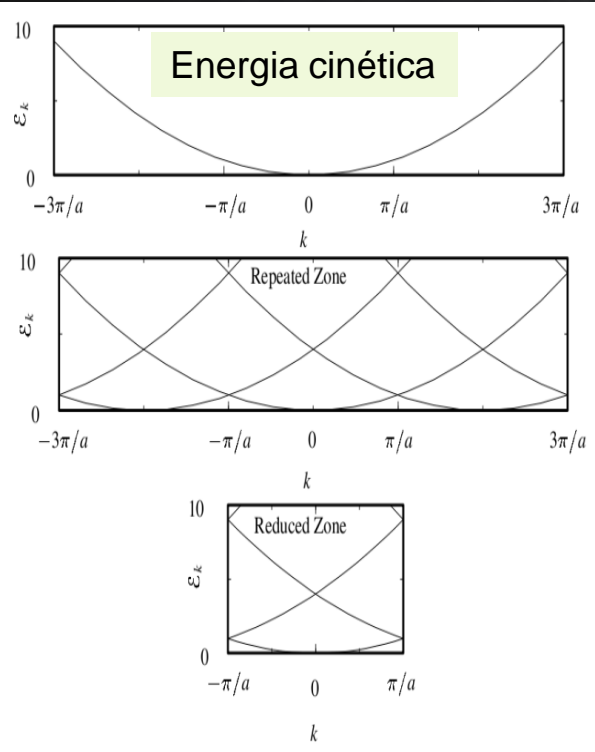
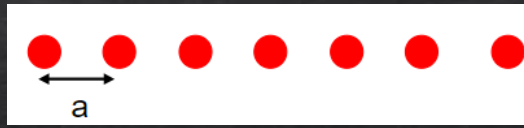
Exemplo unidimensional (1D)

$$V(x + a) = V(x)$$

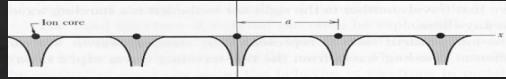


# Rede cristalina

1D

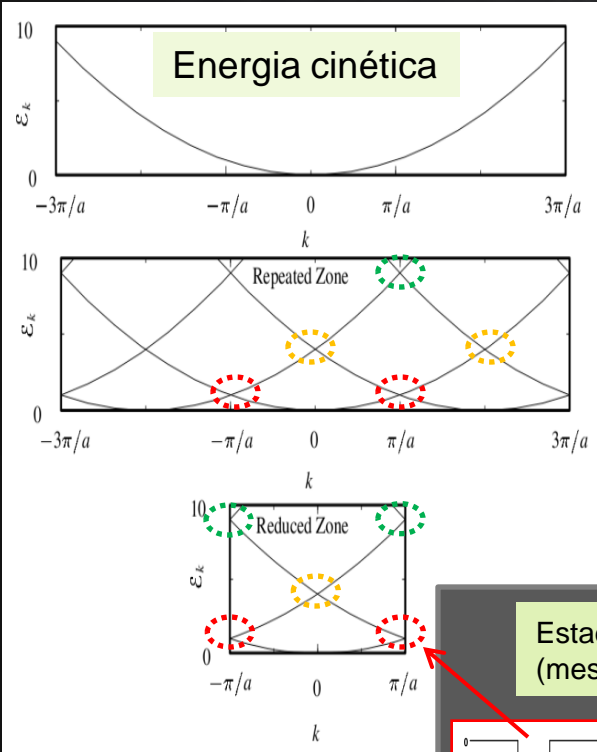
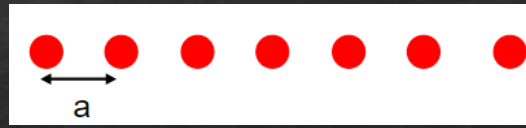


Efeito do potencial periódico

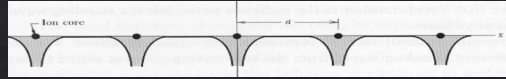


# Rede cristalina

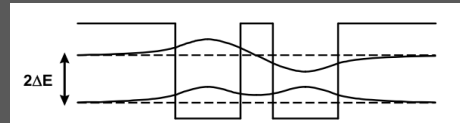
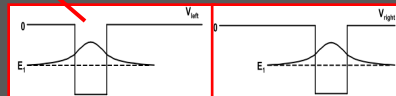
## 1D



### Efeito do potencial periódico



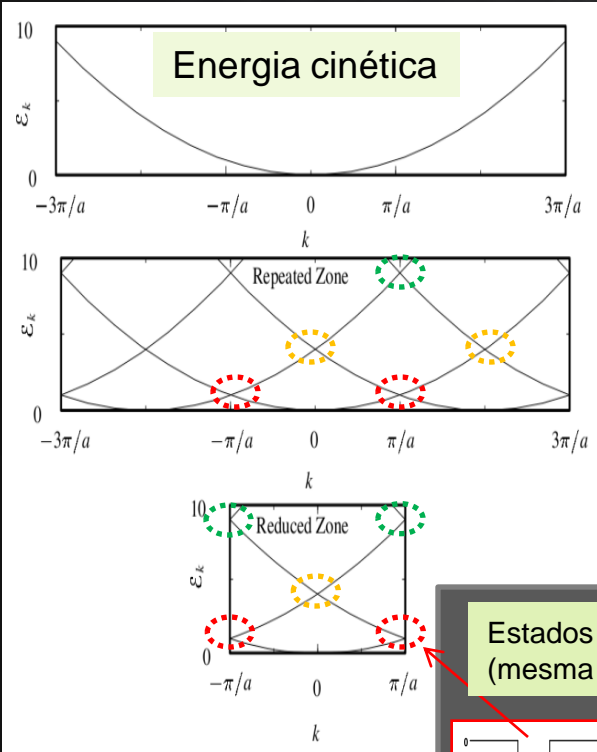
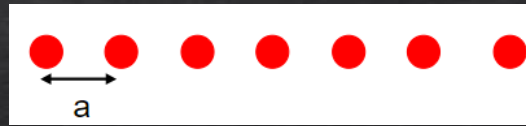
Estados degenerados  
(mesma energia)



Abertura de  
dubletos

# Rede cristalina

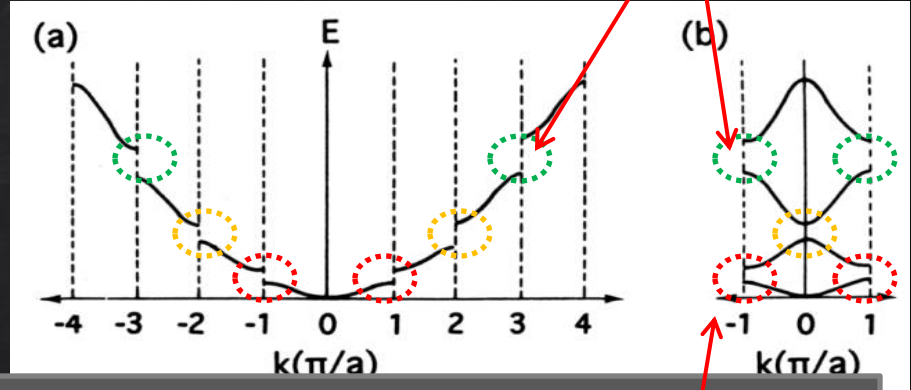
## 1D



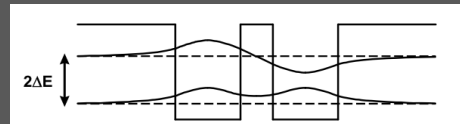
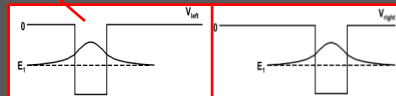
Efeito do potencial periódico



Abertura de gaps de energia  
(energias não permitidas)



Estados degenerados  
(mesma energia)

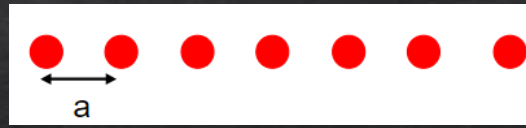


Abertura de  
dubletos

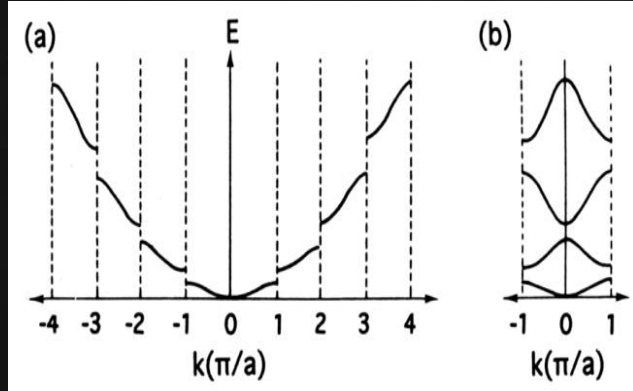
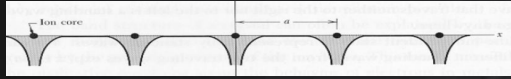


# Rede cristalina

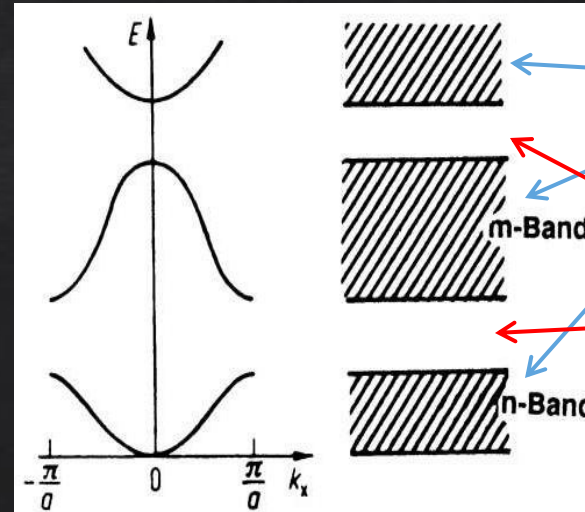
## 1D



Efeito do potencial periódico



Estrutura de bandas eletrônicas do cristal



Bandas

Gaps  
(energias não permitidas)

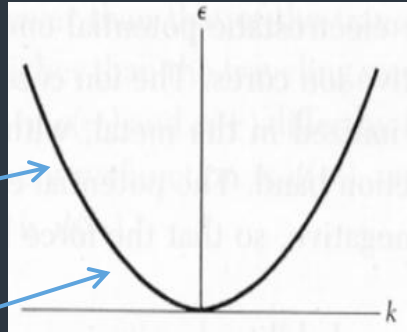
# Rede cristalina

## Partícula livre

Dispersão parabólica

$$E(k) \sim k^2$$

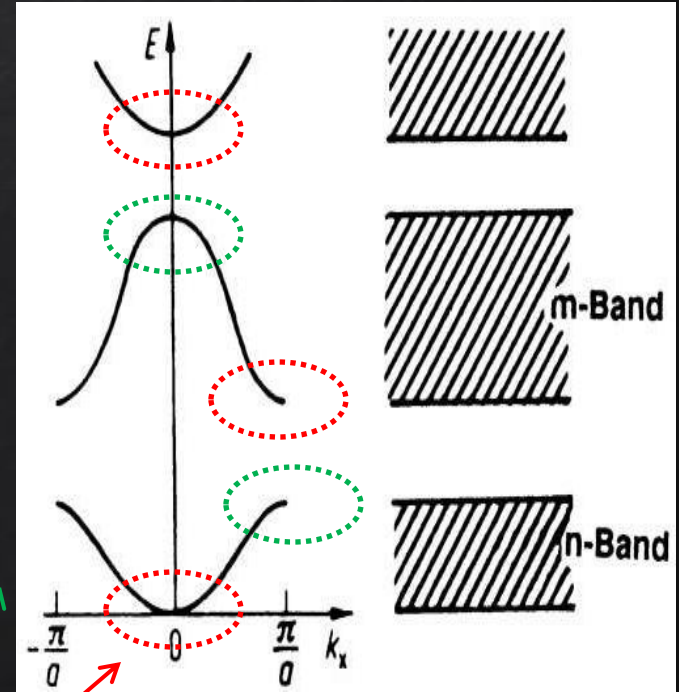
Concavidade  $\sim 1 / \text{massa}$



$$E = \frac{p^2}{2m} = \frac{\hbar^2 k^2}{2m}$$

$$\frac{\partial^2 E(k)}{\partial k^2} = \frac{\hbar^2}{m}$$

## Estrutura de bandas eletrônicas do cristal



Regiões onde a dispersão é aproximada/parabólica

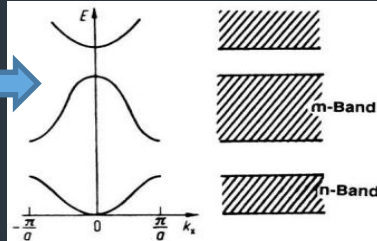
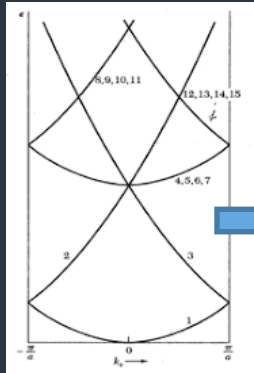
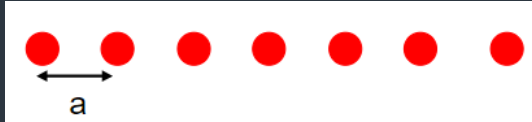
$$E(k) \sim k^2$$

Pedemos definir uma "massa efetiva" (+ / -)

$$\frac{\partial^2 E(k)}{\partial k^2} = \frac{\hbar^2}{m}$$

# Rede cristalina

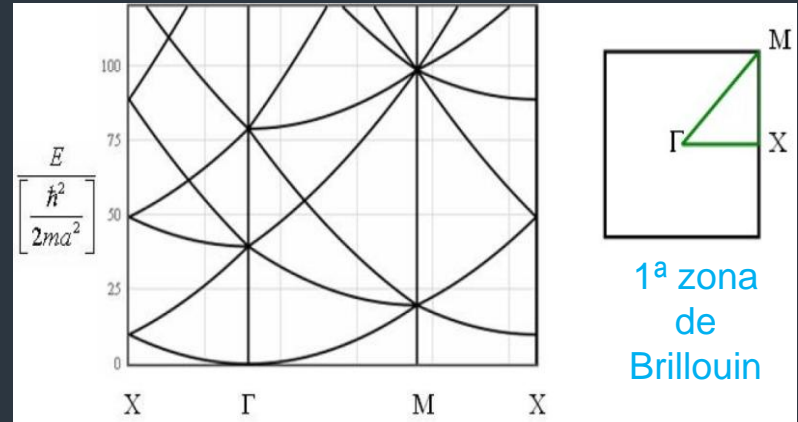
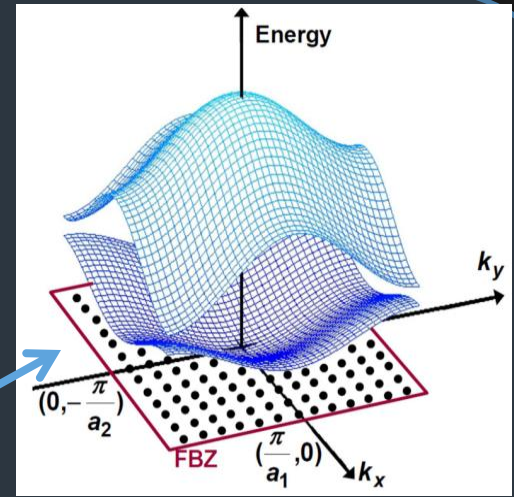
## 1D



## 2D

Exemplo  
Rede cúbica  
Espaço real

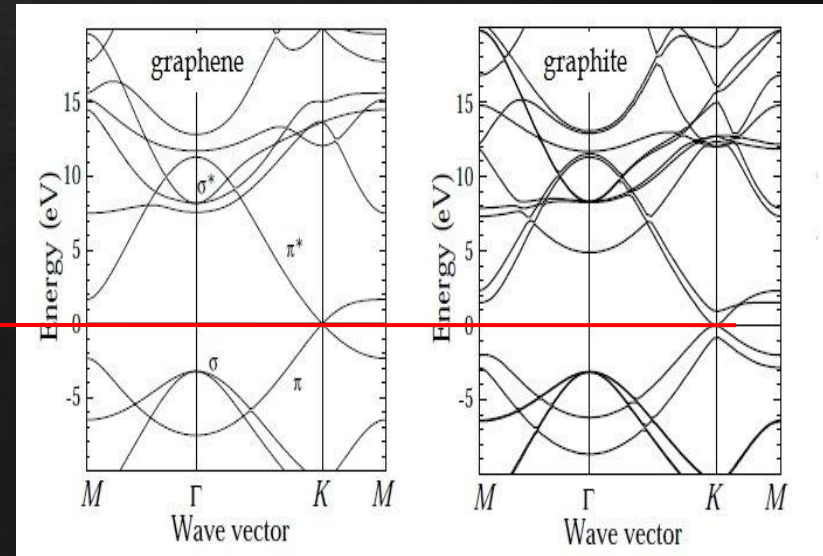
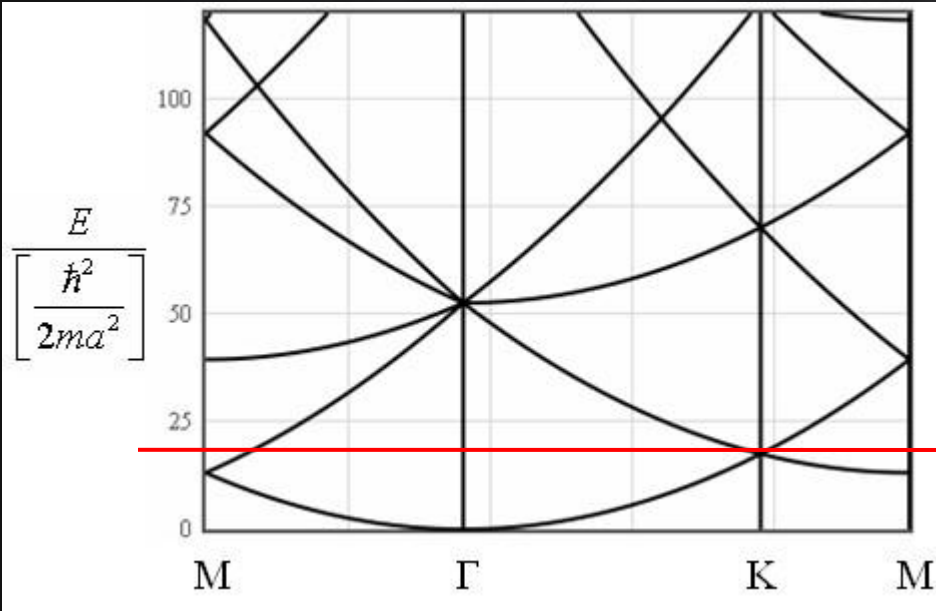
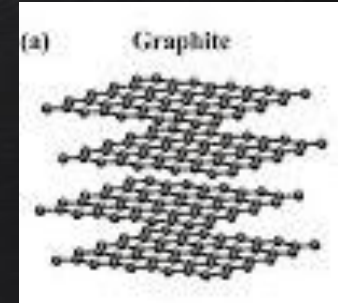
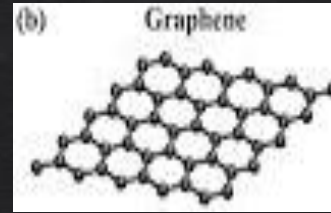
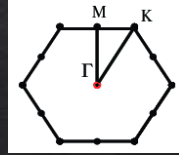
Rede cúbica  
Espaço  
Recíproco (k's)



# Rede cristalina

## 2D

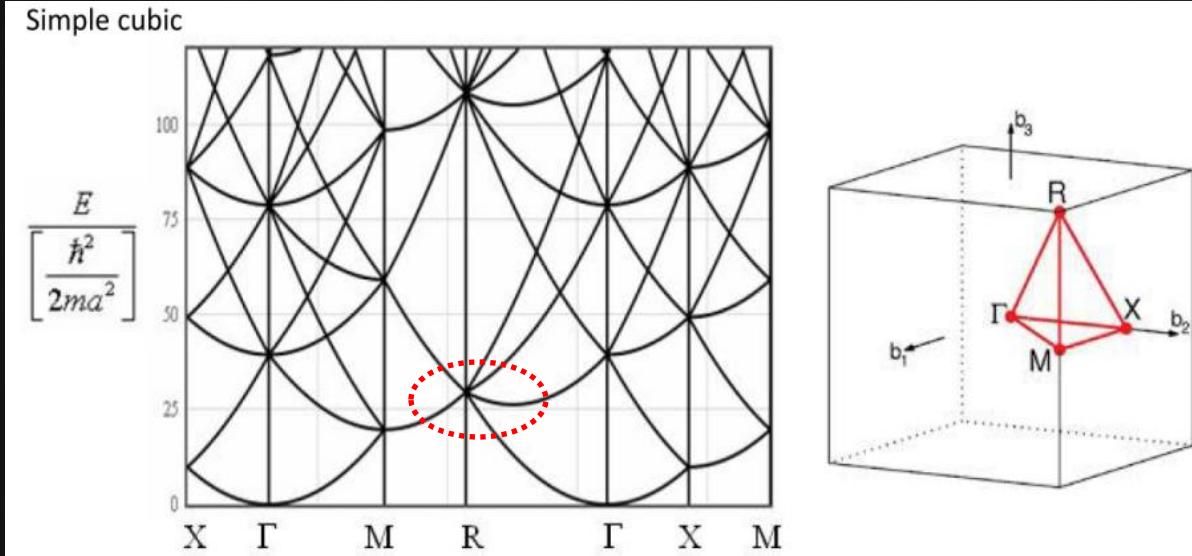
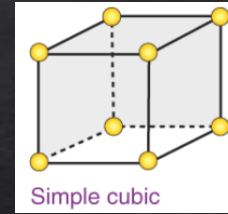
Exemplo  
Rede HEXAGONAL



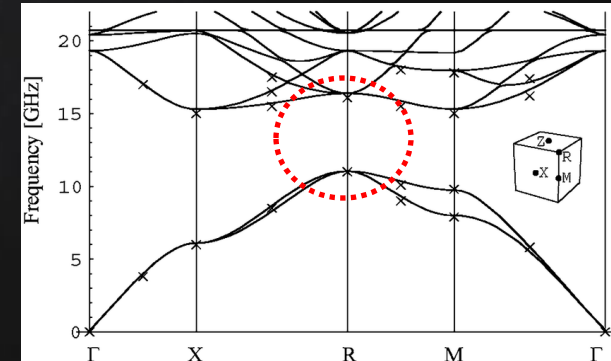
# Rede cristalina

## 3D

Exemplo  
Rede CÚBICA Simples



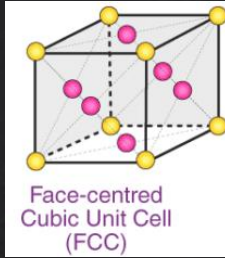
Bandas com os gaps



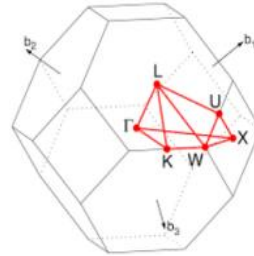
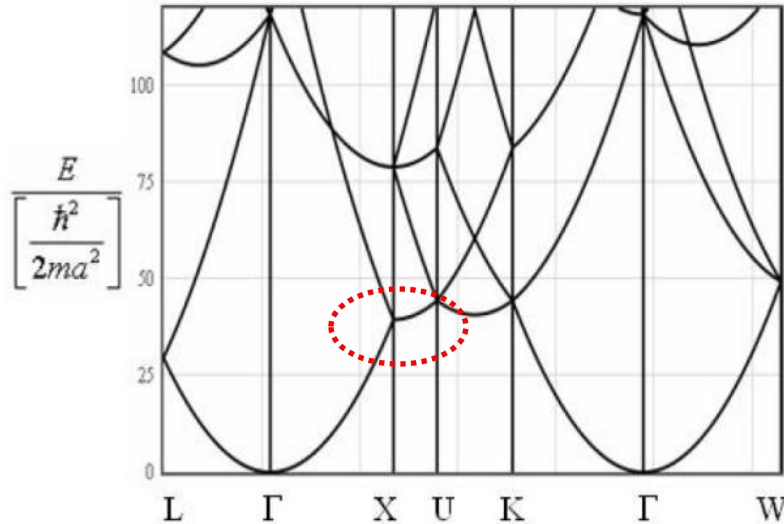
# Rede cristalina

3D

Exemplo  
Rede FCC



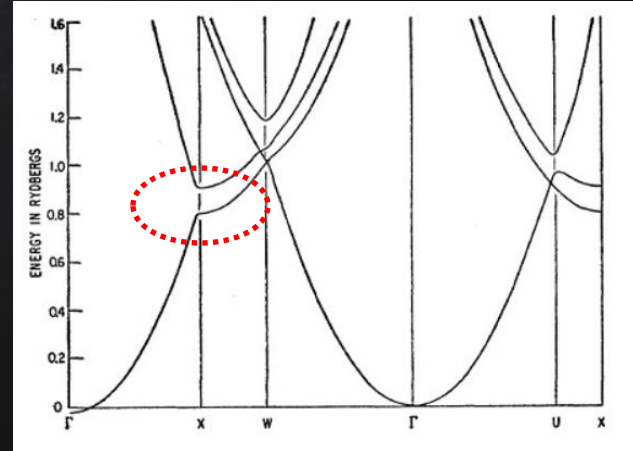
FCC



Alumínio metal

Rede fcc

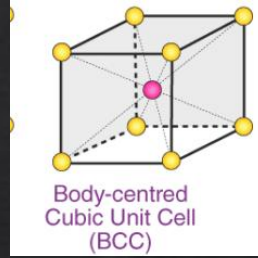
Bandas com os gaps



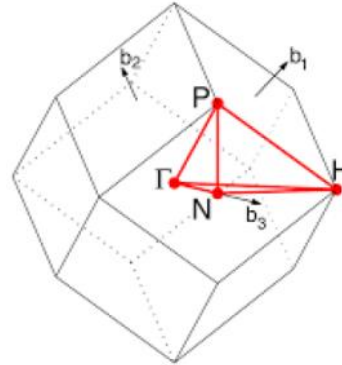
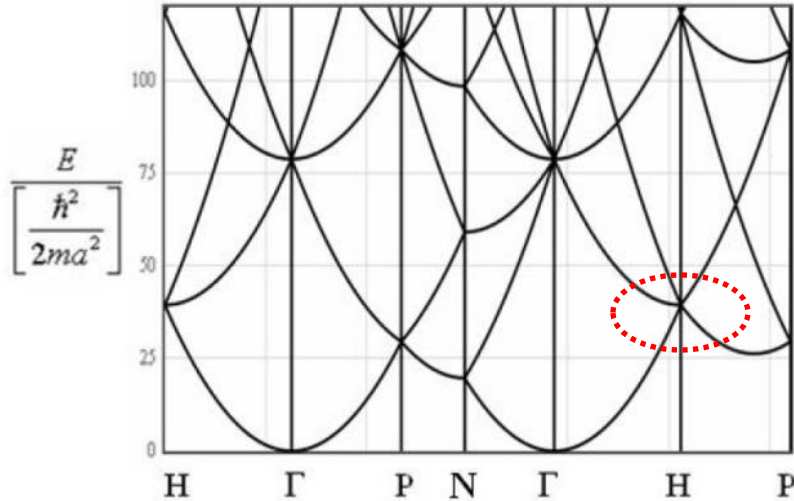
# Rede cristalina

3D

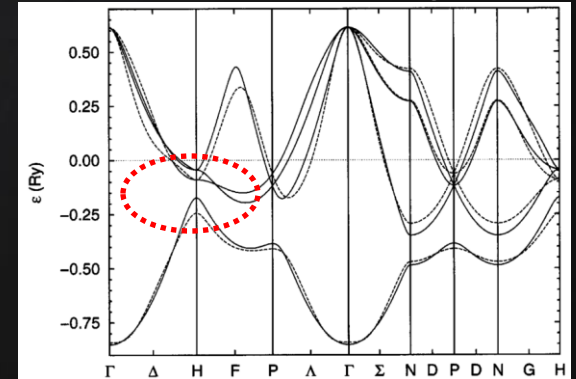
Exemplo  
Rede BCC



BCC



Bandas com os gaps



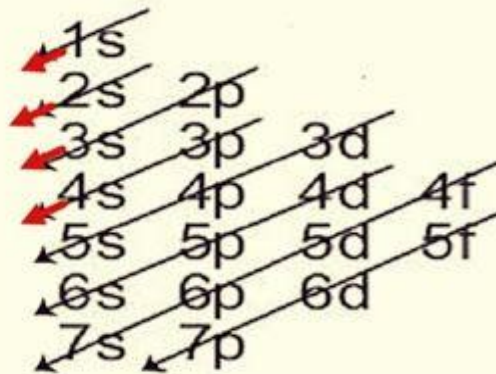
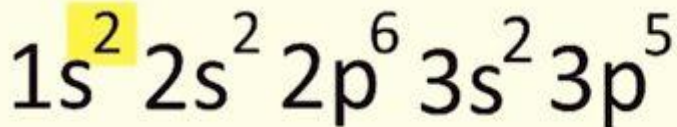
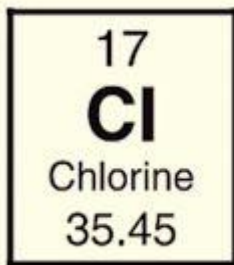
# Estatísticas de ocupação de estados

## Electron Configuration Chart

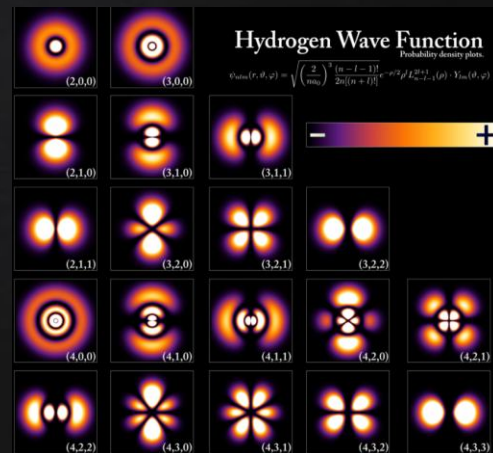
s holds up to 2

p holds up to 6

d holds up to 10



Lei de Hund

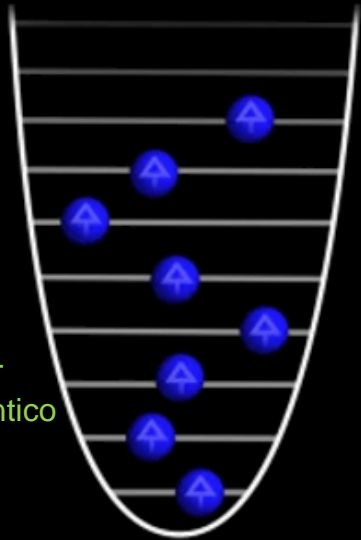




# Estatísticas de ocupação de estados

## Fermions

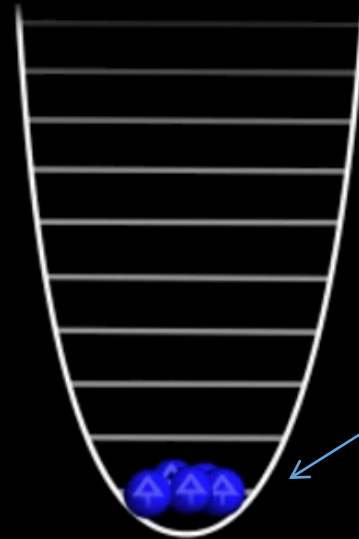
**Social distancing:  
Safe,  
Potential well  
Non-degenerate**



Apenas 1  
Férmion por  
estado quântico

## Bosons

**Not social distancing:  
Unsafe,  
Potential unwell,  
A bunch of degenerates**



Não há restrição por  
estado quântico

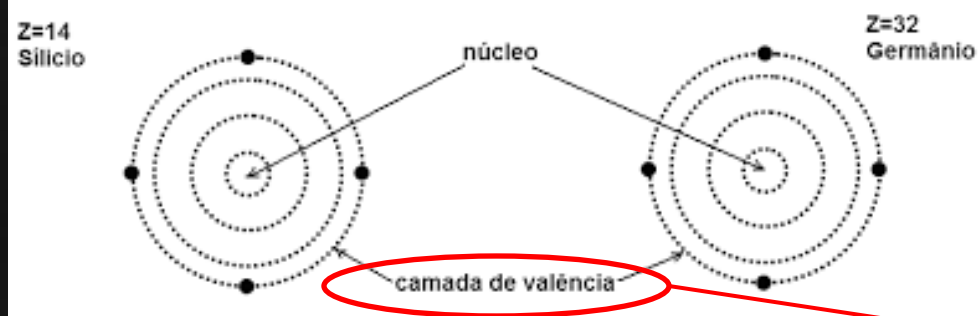
## FÉRMIONS -

partículas com spin semi-inteiro  $N/2$   
(p.ex.  $1/2$ ,  $3/2$ ,  $5/2$  ...)

## BÓSONS -

partículas com spin Inteiro  $N$   
(p.ex. 1, 2, 3 ...)

# Elétrons - Férmions - Estatística de Fermi-Dirac



## Família do Carbono 14 ou IVA

2 <sup>o</sup>	<sub>6</sub> C	Carbono	$1s^2 2s^2 2p^2$
3 <sup>o</sup>	<sub>14</sub> Si	silício	$1s^2 2s^2 2p^6 3s^2 3p^2$
4 <sup>o</sup>	<sub>32</sub> Ge	Germânio	$1s^2 2s^2 2p^6 3s^2 3p^6 4s^2 4p^2$
5 <sup>o</sup>	<sub>50</sub> Sn	Estanho	$5s^2 5p^2$
6 <sup>o</sup>	<sub>82</sub> Pb	Chumbo	$6s^2 6p^2$

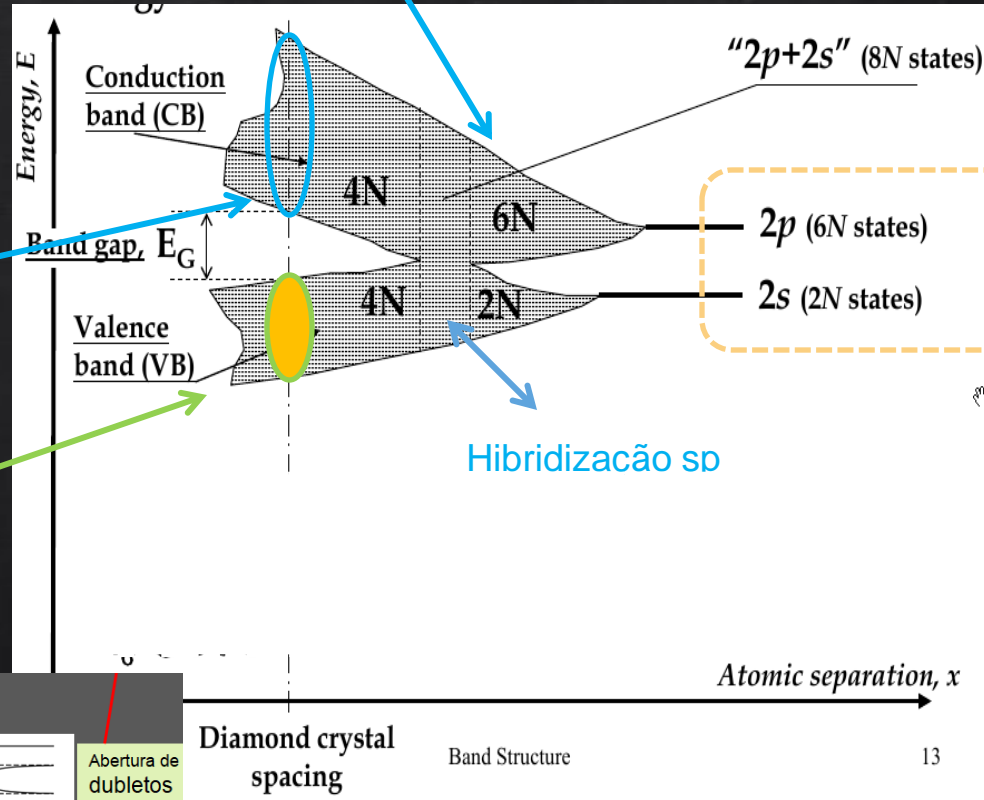
Generalizando

4 elétrons na  
camada de  
valência

$ns^2 np^2$  : n é o  
número do  
período

3A	4A	5A	6A	7A	8A
5 <b>B</b> Boro	6 <b>C</b> Carbono	7 <b>N</b> Nitrogênio	8 <b>O</b> Oxigênio	9 <b>F</b> Flúor	2 <b>He</b> Hélio
13 <b>Al</b> Alumínio	14 <b>Si</b> Silício	15 <b>P</b> Fósforo	16 <b>S</b> Enxofre	17 <b>Cl</b> Cloro	10 <b>Ne</b> Neônio
31 <b>Ga</b> Gálio	32 <b>Ge</b> Germânio	33 <b>As</b> Arsênio	34 <b>Se</b> Selênio	35 <b>Br</b> Bromo	18 <b>Ar</b> Argônio
49 <b>In</b> Índio	50 <b>Sn</b> Estanho	51 <b>Sb</b> Antimônio	52 <b>Te</b> Telúrio	53 <b>I</b> Iodo	36 <b>Kr</b> Criptônio
81 <b>Tl</b> Tálio	82 <b>Pb</b> Chumbo	83 <b>Bi</b> Bismuto	84 <b>Po</b> Polônio	85 <b>At</b> Astató	54 <b>Xe</b> Xenônio
113 <b>Uut</b> Ununtrio	114 <b>Uuq</b> Ununquádrup	115 <b>Uup</b> Ununpentio	116 <b>Uuh</b> Ununhêxio	117 <b>Uus</b> Ununseptio	86 <b>Rn</b> Radônio
					118 <b>Uuo</b> Ununoctó

# Elétrons - Férmions

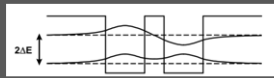
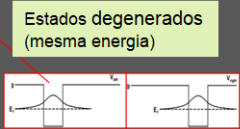


Banda de condução  
"próxima" banda vazia

Banda de valência  
Banda mais energética ocupada

4 elétrons

8 estados  
S=2  
P=6



Abertura de doubletos

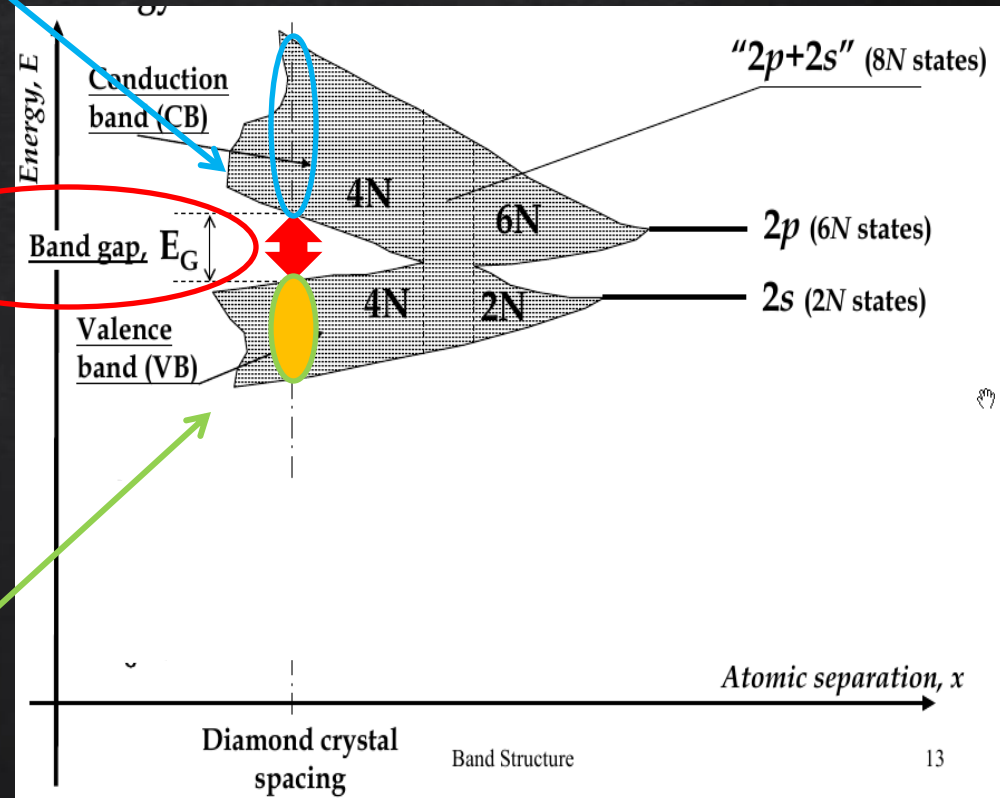
# Elétrons - Férmions

Banda de condução  
"próxima" banda  
vazia

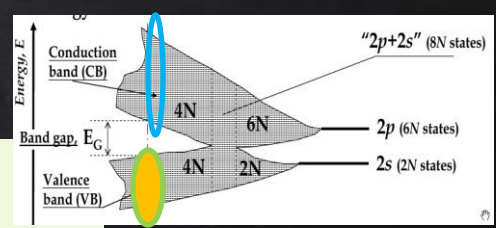
Gap de energia  
Distância  
energética entre  
BV e BC

Banda de valência  
Banda mais energética  
ocupada

Formação de bandas

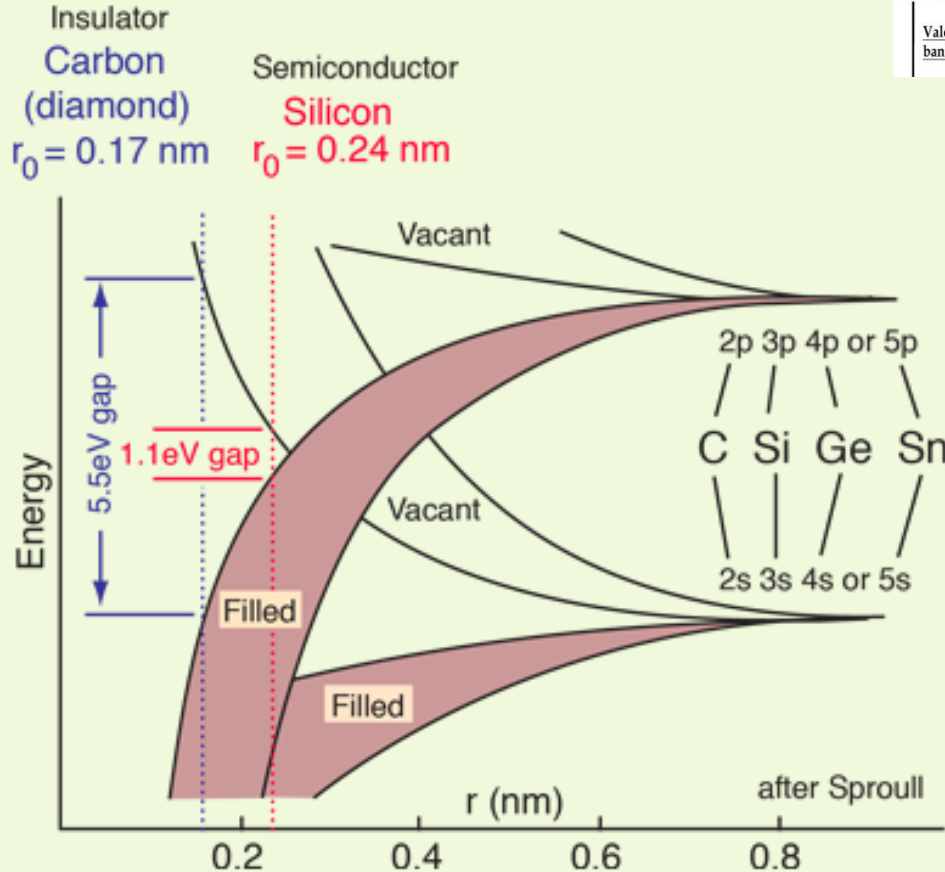


# Électrons - Fermions

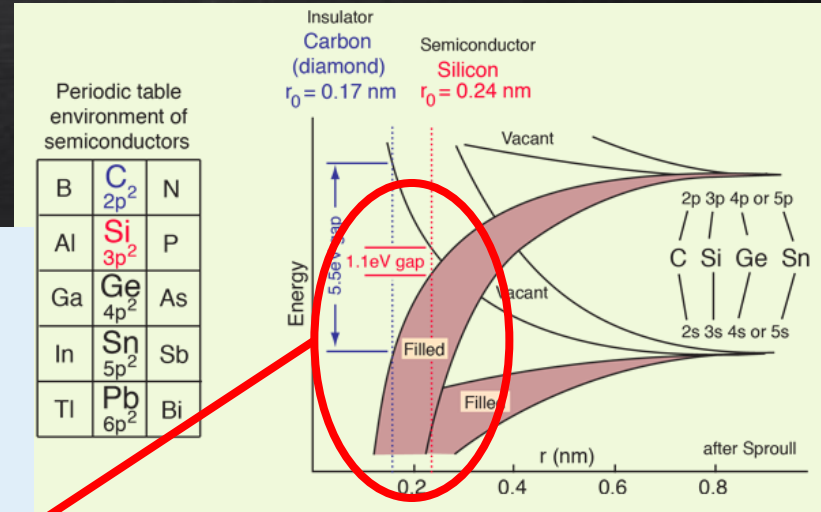
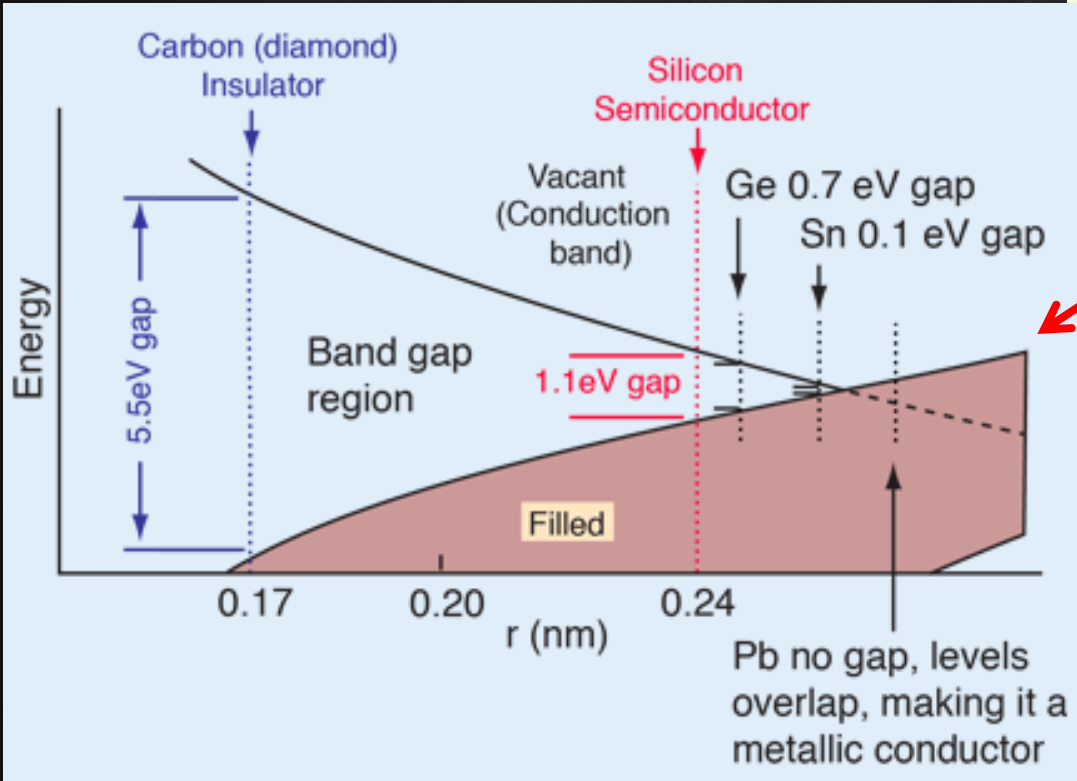


Periodic table environment of semiconductors

B	C $2p^2$	N
Al	Si $3p^2$	P
Ga	Ge $4p^2$	As
In	Sb $5p^2$	Sb
Tl	Pb $6p^2$	Bi

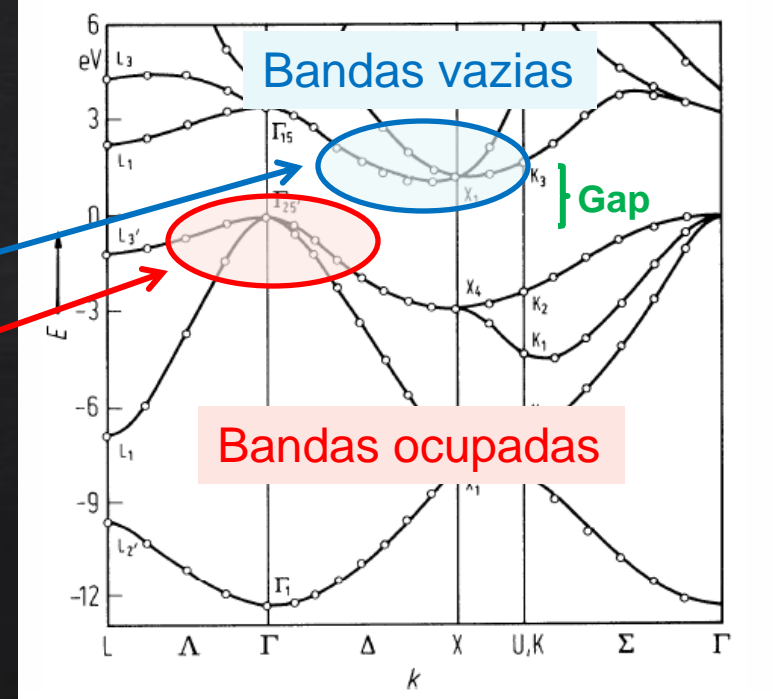
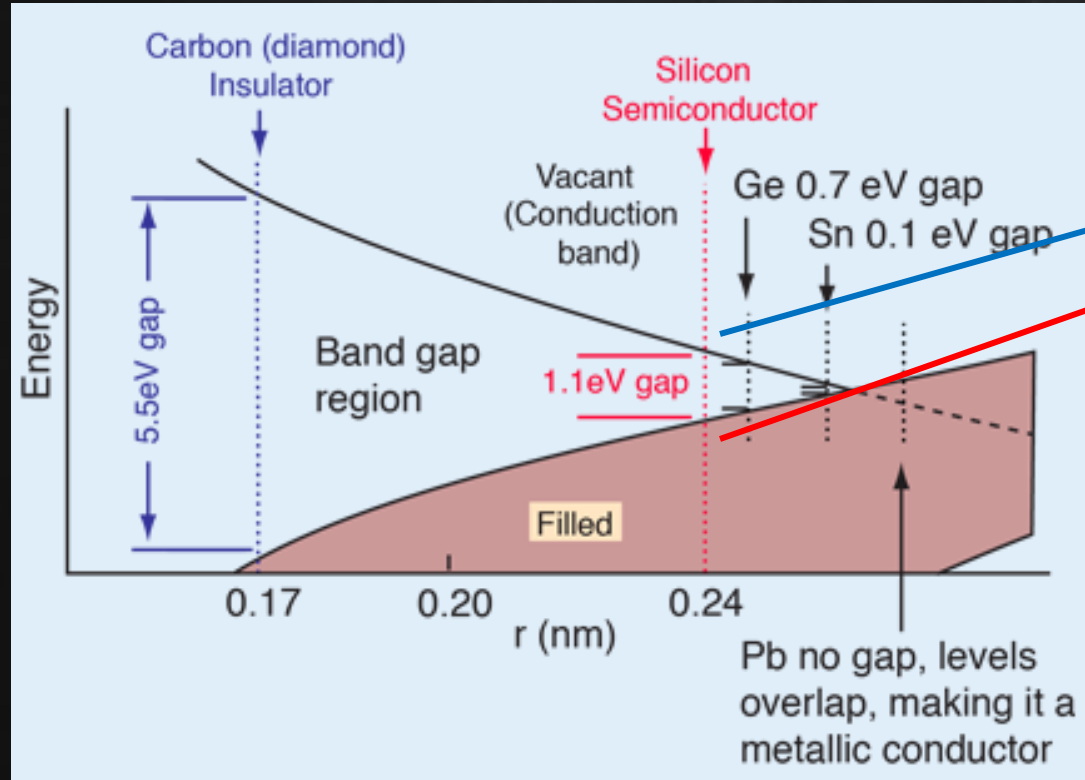


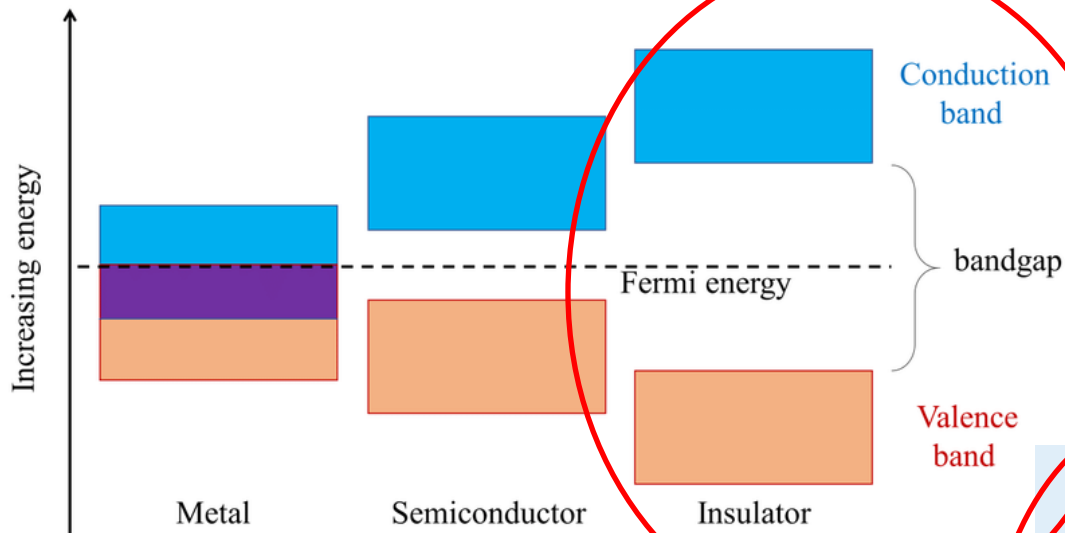
# Électrons - Fermions



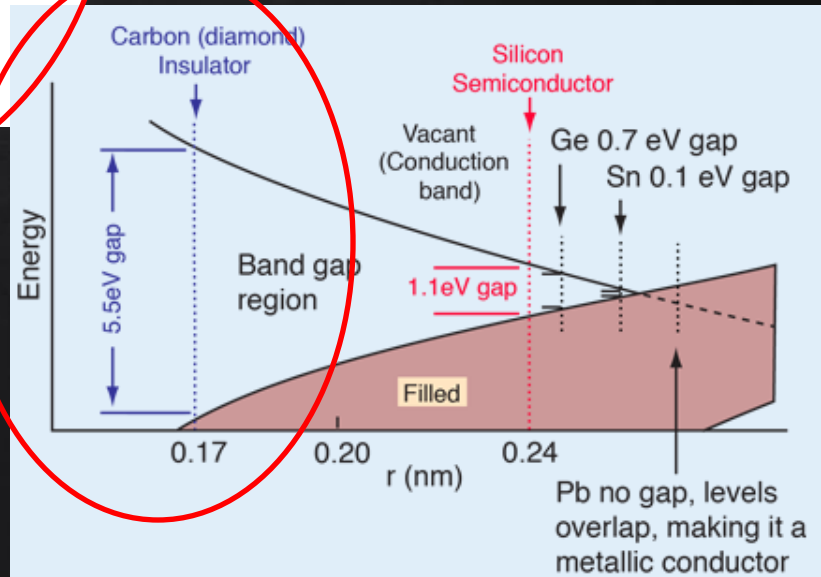
# Elétrons - Férmions

## Silício

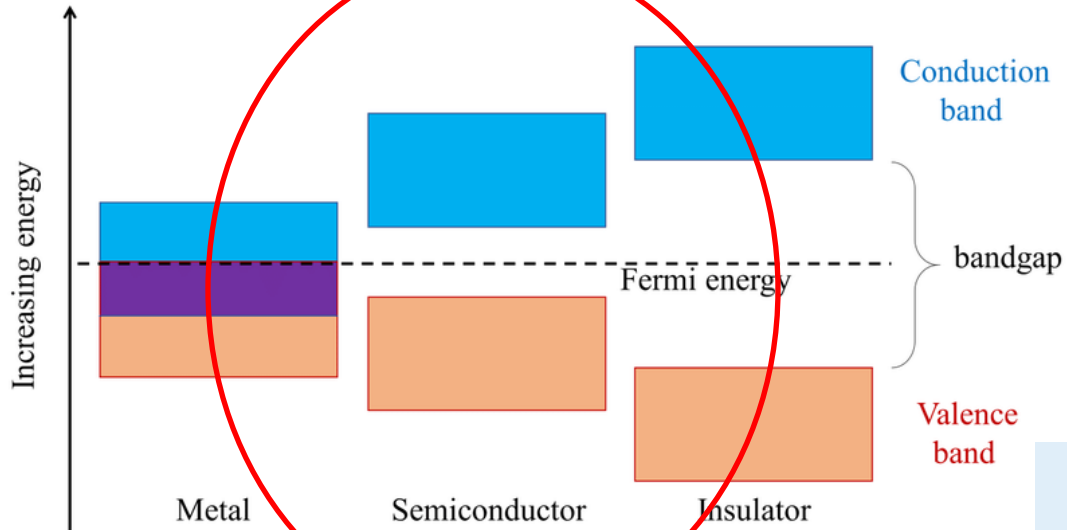




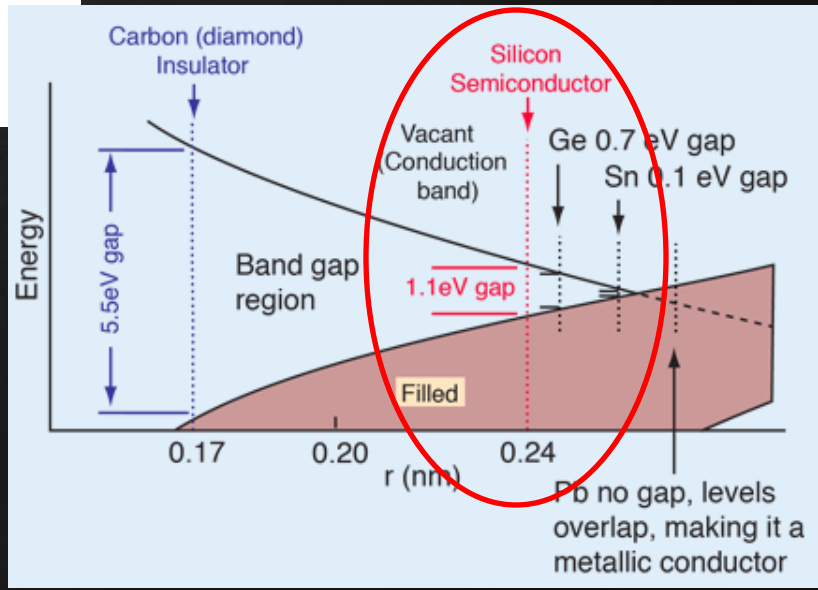
ISOLANTE  
Gap grande > ~5 eV

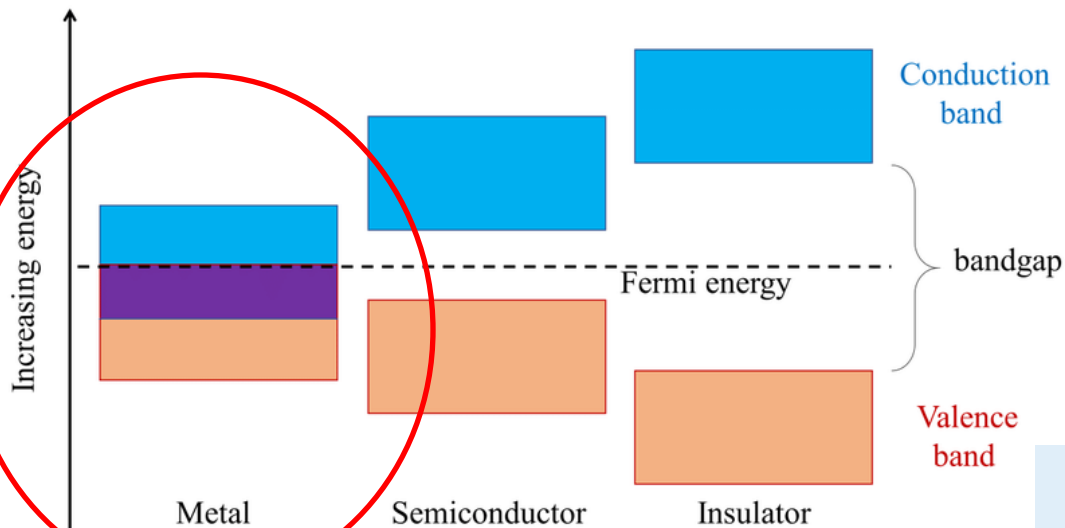




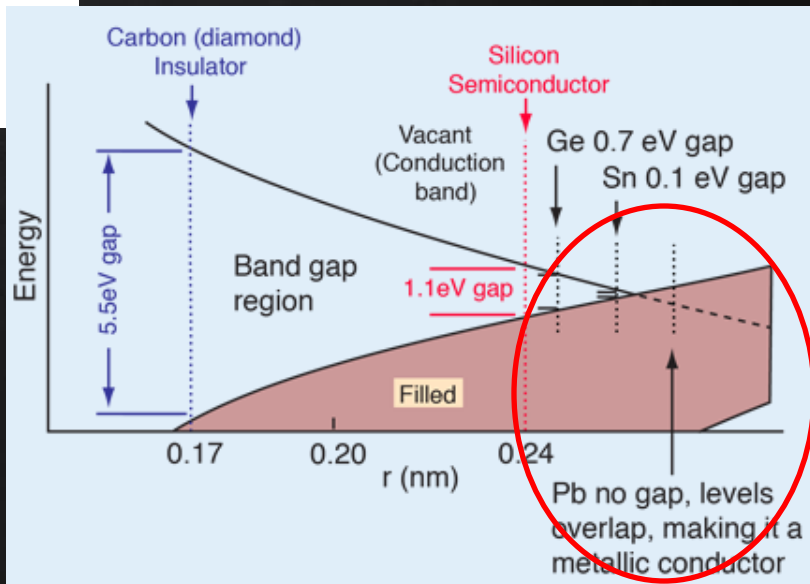


SEMICONDUCTOR  
 Gap médio ~ 1 -- 5 eV



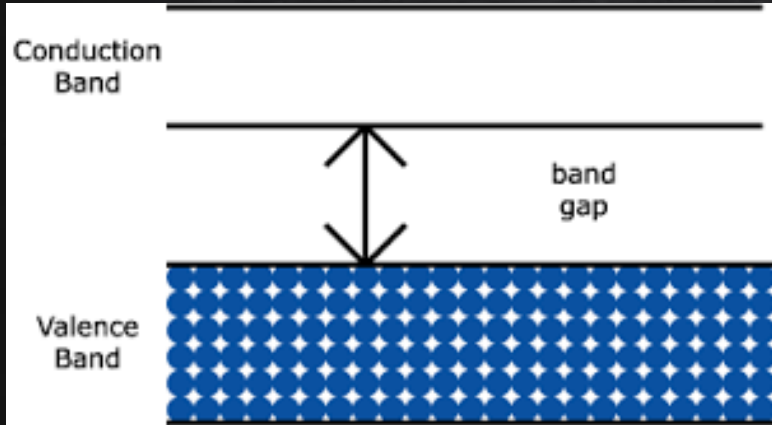


CONDUTOR (metal)  
Sem gap



# Isolantes

Banda vazias (BC)

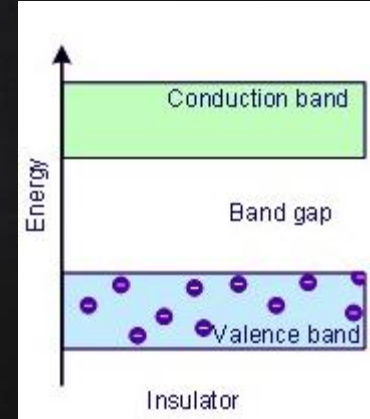


Banda ocupadas (BV)

Se o gap for grande (isolante) não conseguem “saltar” para os estados vazios da BC

**Elétrons são férmions**

Não conseguem ganhar energia pois todos os estados estão ocupados na BV

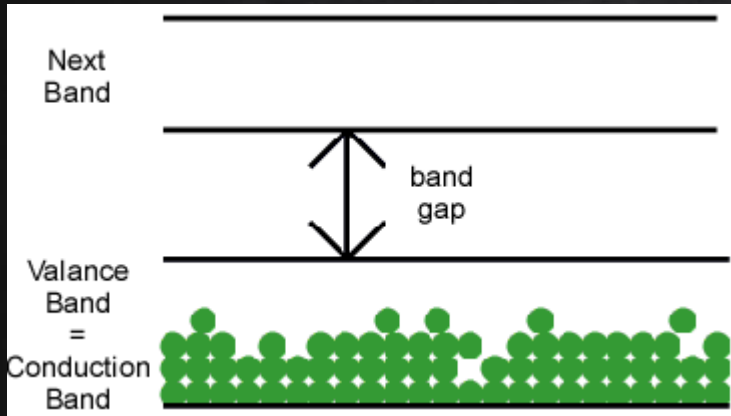


**Isolante**

Não há condução de corrente elétrica

# Condutores

Banda vazias

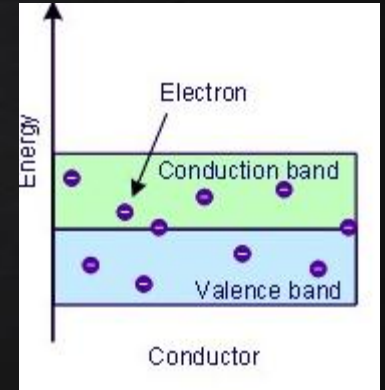


Banda de condução  
Semi-ocupadas

**Elétrons são férmions**

Conseguem ganhar energia ocupando estados +energéticos que estão vazios na BC

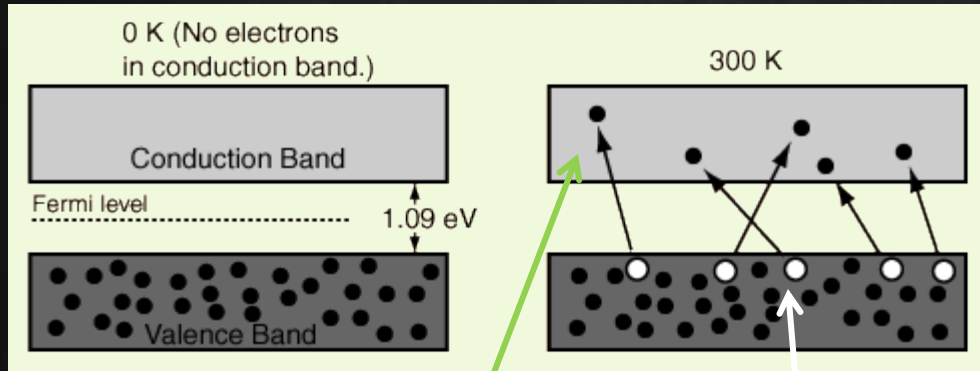
Elétrons livres  
ou  
Elétrons de condução



**Condutor**

Há condução de corrente elétrica

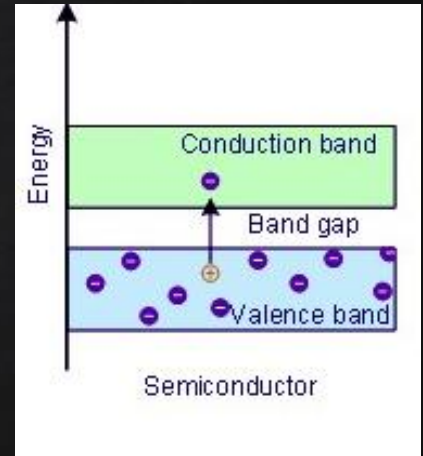
# Semicondutores



Elétrons de condução

Ausência de elétrons "buracos"  
Se comportam como partícula de carga positiva

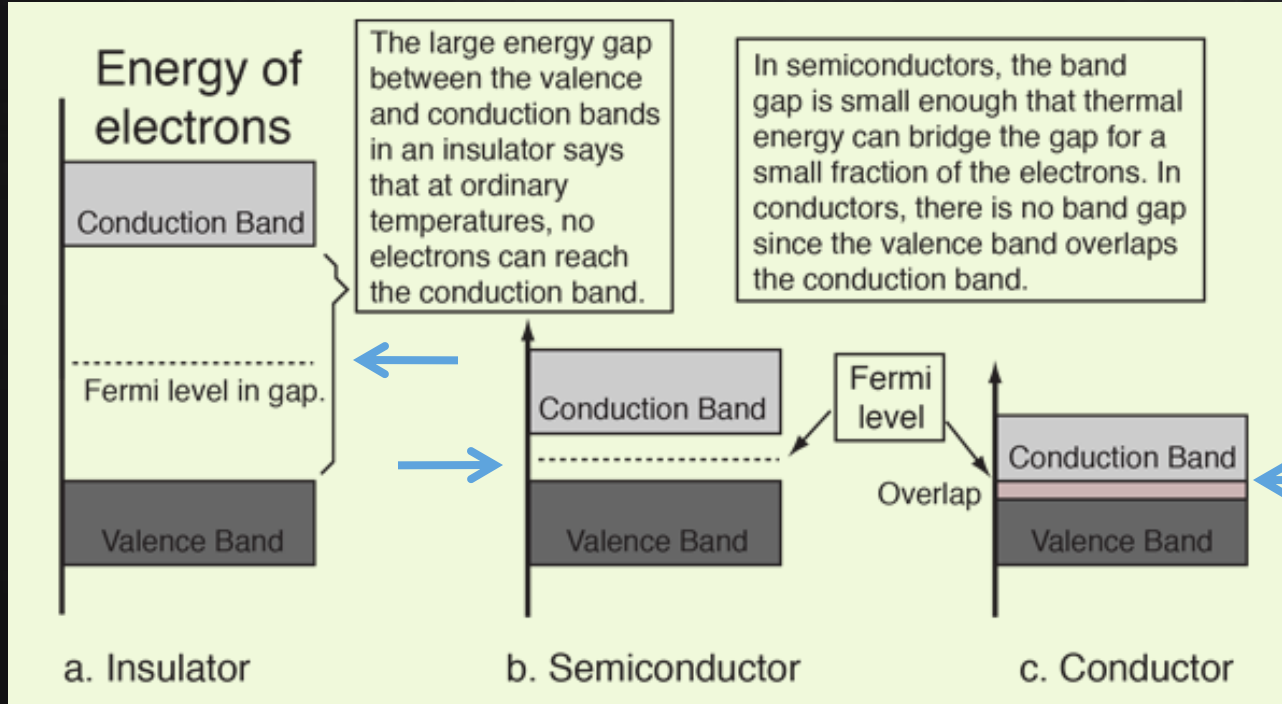
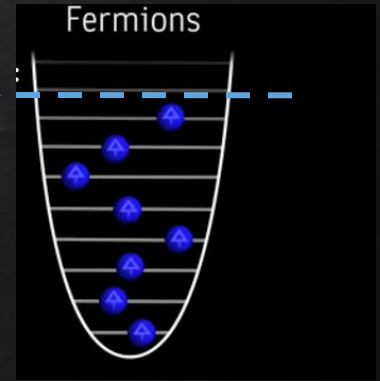
Excitação térmica consegue transferir elétrons para a BC (gap pequeno)



**SEMIcondutor**  
Há condução de corrente elétrica por POUCOS elétrons/buracos

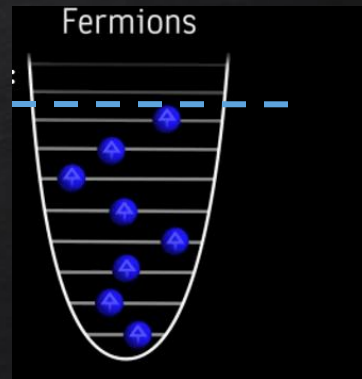
# Nível de Fermi Energia de Fermi

Nível/Energia do estado  
Ocupado de maior energia

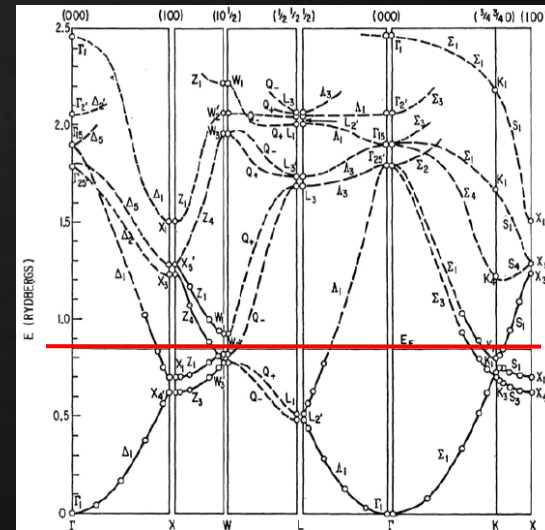
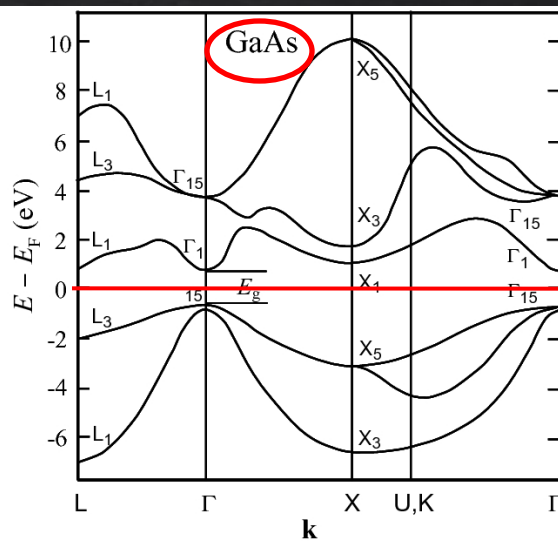
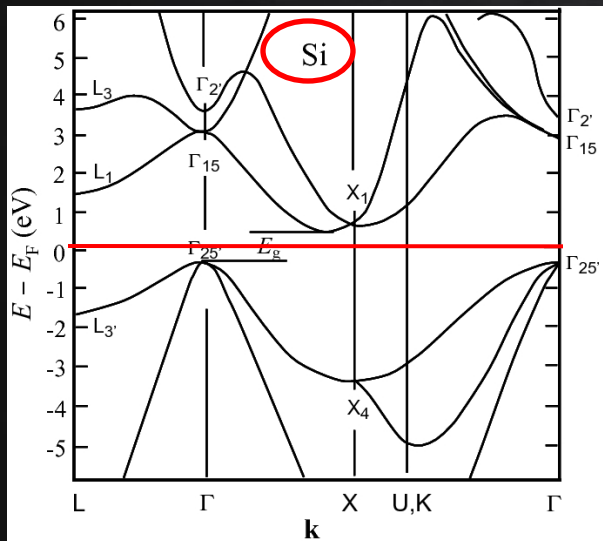


# Nível de Fermi Energia de Fermi

Nível/Energia do estado  
Ocupado de maior energia



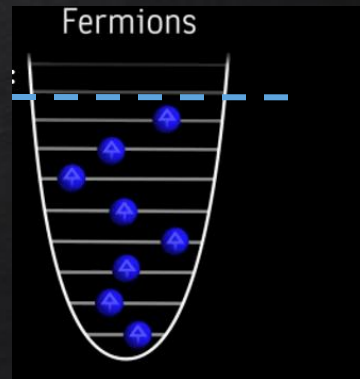
Semicondutores (Nível de Fermi no meio do gap)



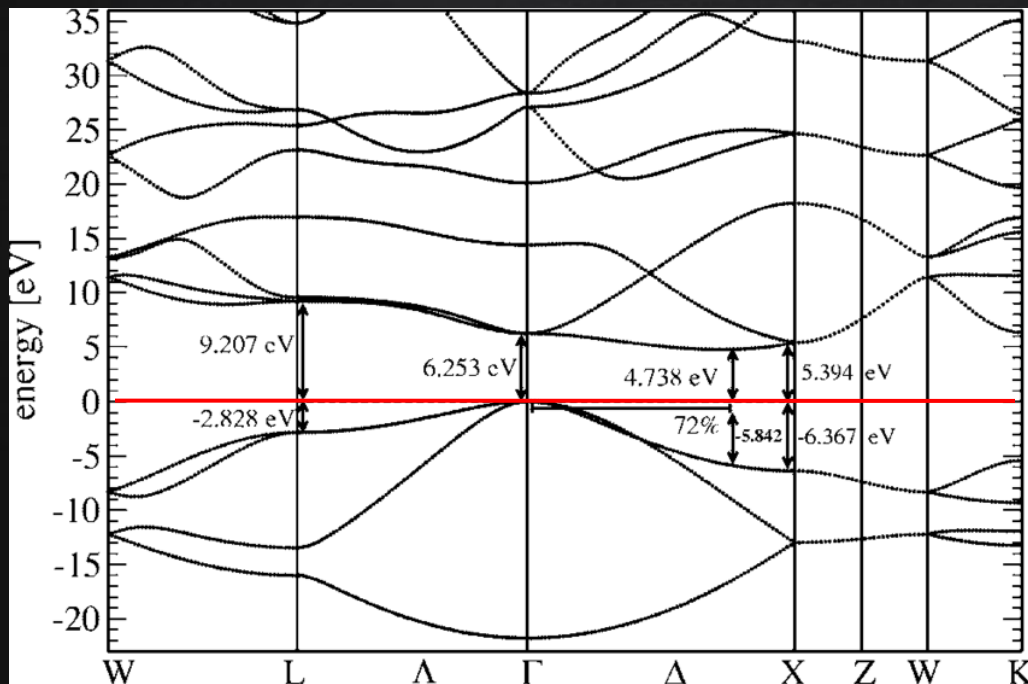
Alumínio condutor

# Nível de Fermi Energia de Fermi

Nível/Energia do estado  
Ocupado de maior energia

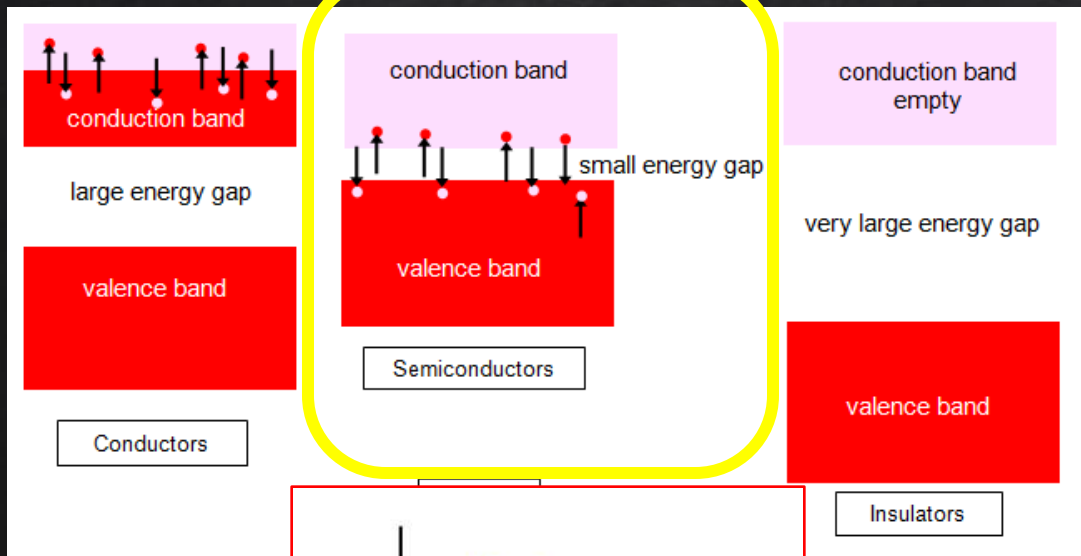


Diamante (isolante ~semicondutor) (Nível de Fermi no topo da BV)

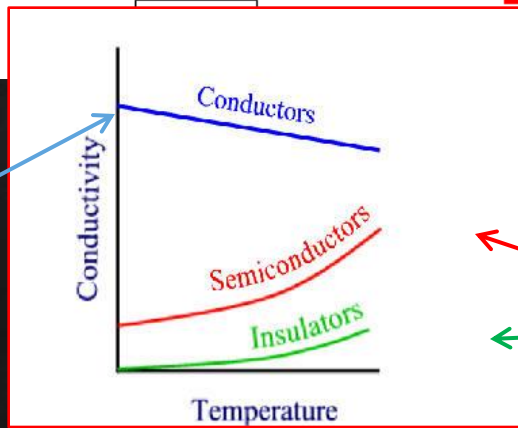




# Semicondutores



	5 <b>B</b> Boro 10,81	6 <b>C</b> Carbono 12,011	7 <b>N</b> Azoto 14,007	8 <b>O</b> Oxigénio 15,999
	13 <b>Al</b> Alumínio 26,982	14 <b>Si</b> Silício 28,085	15 <b>P</b> Fósforo 30,974	16 <b>S</b> Enxofre 32,06
30 <b>Zn</b> Zinco 65,38	31 <b>Ga</b> Gálio 69,723	32 <b>Ge</b> Germânio 72,630	33 <b>As</b> Arsênio 74,922	34 <b>Se</b> Selênio 78,971
48 <b>Cd</b> Cádmio 112,41	49 <b>In</b> Índio 114,82	50 <b>Sn</b> Estanho 118,71	51 <b>Sb</b> Antimônio 121,76	52 <b>Te</b> Telúrio 127,60



Maior condutividade  
- Maior densidade de elétrons livre

$$\sigma_{Drude} = \frac{ne^2\tau}{m}$$

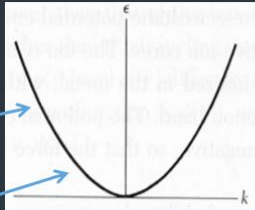
Menor condutividade  
- Menor densidade de elétrons livre  
- aumenta com a temperatura

# Semicondutores - Massa Efetiva

## Rede cristalina

### Partícula livre

Dispersão parabólica  
 $E(k) \sim k^2$

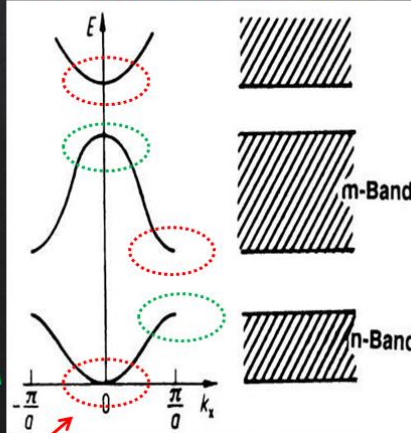


Concavidade  $\sim 1 / \text{massa}$

$$\frac{\partial^2 E(k)}{\partial k^2} = \frac{\hbar^2}{m}$$

$$E = \frac{p^2}{2m} = \frac{\hbar^2 k^2}{2m}$$

## Estrutura de bandas eletrônicas do cristal



Regiões onde a dispersão é aproxima/e parabólica  $E(k) \sim k^2$

Pedemos definir uma "massa efetiva" (+ / -)

$$\frac{\partial^2 E(k)}{\partial k^2} = \frac{\hbar^2}{m}$$

$$\sigma_{Drude} = \frac{n e^2 \tau}{m}$$

Menor massa  
-Maior mobilidade elétrica

## Electron and hole conductivity effective masses

	Si	Ge	GaAs
$m_n^*/m_o$	0.26	0.12	0.068
$m_p^*/m_o$	0.39	0.30	0.50

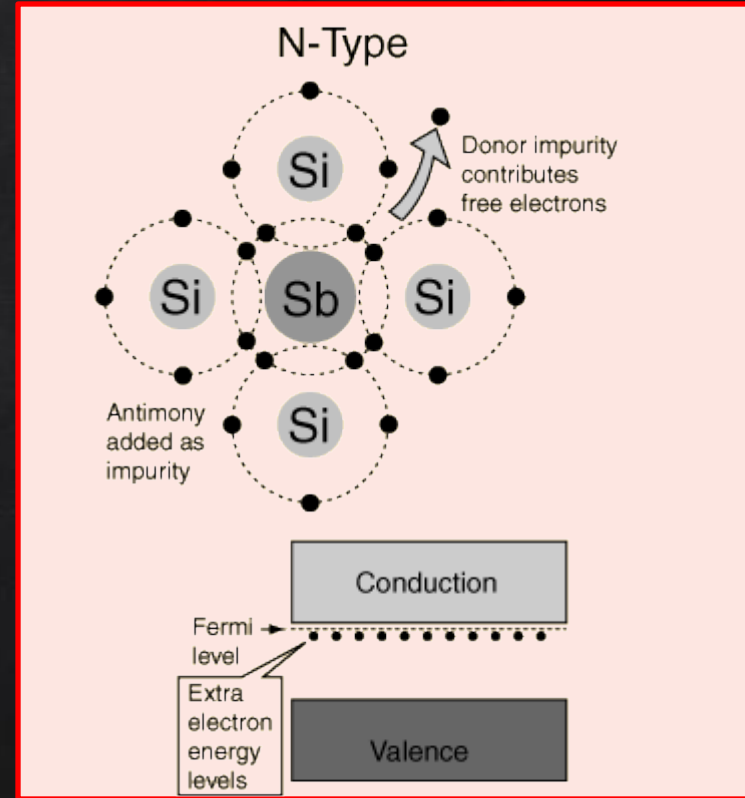
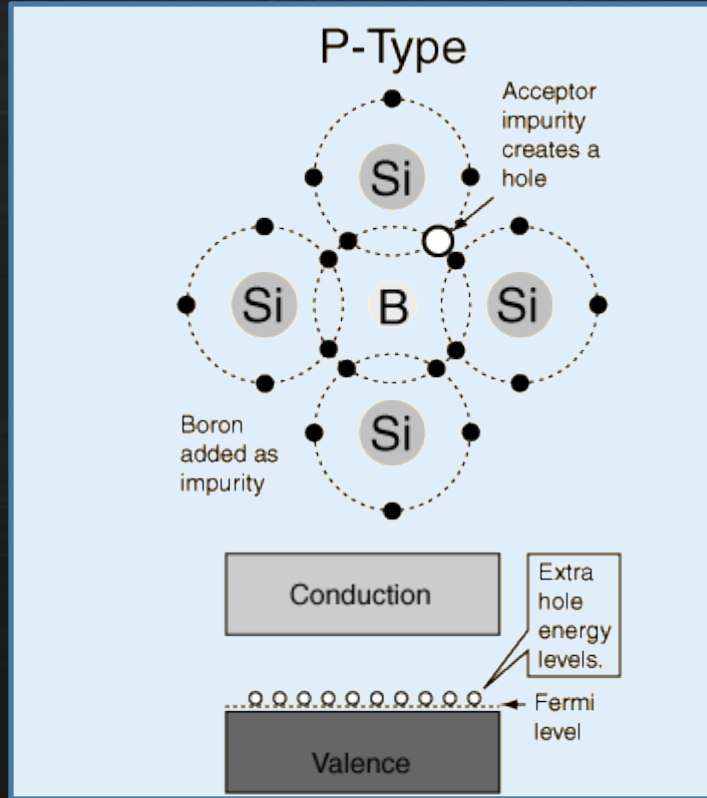
$$m_o = 9.1 \times 10^{-31} \text{ kg}$$

# SEMICONDUCTORES DOPADOS

Proporciona portadores de carga → aumenta a densidade de carga condutora

$$\sigma_{Drude} = \frac{n e^2 \tau}{m}$$

IIIA	IVA	VA
B 10.811	C 12.011	N 14.007
Al 26.982	Si 28.086	P 30.974
Ga 69.72	Ge 72.59	As 74.922
In 114.82	Sn 118.69	Sb 121.75



# DISPOSITIVOS SEMICONDUTORES

## Vantagens do Semicondutor

- Mobilidade de cargas muito alta – baixa resistência (cristal perfeito)
- Controle da dopagem
- Heterojunções
  - Crescimento controlado
  - Baixa dimensionalidade

## Conductivity of Metals and Semiconductors

Metal Semiconductor	Mobility (RT) $\mu$ ( $\text{m}^2\text{V}^{-1}\text{s}^{-1}$ )	Carrier Density $n_e$ ( $\text{m}^{-3}$ )
Na	0.0053	$2.6 \times 10^{28}$
Ag	0.0057	$5.9 \times 10^{28}$
Al	0.0013	$1.8 \times 10^{29}$
Si	0.15	$1.5 \times 10^{10}$
GaAs	0.85	$1.8 \times 10^6$

$$\sigma_{\text{metal}} \gg \sigma_{\text{semi}}$$

$$\sigma_{\text{Drude}} = \frac{n e^2 \tau}{m}$$

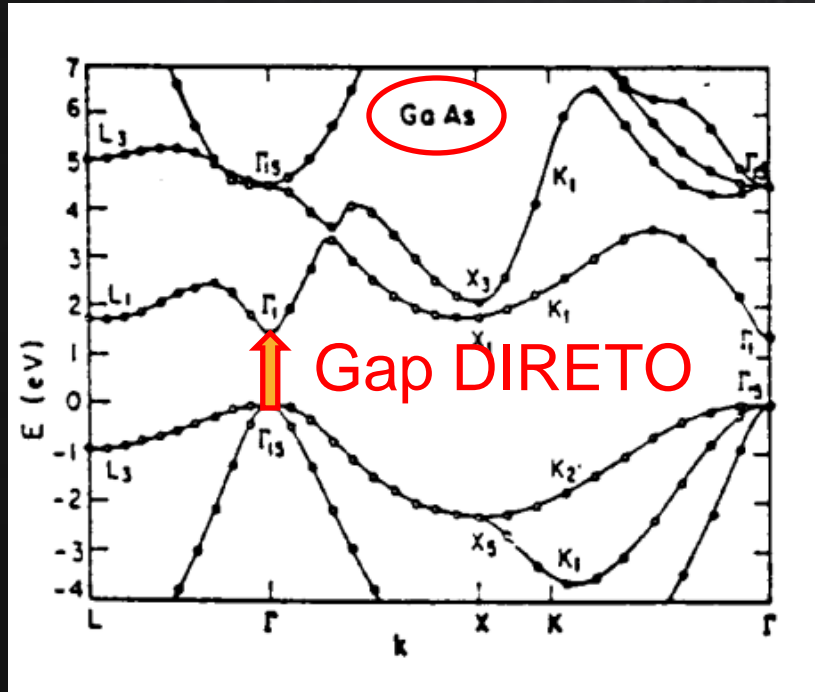
condutividade

$$\sigma = n |e| \mu_e$$

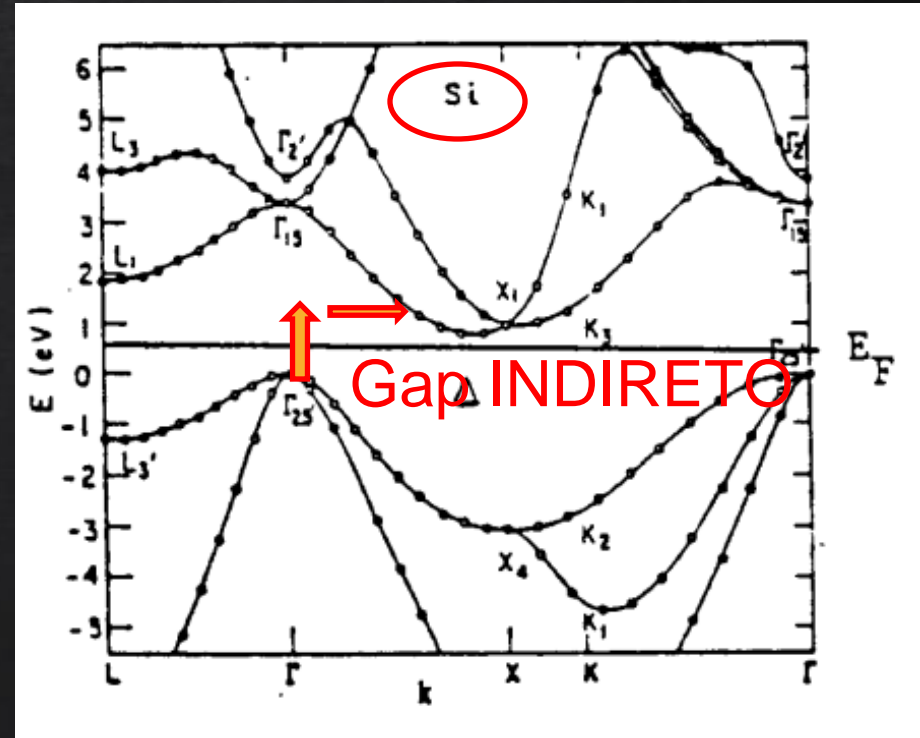
densidade

mobilidade

# Semicondutores - Propriedades Ópticas

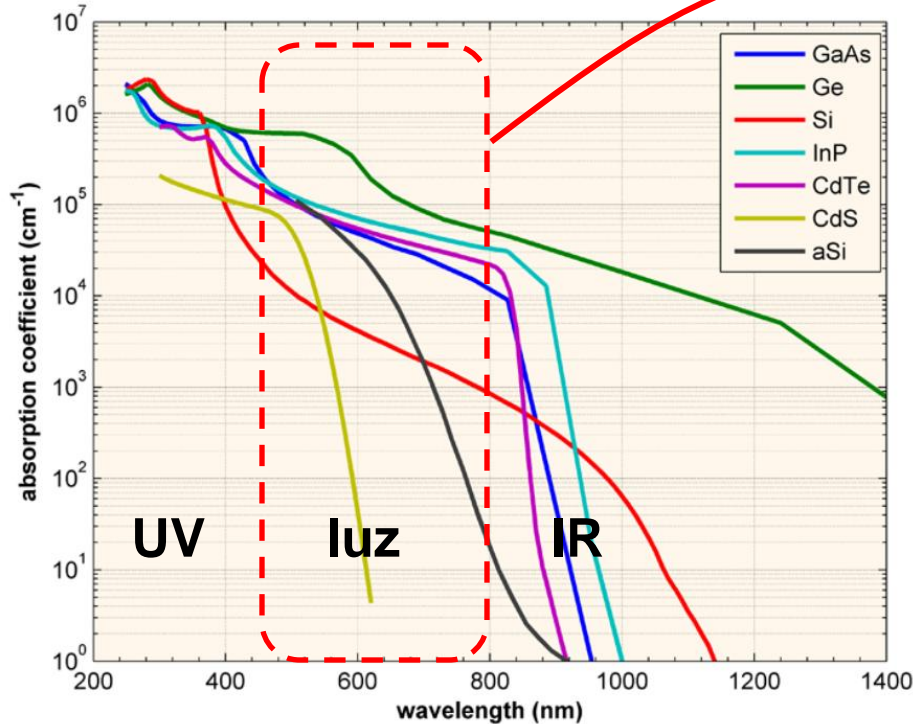


Forte acoplamento com a luz



Fraco acoplamento com a luz

# Semicondutores - Propriedades Ópticas



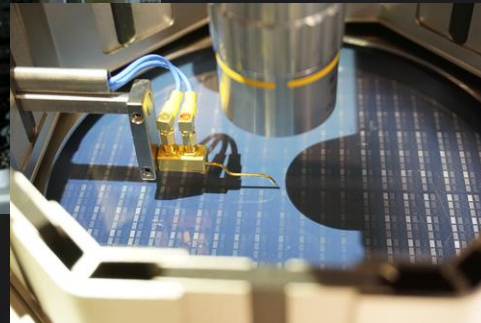
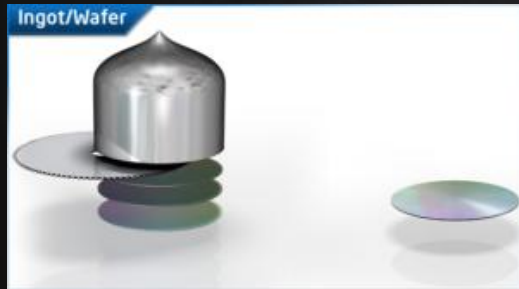
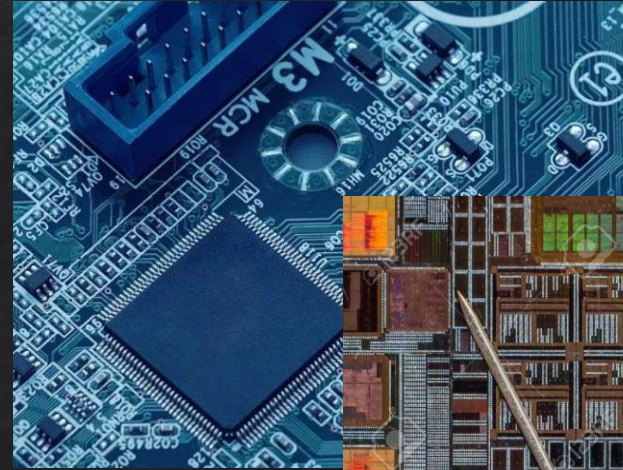
The absorption coefficient,  $\alpha$ , in a variety of semiconductor materials at 300K as a function of the vacuum wavelength of light.

## Visible Light Spectrum

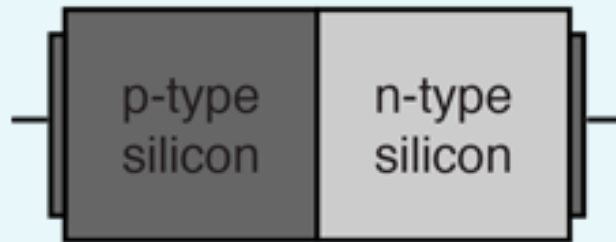
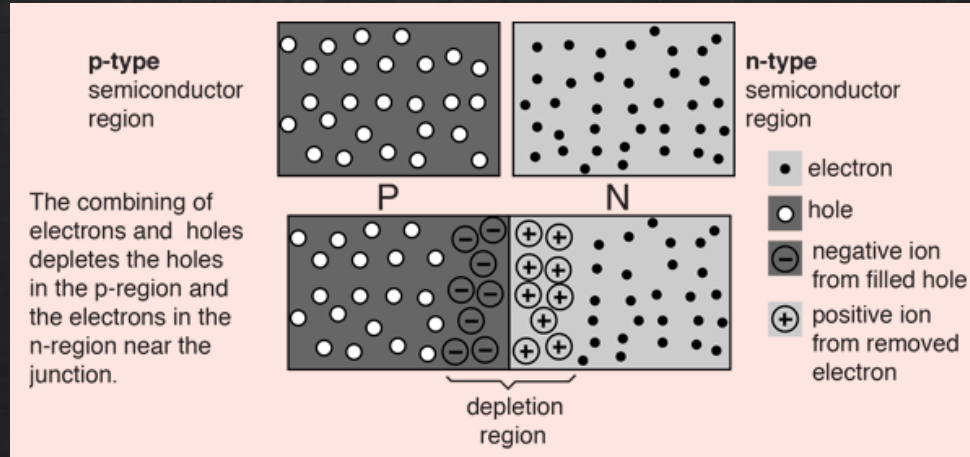
The visible light spectrum is the portion of the electromagnetic spectrum visible to human eyes.



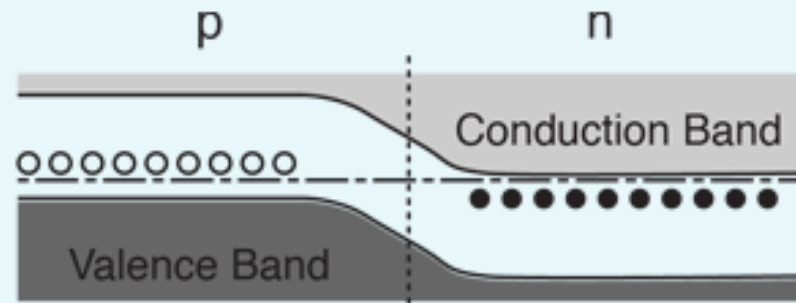
# DISPOSITIVOS SEMICONDUTORES



# DIODOS SEMICONDUTORES



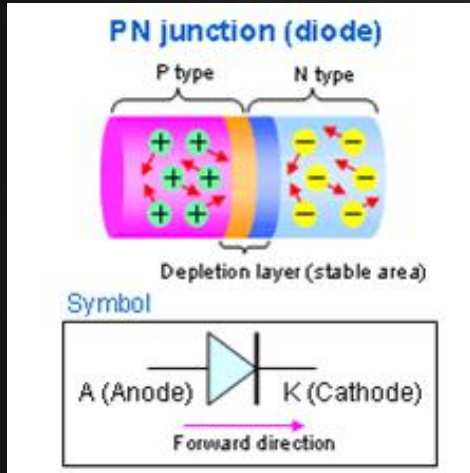
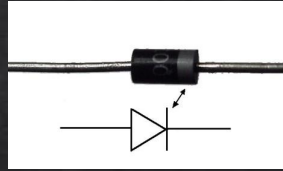
p-n junction



Energy bands at equilibrium

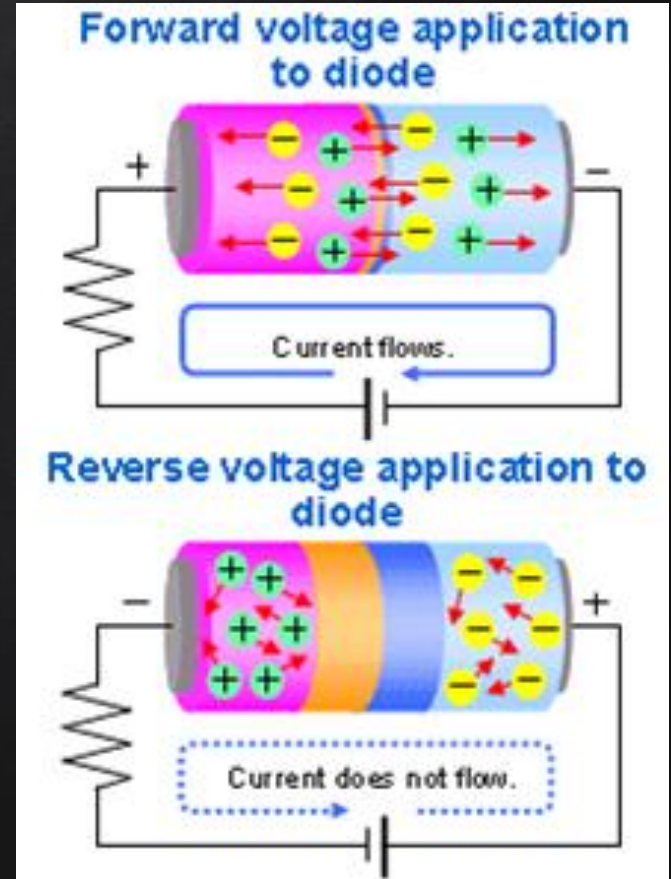


# DIODOS SEMICONDUTORES



Chave direcional  
de  
corrente elétrica

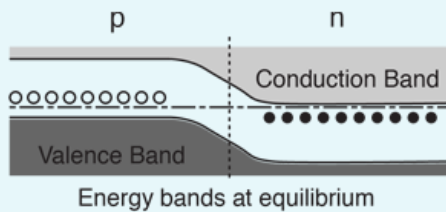
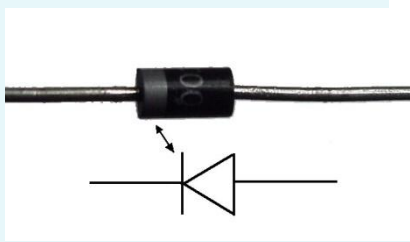
→



# DIODOS SEMICONDUTORES

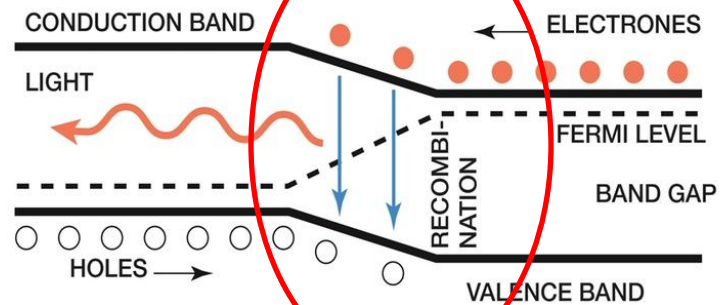
## Diodo convencional

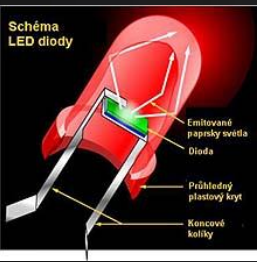
### Gap INDIRETO



## LED – light emitting diode

### Gap DIRETO

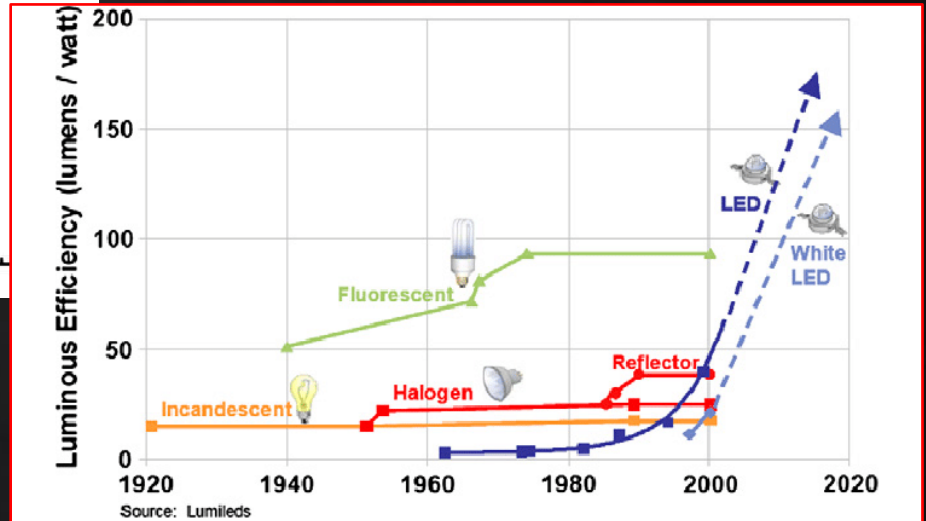
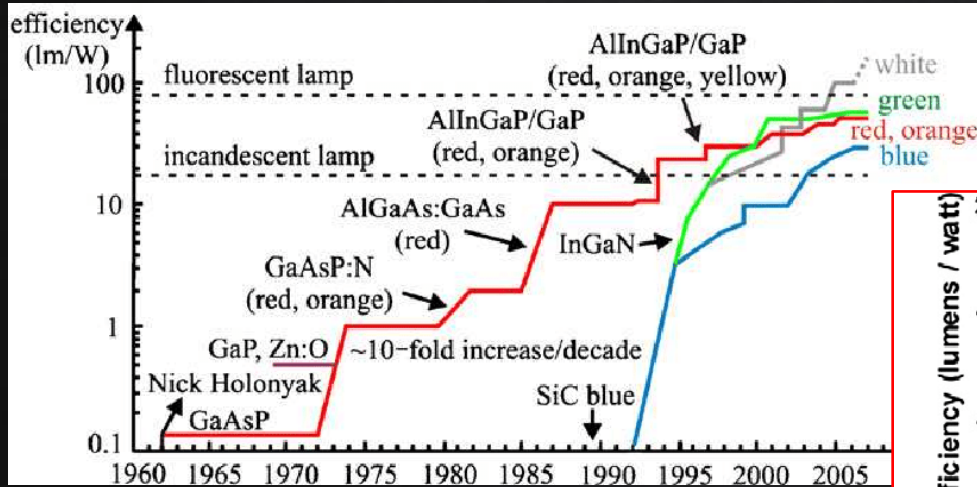
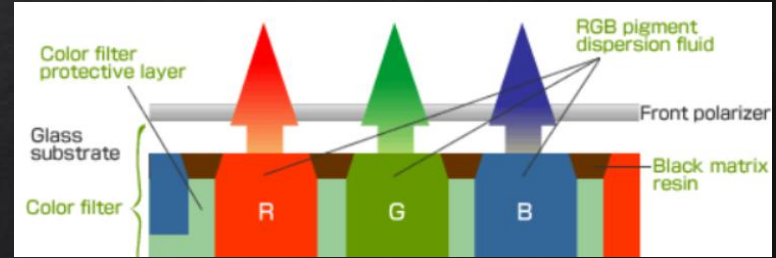
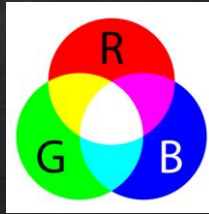




# LED – light emitting diode

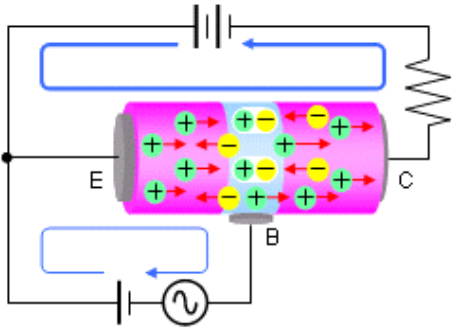


Evolução dos LEDs

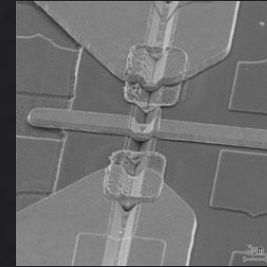
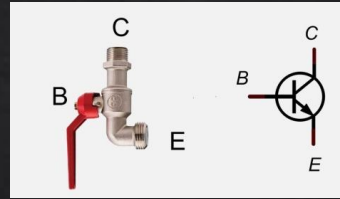
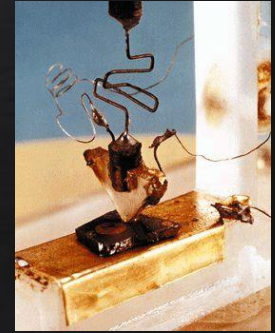
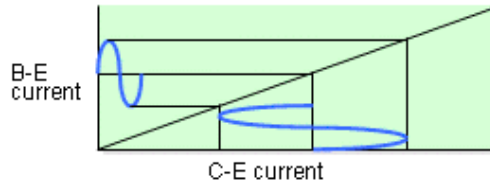
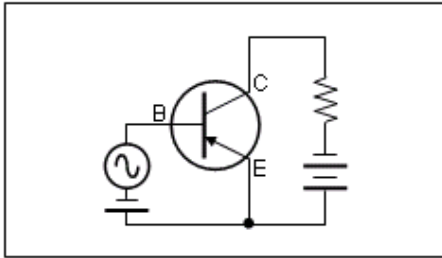


# Transistores

## Amplification action of transistor

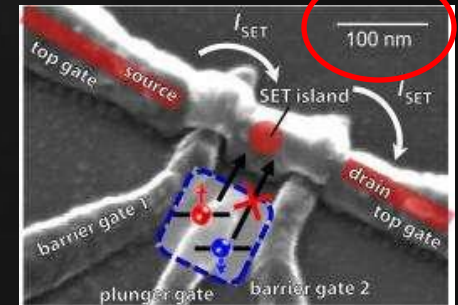


## Circuit diagram



## Principais funções

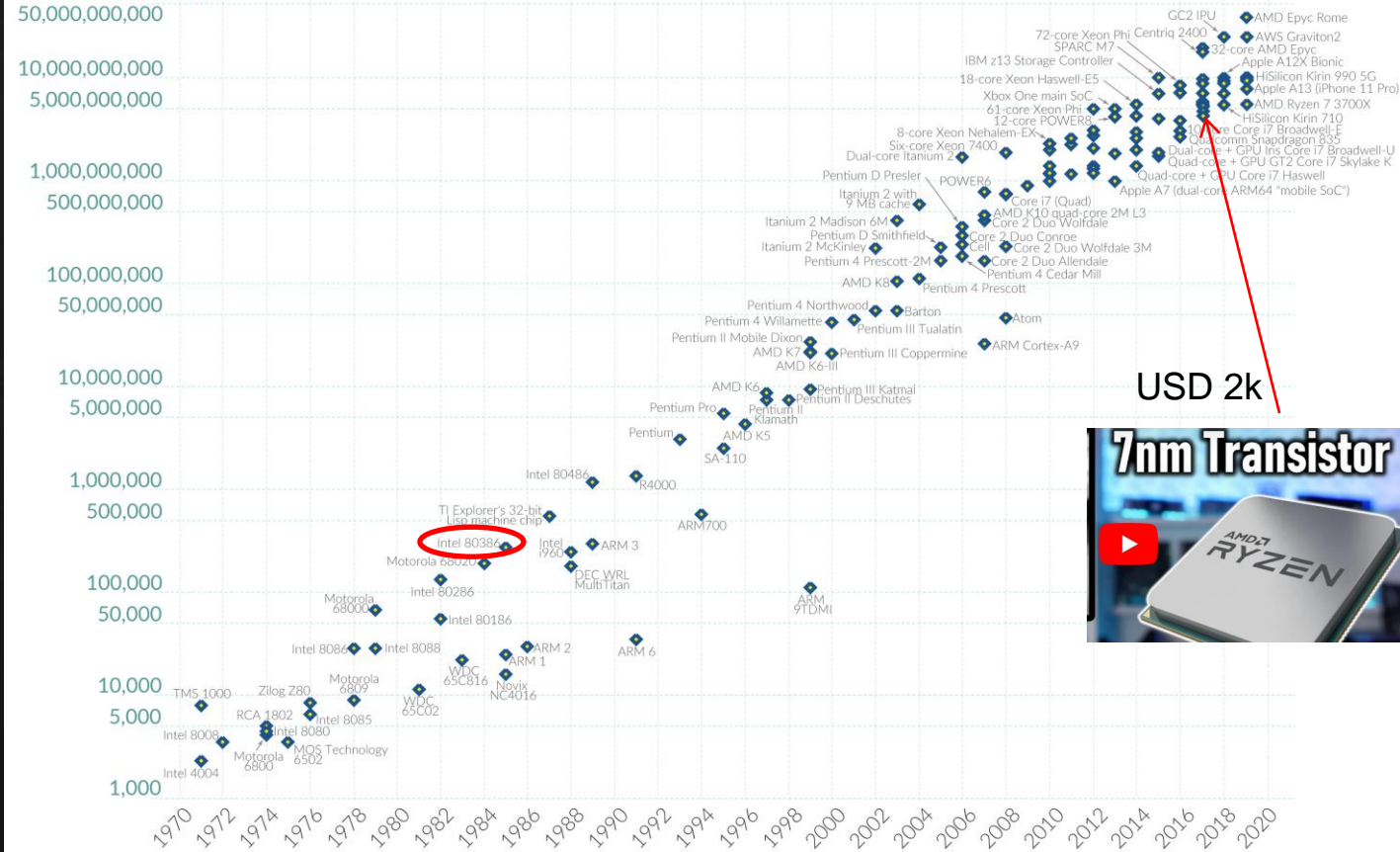
- Chaveamento (on/off)
- Amplificação



# Moore's Law: The number of transistors on microchips doubles every two years

Moore's law describes the empirical regularity that the number of transistors on integrated circuits doubles approximately every two years. This advancement is important for other aspects of technological progress in computing – such as processing speed or the price of computers.

## Transistor count



USD 2k

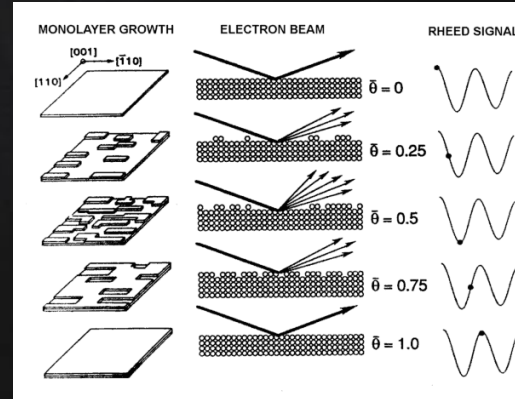
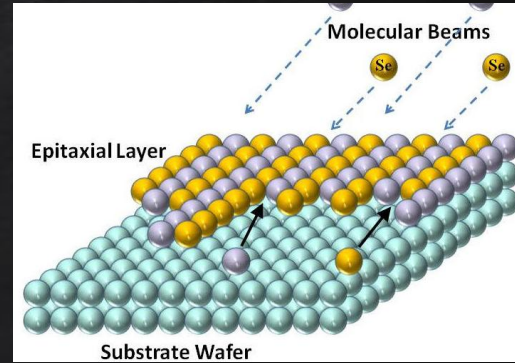
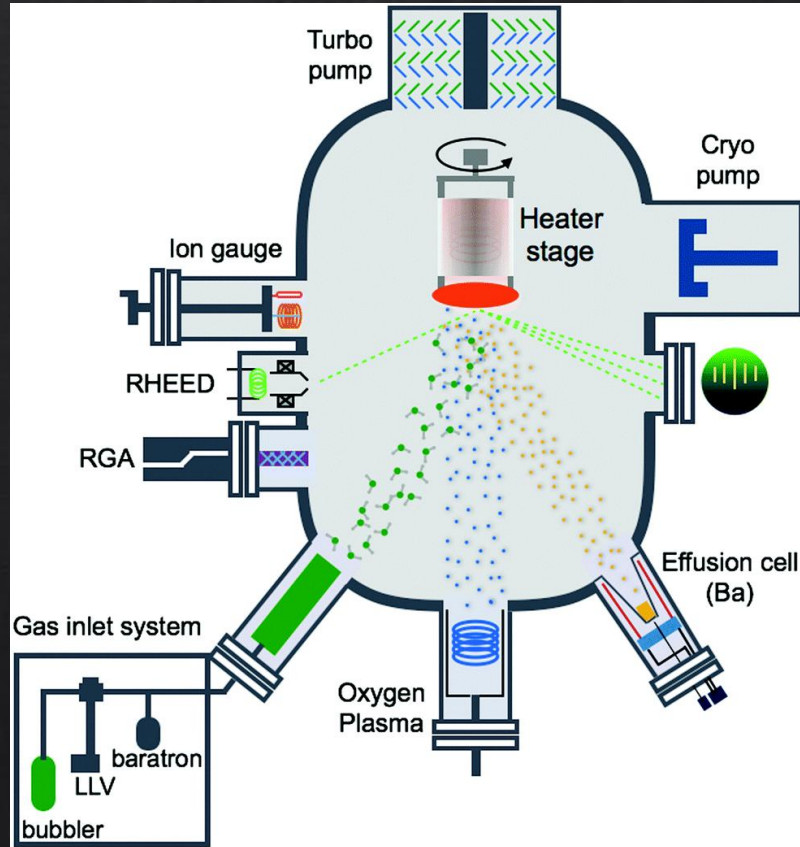
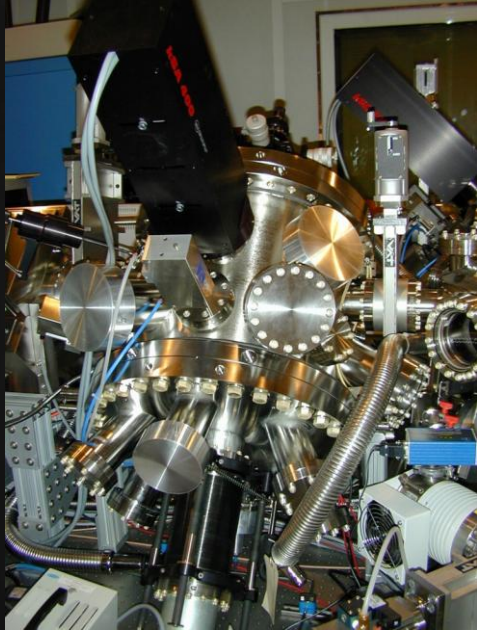


Data source: Wikipedia ([wikipedia.org/wiki/Transistor\\_count](https://wikipedia.org/wiki/Transistor_count))

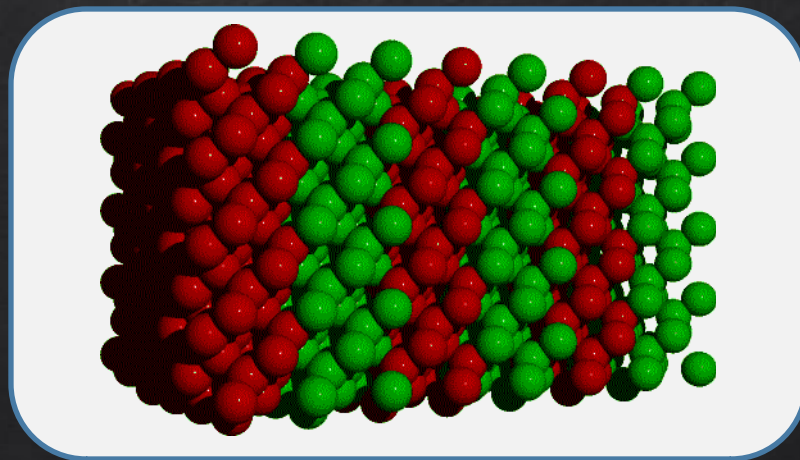
Year in which the microchip was first introduced

# CRESCIMENTO POR CAMADAS

## MBE - MOLECULAR BEAM EPITAXY



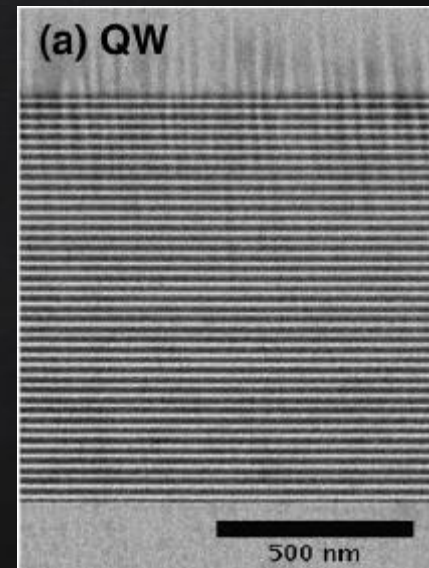
Engenharia de gap

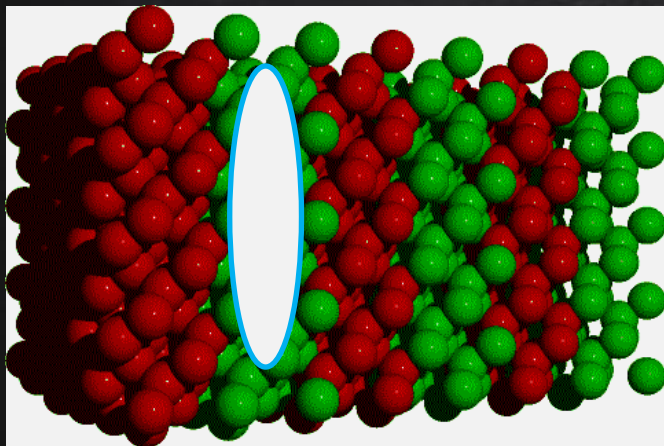


g  
a  
p



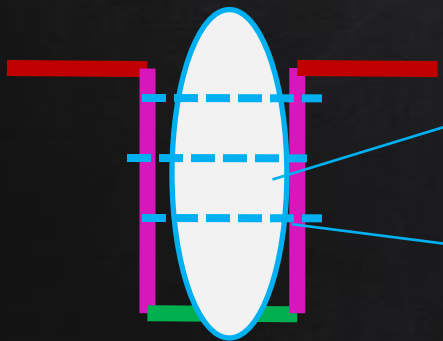
Poço quântico (*quantum well QW*)





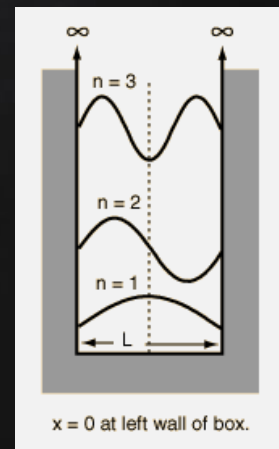
Dopagem seletiva (fora do poço)  
- maior mobilidade

## Poço Quântico

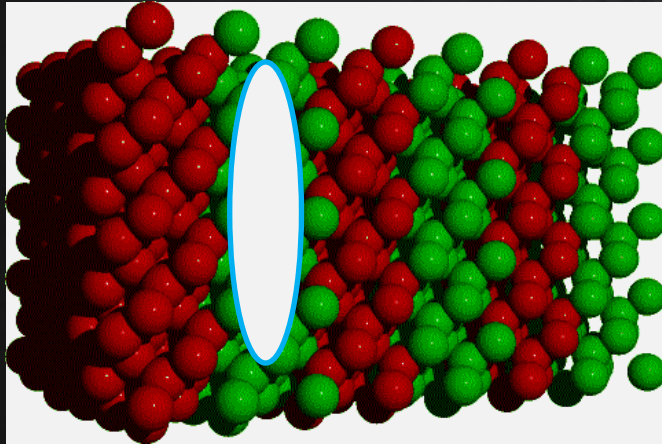


Camada 2D de elétrons

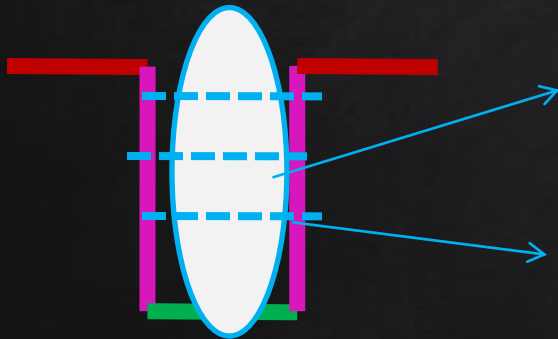
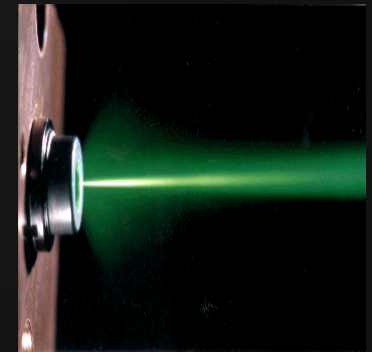
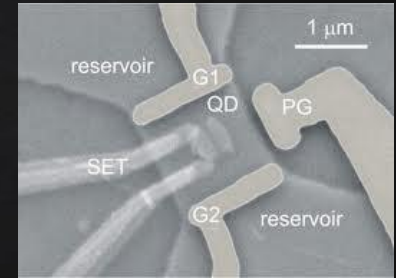
Níveis discretos de energias







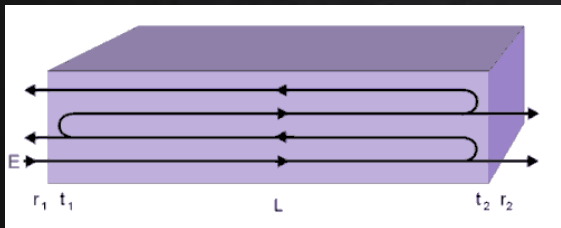
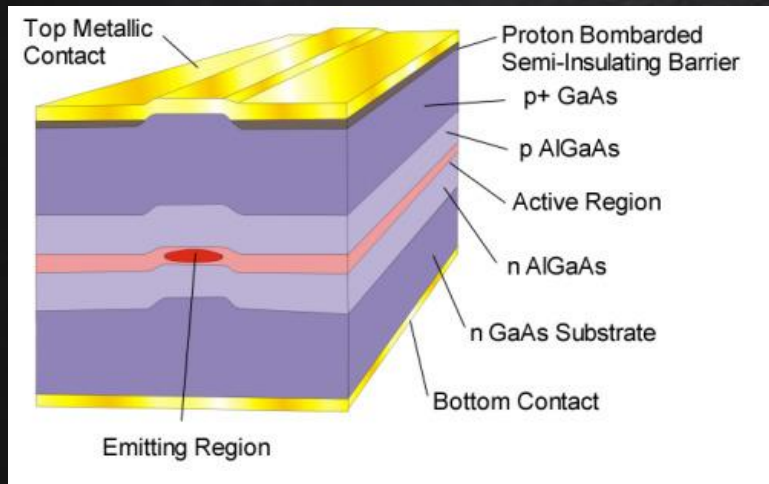
Camada 2D de elétrons  
→ ótimo condutor  
→ Chips rápidos



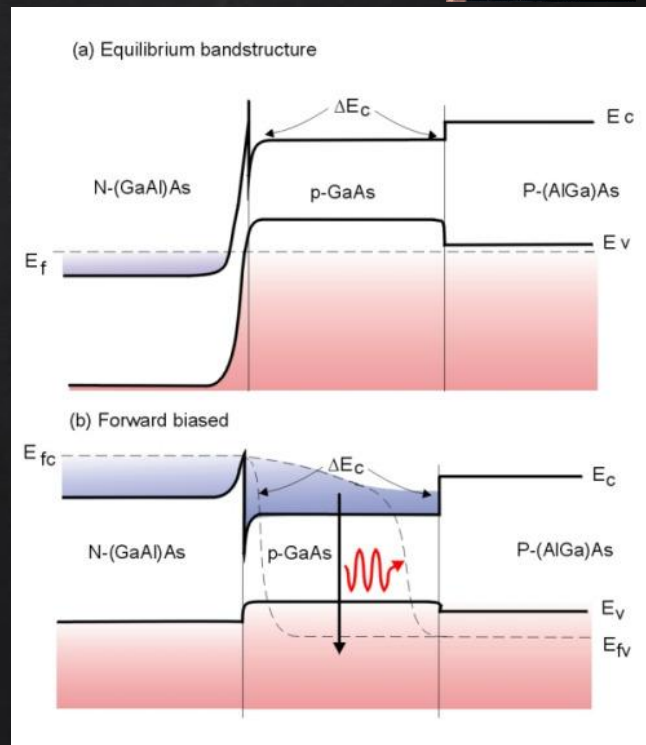
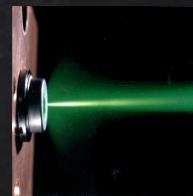
Níveis discretos de energias  
→ Absorção/emissão de luz  
de freq. determinada  
→ DETETORES / LASERs

# Heteroestruturas semiconductoras

# baixa dimensionalidade

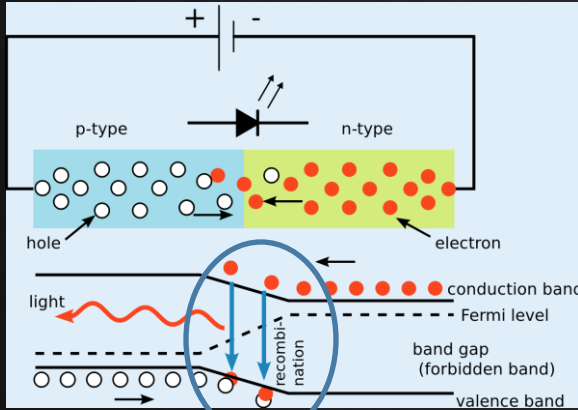


# LASERS

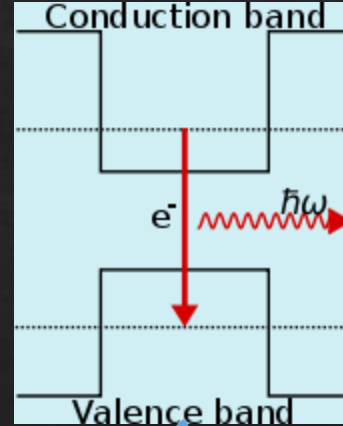


# Laser de poço quântico

## LED – junção PN

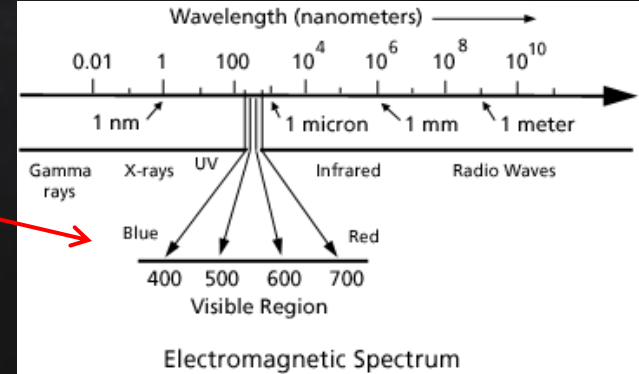
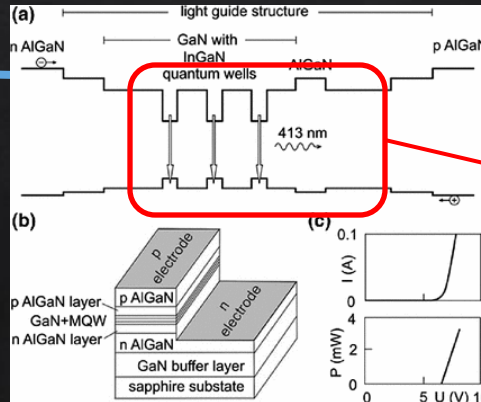


## Emissão num poço quântico



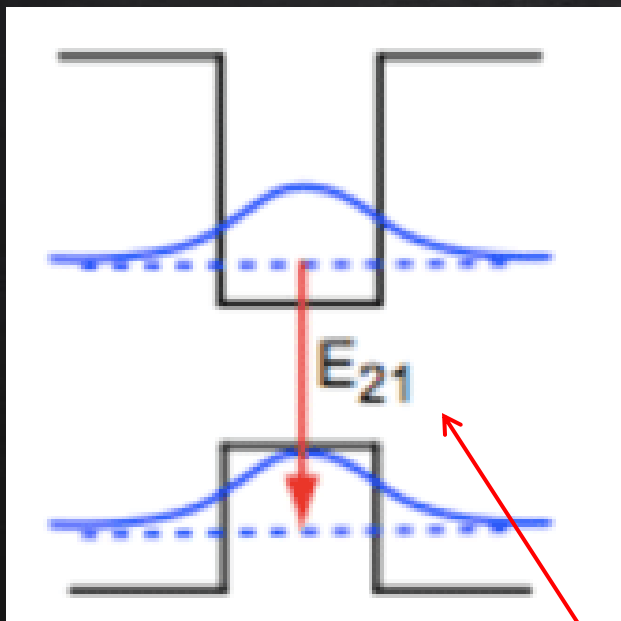
Luz com frequência muito bem definida (laser)

Energia alta – luz visível

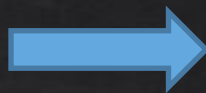


# Laser de poço quântico

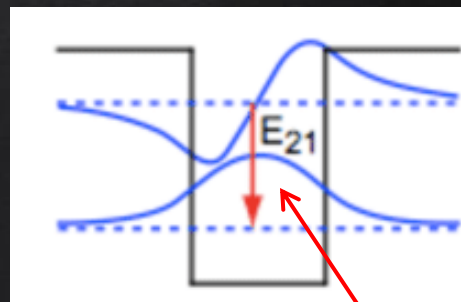
Emissão INTERBanda



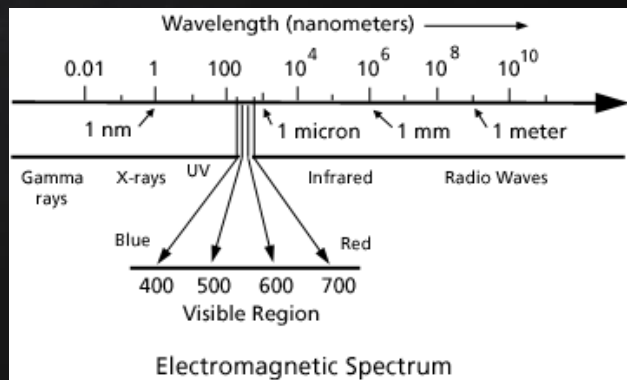
Alta energia  
visível



Emissão INTRABanda

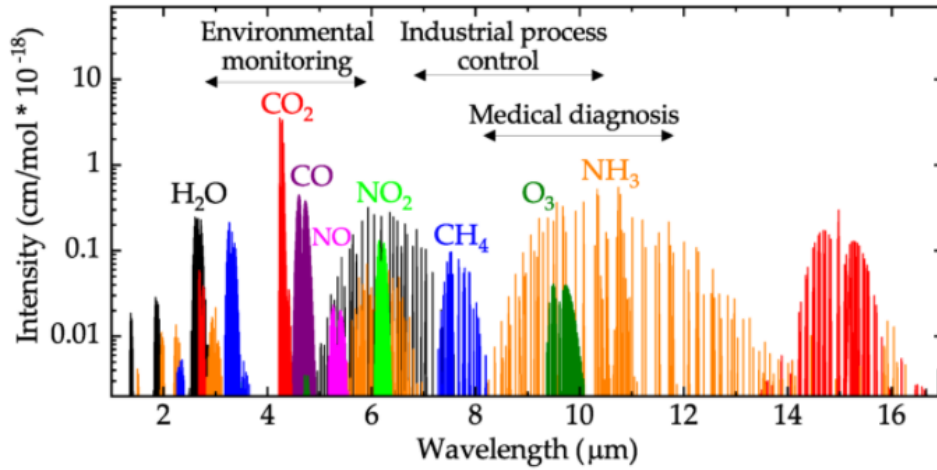


Baixa energia  
Infravermelho

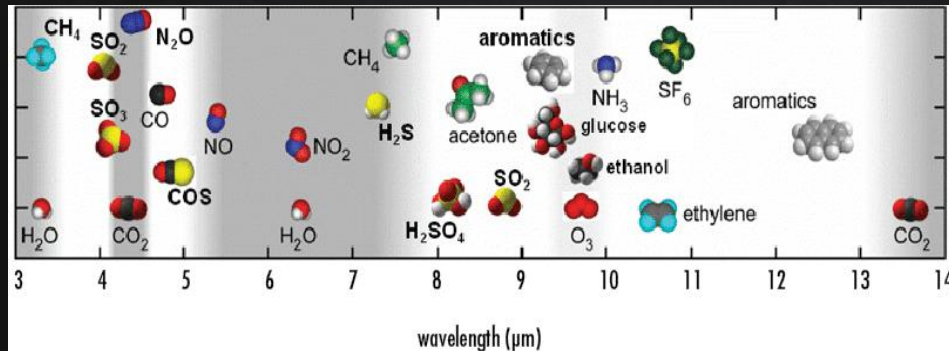
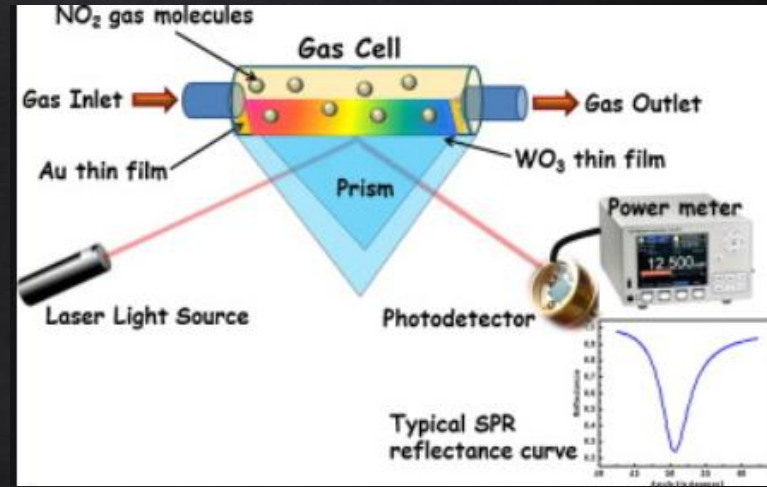


# Espectroscopia no infravermelho ( IR)

**Figure 1.** Mid-infrared absorption spectra of selected molecules with their relative intensities. H<sub>2</sub>O: water; CO<sub>2</sub>: carbon dioxide; CO: carbon monoxide; NO: nitric oxide; NO<sub>2</sub>: nitrogen dioxide; CH<sub>4</sub>: methane; O<sub>3</sub>: oxygen; NH<sub>3</sub>: ammonia. Source: HITRAN [10].

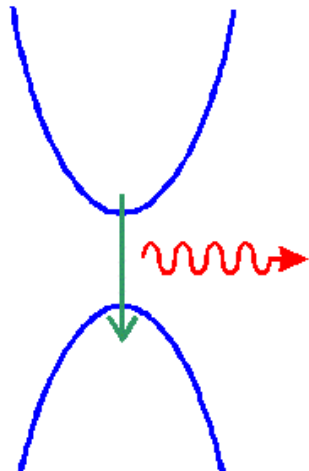


# Sensores IR

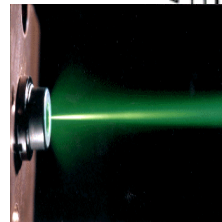
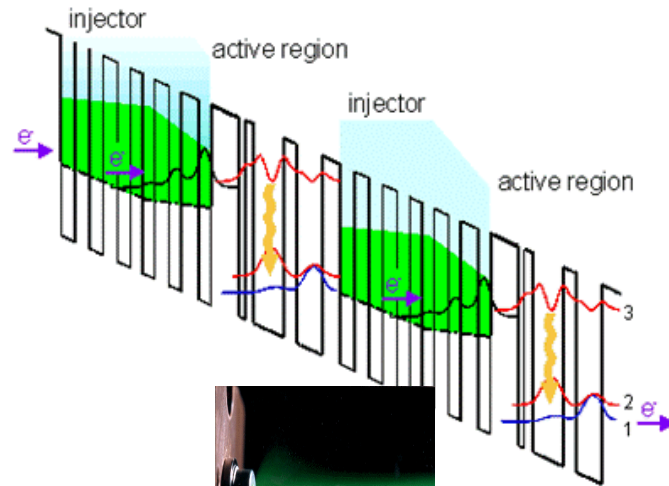


## QCL Compared to Diode Lasers

Diode Laser



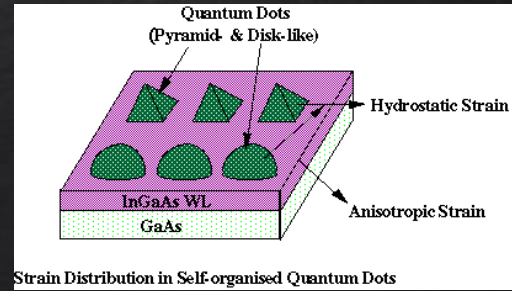
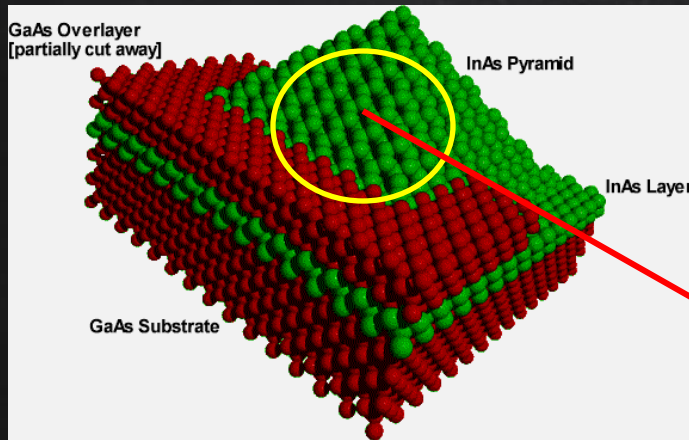
Quantum Cascade Laser



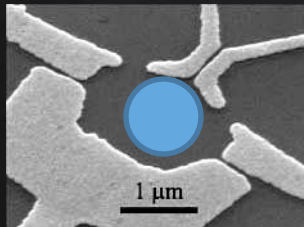
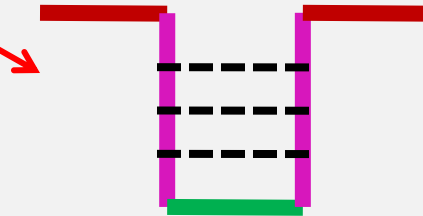
# Heteroestruturas semicondutoras

# baixa dimensionalidade

## Pontos quânticos (*quantum dots QD*)



## Átomos artificiais



## Níveis discretos de energias

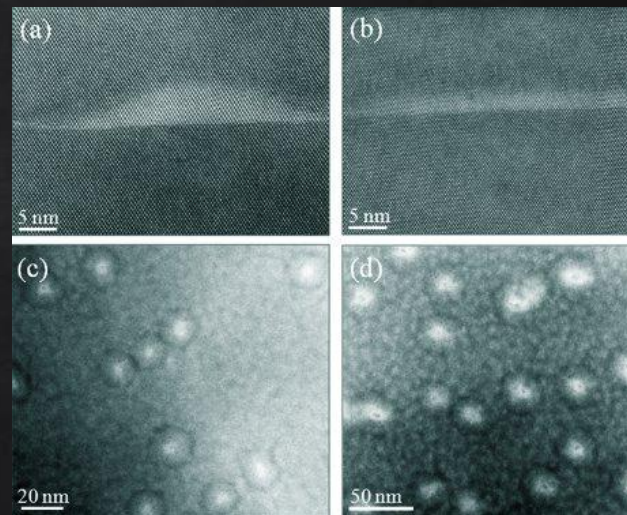
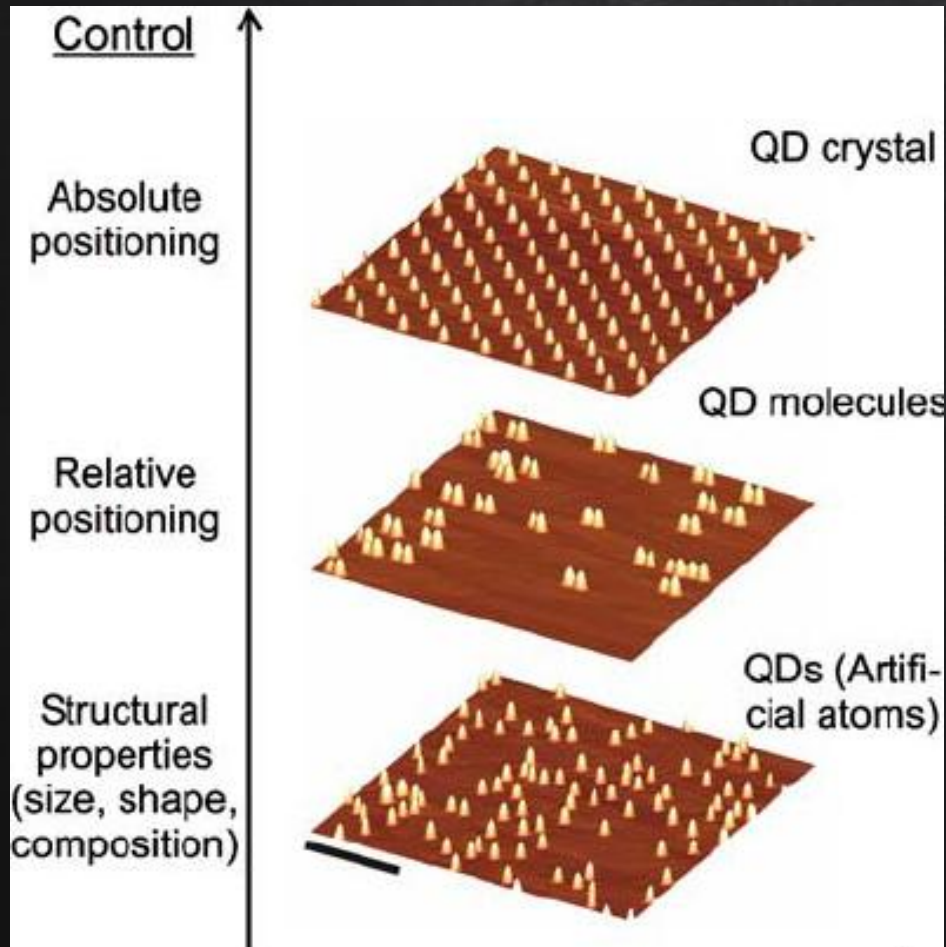
→ Absorção/emissão de luz

De freq. determinada

→ DETETORES / LASERS

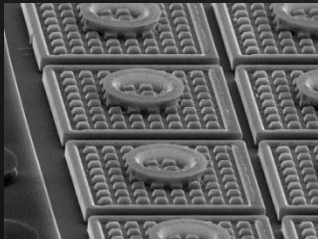
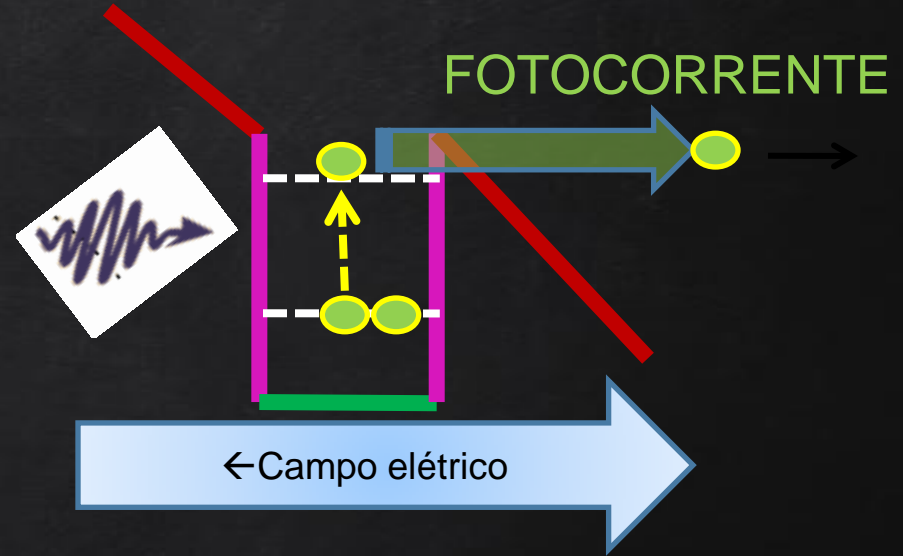
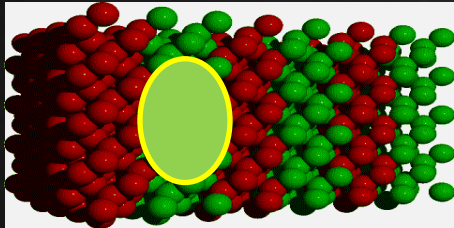
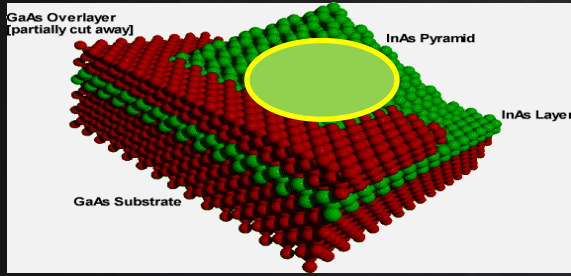
# Heteroestruturas semiconductoras

# baixa dimensionalidade





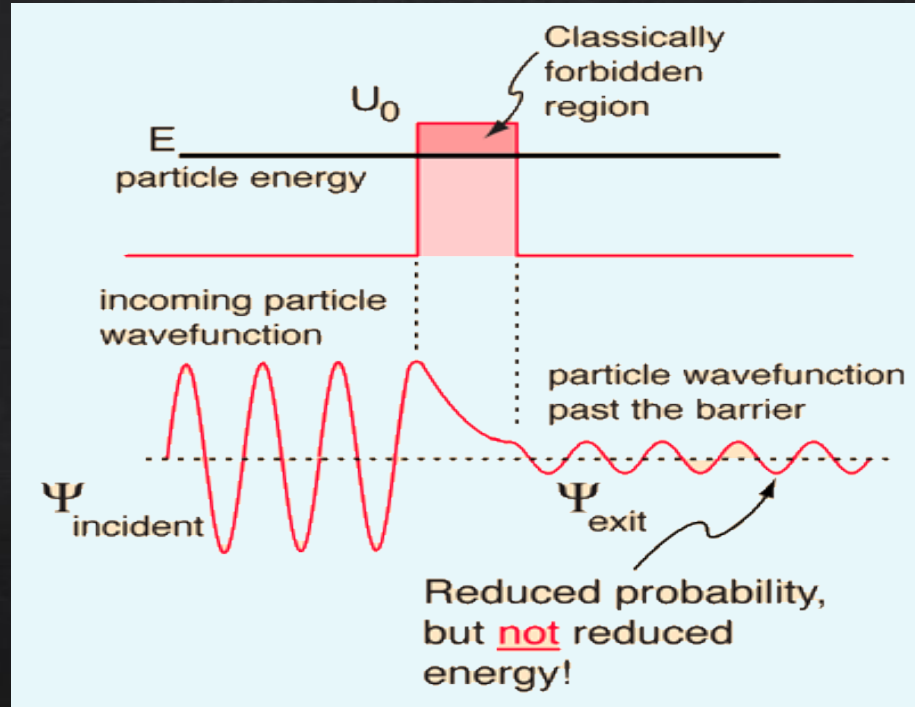
# Detetor Infravermelho



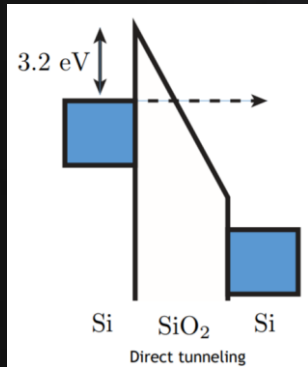
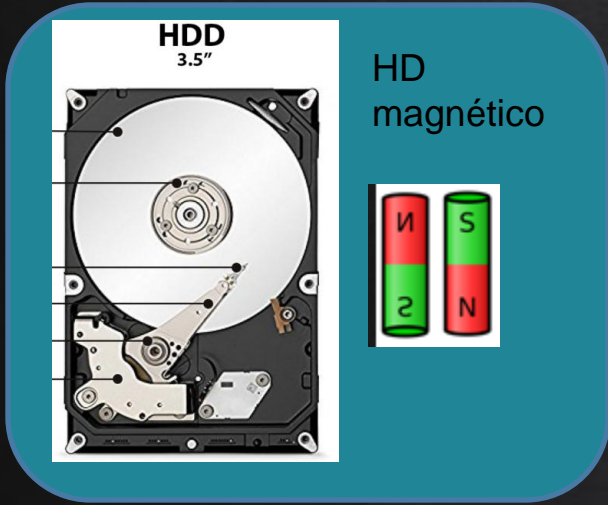
Pode ser também o princípio de funcionamento das células fotovoltaicas



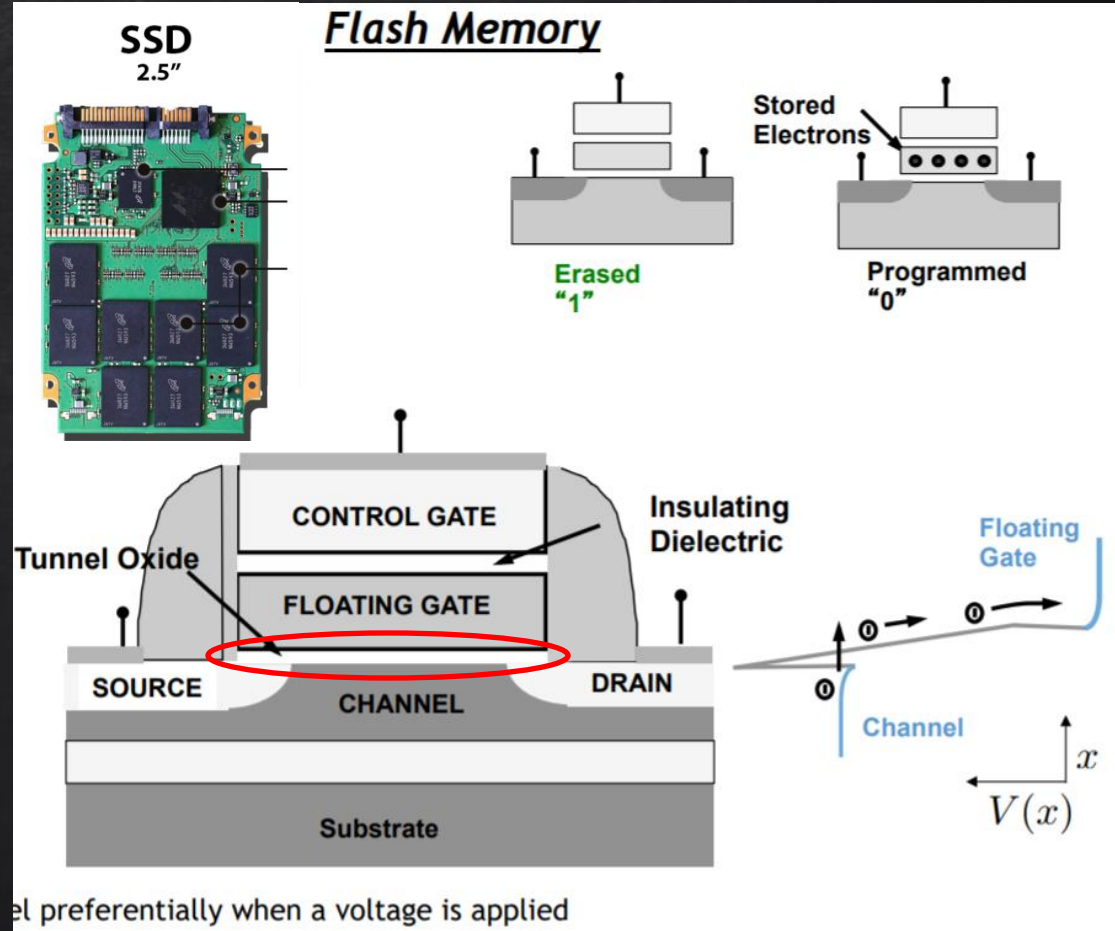
# Tunelamento quântico



# Algumas aplicações do tunelamento quântico: Memória Flash (SSD)



Barreira isolante



# Algumas aplicações do tunelamento quântico: STM – Scanning Tunneling Microscopy

$\approx 0.3 \text{ nm}$

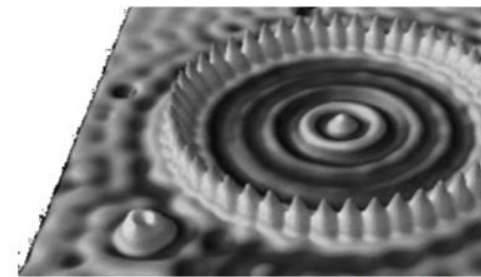
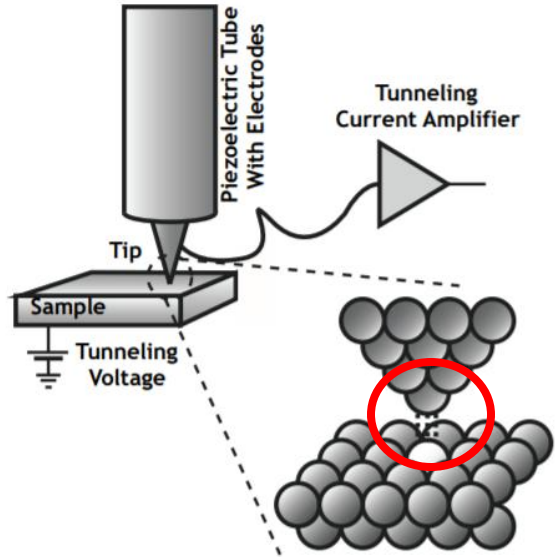
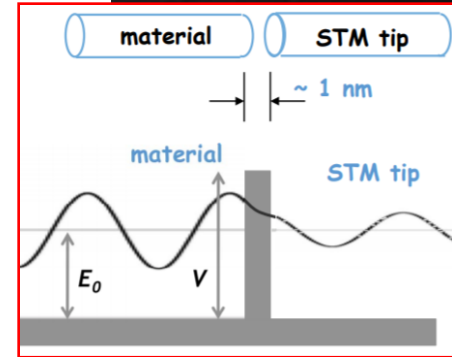
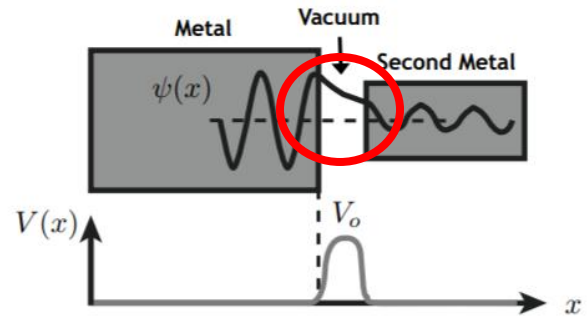
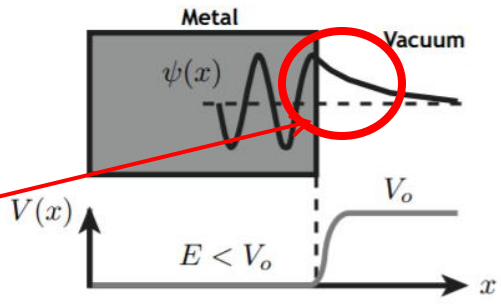
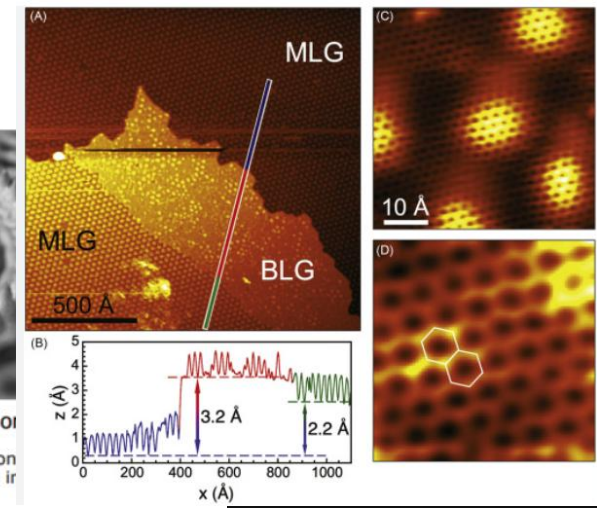


Image originally created by IBM Co

© IBM Corporation. All rights reserved. This con from our Creative Commons license. For more ir <http://ocw.mit.edu/fairuse>.



## Algumas aplicações do tunelamento quântico:

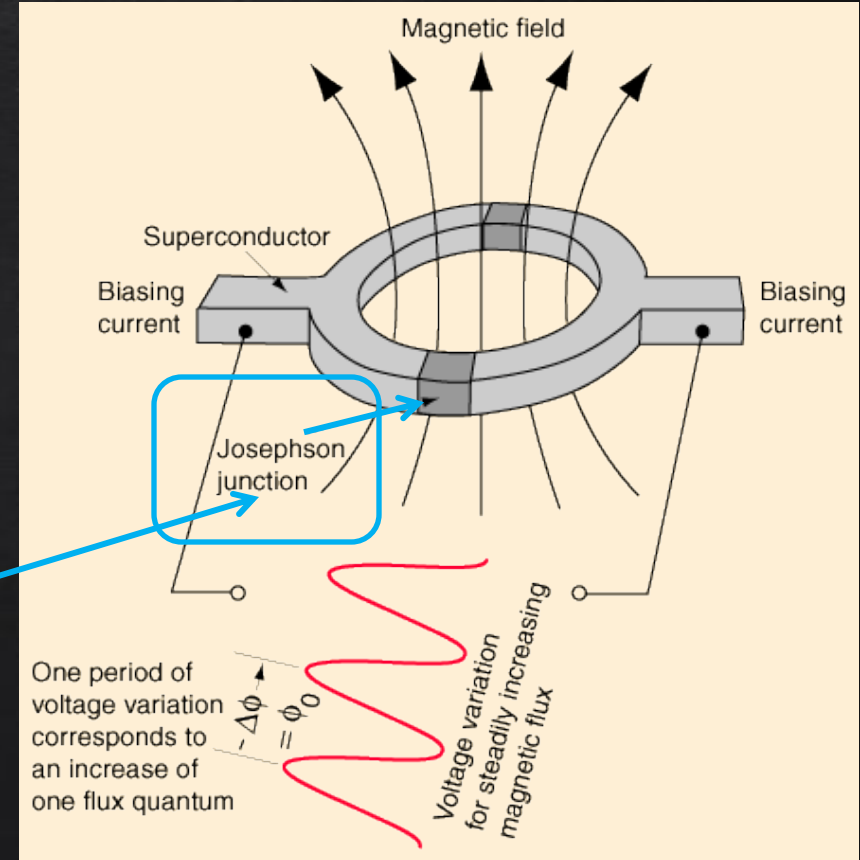
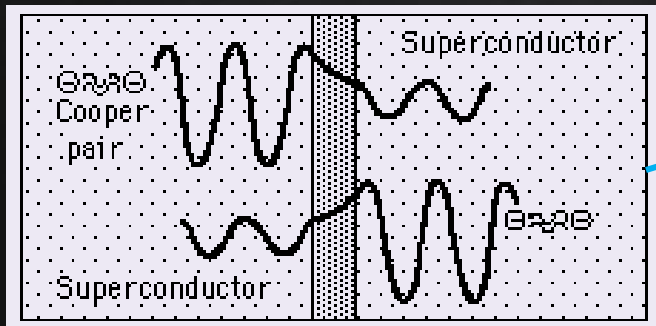
SQUID (Superconducting Quantum Interference Device) – Mede campo magnético

Threshold for SQUID:  $10^{-14}$  T

Magnetic field of heart:  $10^{-10}$  T

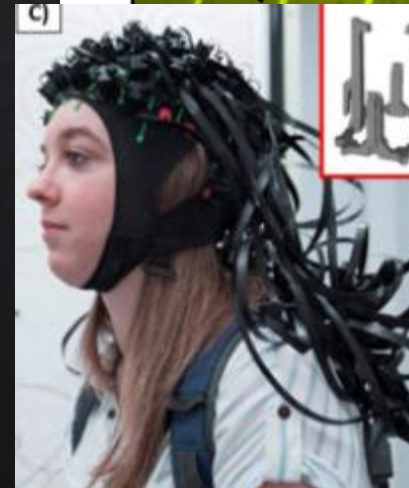
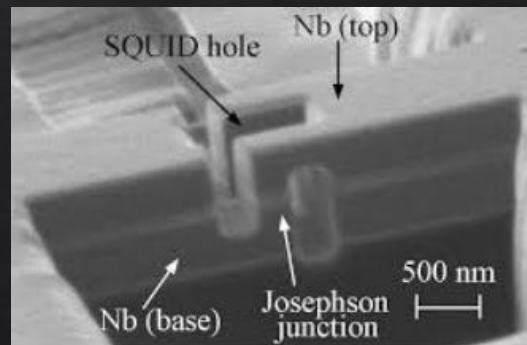
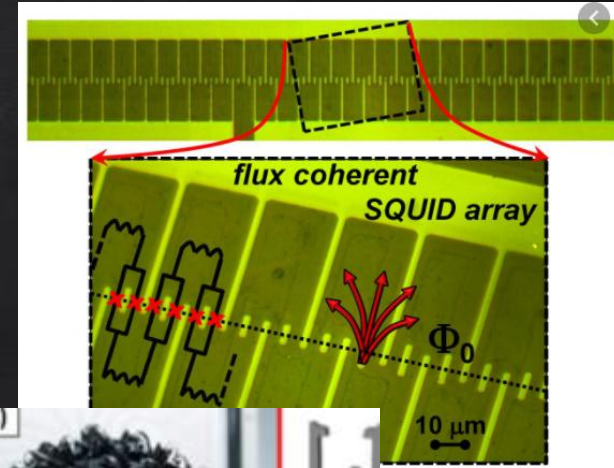
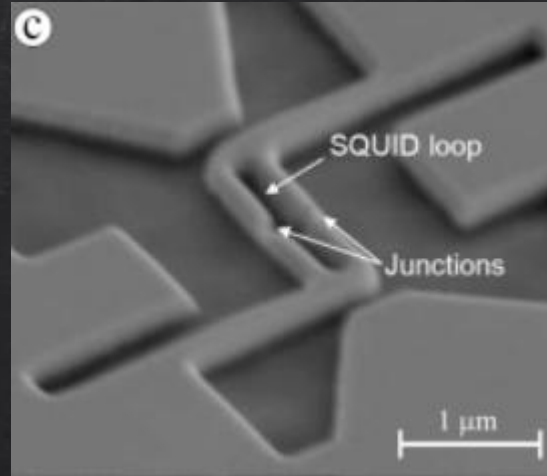
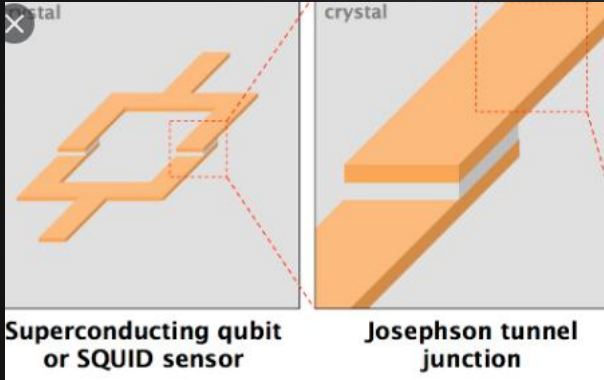
Magnetic field of brain:  $10^{-13}$  T

### Junção Josephson (S-N-S)



# Algumas aplicações do tunelamento quântico:

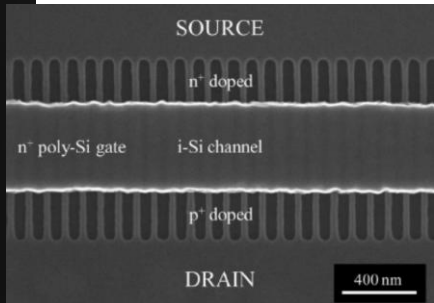
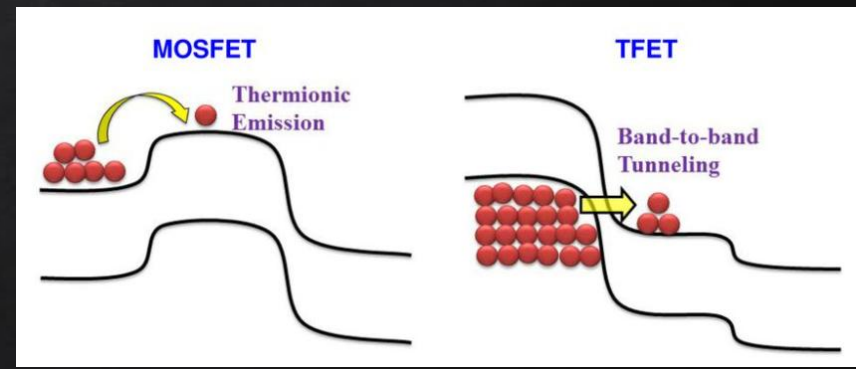
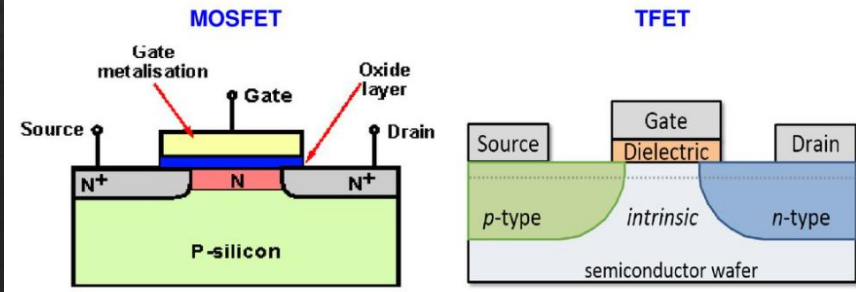
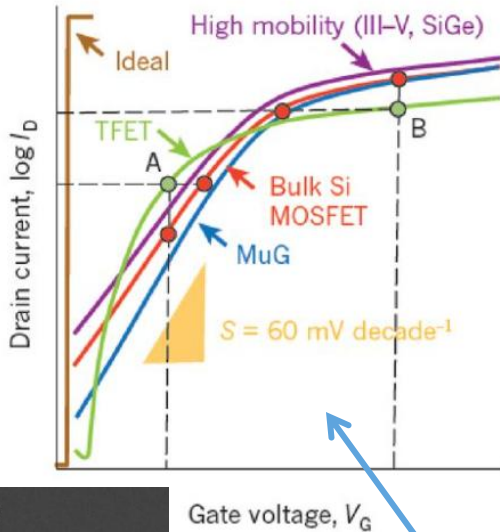
SQUID (Superconducting Quantum Interference Device) – Mede campo magnético



# Algumas aplicações do tunelamento quântico:

# Tunnel field-effect transistor

Steep-slope devices - Promising candidate for low power electronics

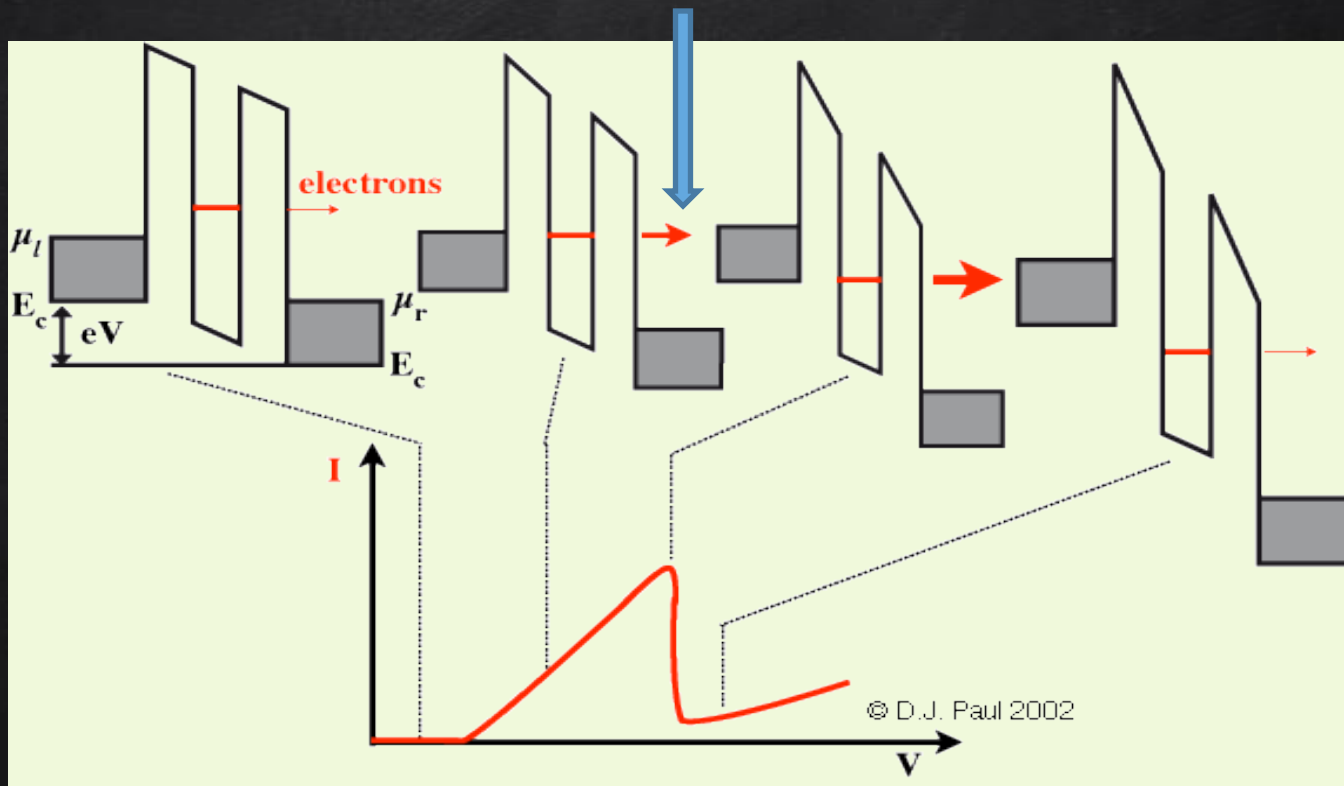


Scanning electron microscope image of a NW-TFET array with a nominal wire pitch of 100 nm and wire width of 20 nm. An intrinsic Si channel region is preserved under the 500-nm-wide poly-Si gate and n<sup>-</sup> and p<sup>+</sup> regions were formed through ion implantation and RTA, ELA, and LE-RTA.

Maior eficiência energética (não há barreira)

## Tunelamento ressonante - Uso

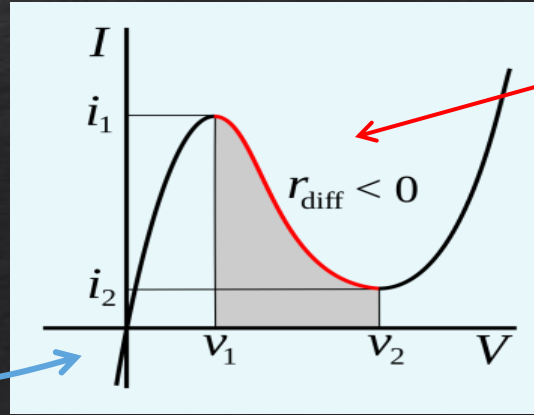
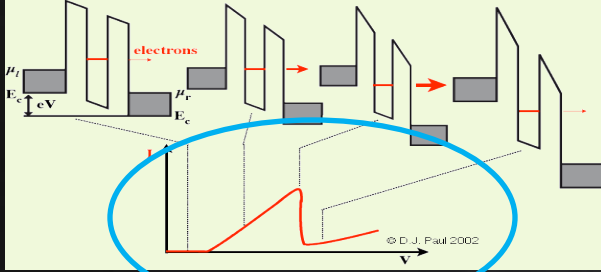
“abaixa” o drain (voltage)



Curva Corrente-Voltagem

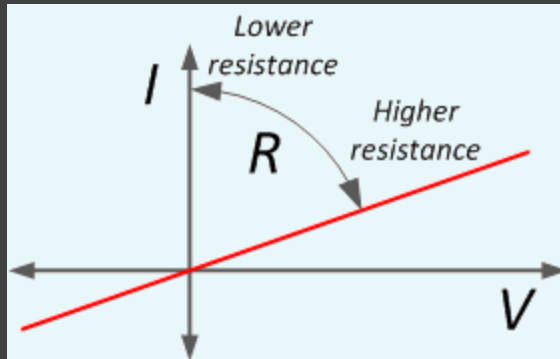


# Tunelamento ressonante - Uso



Região de  
"resistência  
diferencial negativa"

V aumenta – I diminui



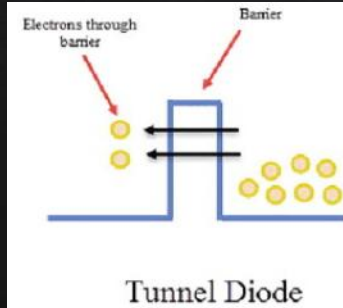
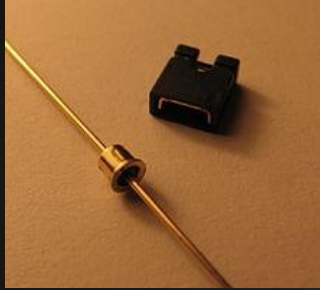
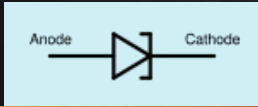
Lei de Ohm –  $R=V/I$

V aumenta – I Aumenta

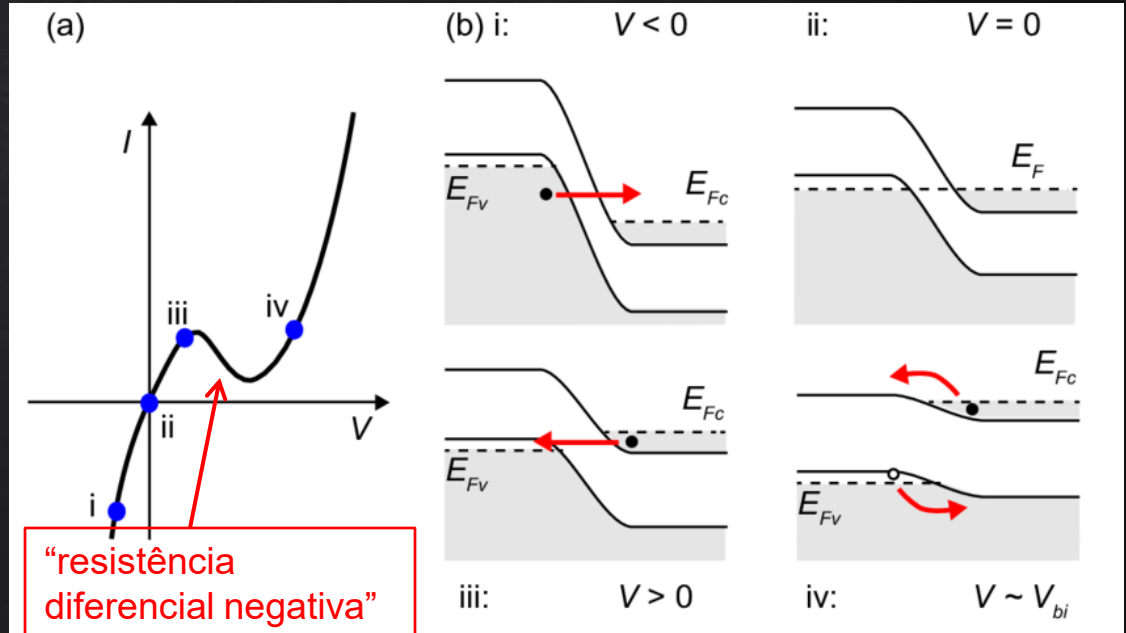
# Tunelamento ressonante - Uso

## “diodo túnel” (não ressonante)

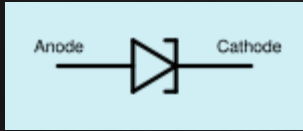
[https://en.wikipedia.org/wiki/Tunnel\\_diode](https://en.wikipedia.org/wiki/Tunnel_diode)



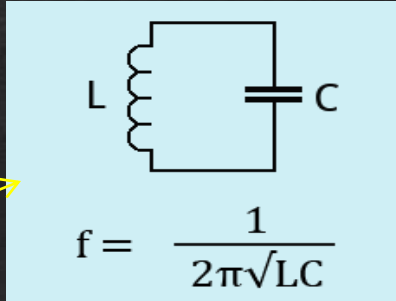
### Tunelamento através do gap valência-condução



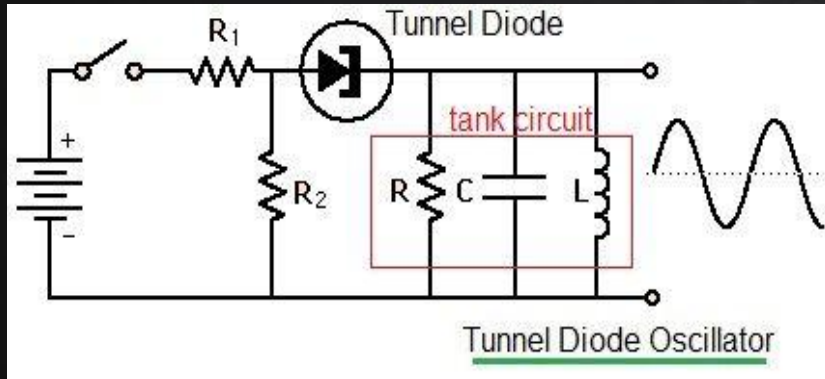
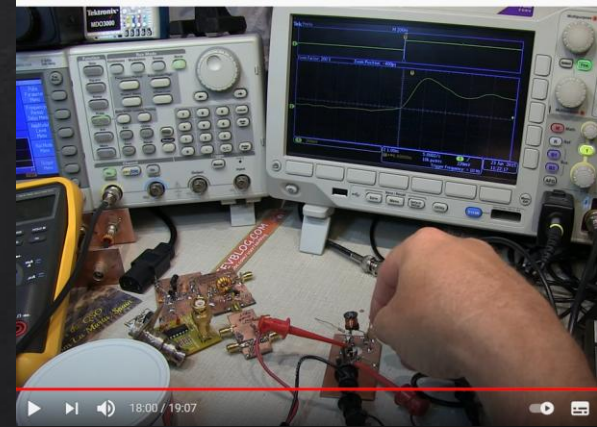
# Diodos Túnel (ressonante ou não) em uso



Alimentação de um Oscilador LC  
(tank circuit)



<https://www.youtube.com/watch?v=PuG8CCUbg58>

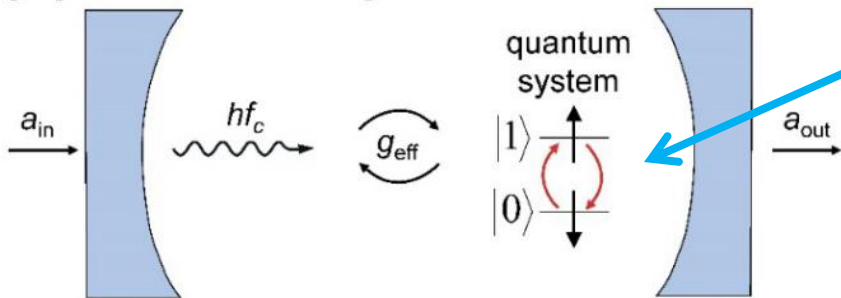


Obs.: Diodo tuonel funciona em altíssima frequência  
( acima de GHz )

VLF	LF	MF	HF	VHF	UHF	SHF	EHF	
100 km	10 km	1 km	100 m	10 m	1 m	10 cm	1 cm	1 mm
← increasing wavelength								→ increasing frequency
3 kHz	30 kHz	300 kHz	3 MHz	30 MHz	300 MHz	3 GHz	30 GHz	300 GHz

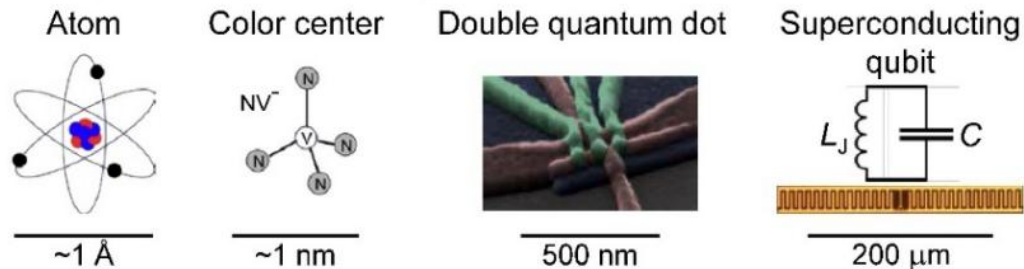
# Computação Quântica - Plataformas

## a Cavity quantum electrodynamics

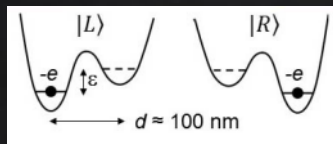
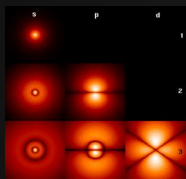
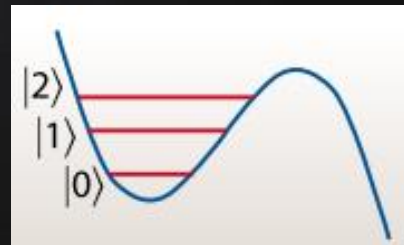


Bit quântico  
"qubit"

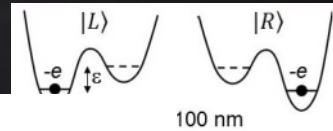
## b Examples of quantum systems



Algumas plataformas

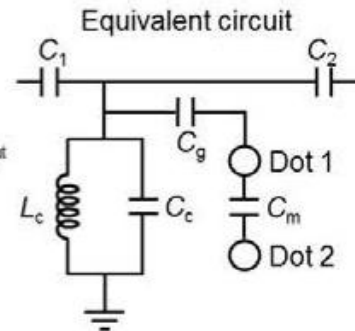
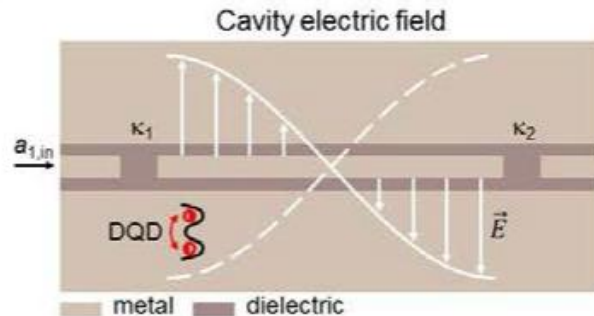
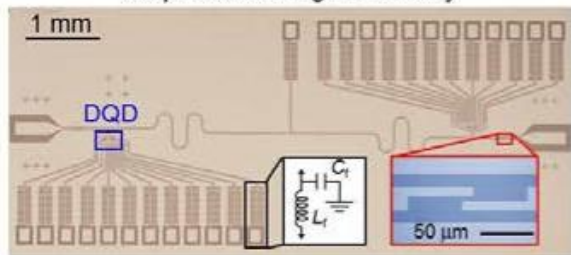


# Computação Quântica – Plataformas: PONTOS QUÂNTICOS



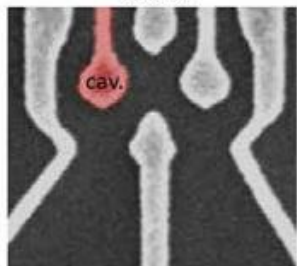
## a Cavity-coupled double quantum dots

Coplanar waveguide cavity

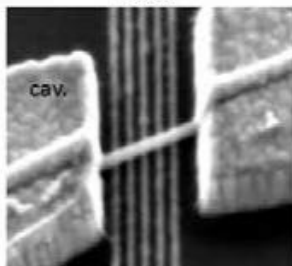


## b Double quantum dot materials systems

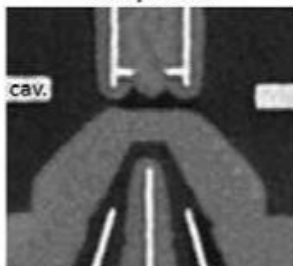
GaAs



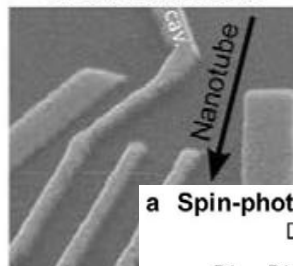
InAs



Graphene



Carbon nanotube

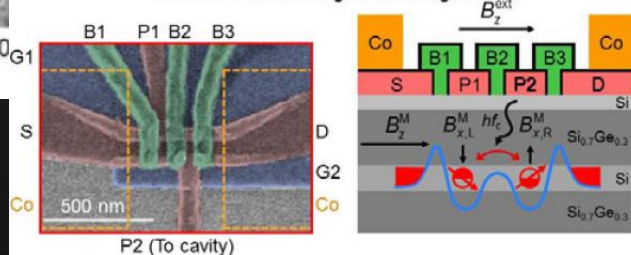


P1 Si/SiGe



## a Spin-photon interface

Double dot in a magnetic field gradient



# Computação Quântica – Plataformas: QUBIT SUPERCONDUTOR

Junção Josephson (S-N-S)

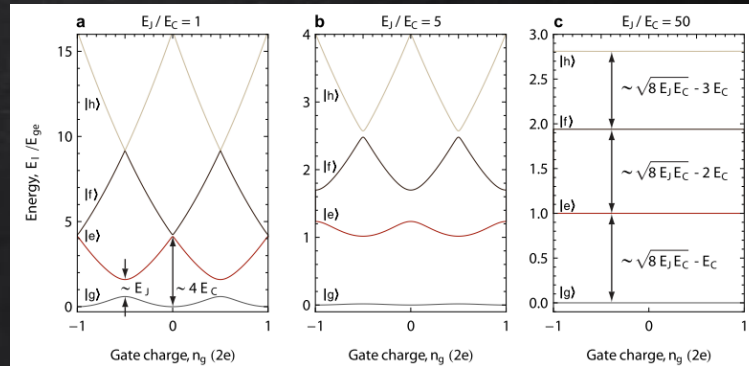
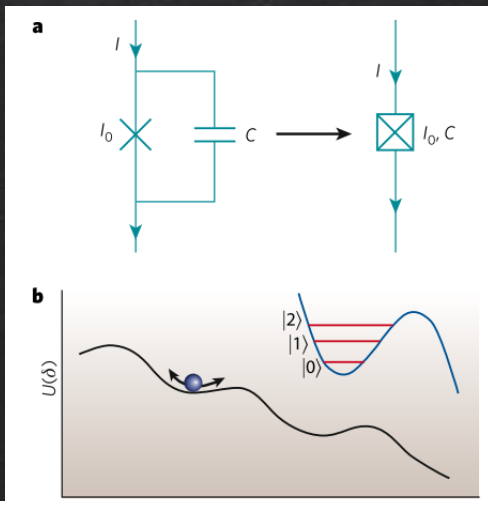
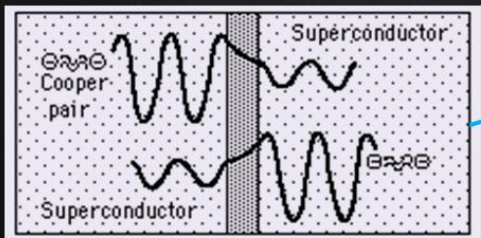


Figure 2.5: Energy level diagram of the Cooper pair box and the transmon. Calculated eigenenergies  $E_i$  of

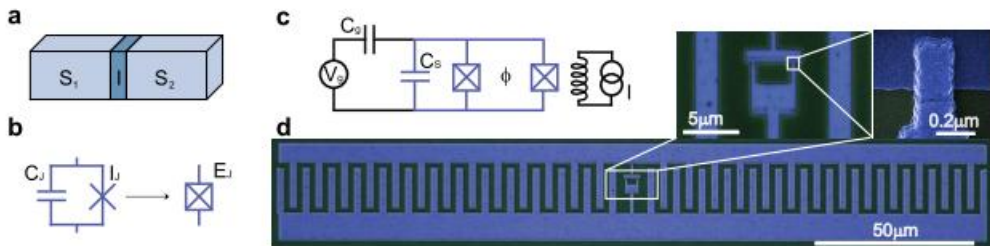
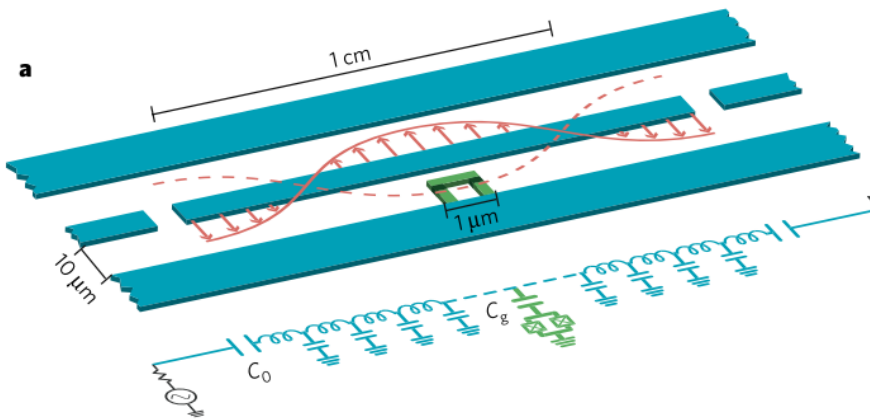


Figure 2.4: Josephson junction and transmon charge qubit. a, A Josephson tunnel junction consisting of

# Computação Quântica – Plataformas: QUBIT SUPERCONDUTOR

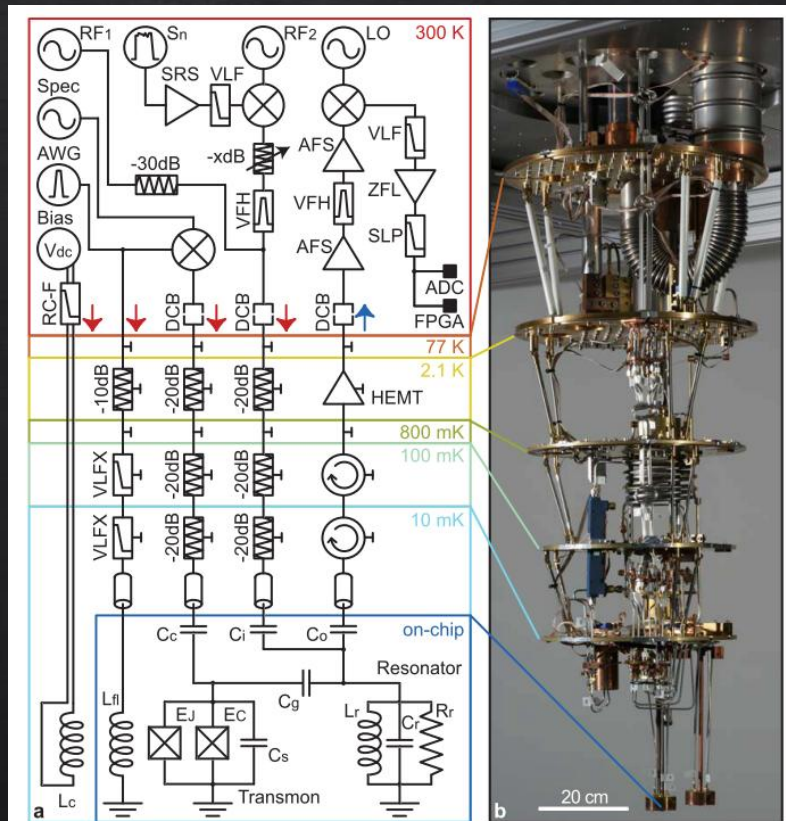


Figure 4.1: Exemplary measurement & control circuit (a) and cryogenic part of the setup (b). a, The Transmon (bottom middle) is controlled via a superconducting coil  $L_c$ , an on-chip flux bias line with large